

**Efnasamsetning, rennsli og aurburður straumvatna á Austurlandi XI.  
Gagnagrunnur Jarðvísindastofnunar og Veðurstofunnar**

**RH-05-2014**

Eydís Salome Eiríksdóttir<sup>1</sup>, Sigurður Reynir Gíslason<sup>1</sup>, Árni Snorrason<sup>2</sup>,  
Jórunn Harðardóttir<sup>2</sup>, Svava Björk Þorlaksdóttir<sup>2</sup>, Árný E. Sveinbjörnsdóttir<sup>1</sup> og  
Rebecca A. Neely<sup>1</sup>

<sup>1</sup>Jarðvísindastofnun Háskóla Íslands, Sturlugata 1, 101 Reykjavík.

<sup>2</sup>Veðurstofa Íslands, Bústaðavegi 7-9, 150 Reykjavík.



**Júní 2014**



## EFNISYFIRLIT

1. INNGANGUR.....	5
1.1 Tilgangur .....	5
1.2 Fyrri efna-, rennslis- og aurburðarrannsóknir Austurlandi .....	6
2. AÐFERÐIR .....	7
2.1 Sýnataka .....	7
2.2 Meðhöndlun sýna .....	9
2.3 Greiningar á uppleystum eftum og svifausr .....	10
3. NIÐURSTÖÐUR MÆLINGA.....	12
3.1 Niðurstöður úr einstökum vatnsföllum .....	15
3.1.1 Hálslón og Ufsarlón .....	15
3.1.2 Jökulsá á Dal við Brú og Hjarðarhaga.....	18
3.1.3 Jökulsá í Fljótsdal við Hól .....	20
3.1.4 Affallsskurður við Fljótsdalsstöð. ....	21
3.1.5 Fellsá við Sturluflöt..	22
3.1.6 Lagarfljót við Lagarfoss.....	23
3.2 Samsætur .....	24
3.3 Svifausr .....	25
3.3.1 Efnasamsetning svifaurs.....	25
3.3.2 Framburður svifaurs .....	26
3.4 Héraðsflói .....	28
PAKKARORÐ .....	3030
HEIMILDIR .....	31
VIDAUKI.....	101

## TÖFLUR

Tafla 1. Meðalefnasamsetning vaktaðra vatnsfalla á Austurlandi, 2007 – 2011.....	37
Tafla 1 frh. Meðalefnasamsetning vaktaðra vatnsfalla á Austurlandi, 2007 – 2011.....	38
Tafla 2. Árlegur framburður vaktaðra vatnsfalla á Austurlandi á árunum 2007 - 2011.....	40
Tafla 3a. Styrkur uppleystra aðalefna, lífræns kolefnis, lífræns niturs í ám Austurlandi 2011. ....	41
Tafla 3b. Styrkur svifaurs, næringarsalta og snefilefna á Austurlandi 2011.....	42
Tafla 4. Styrkur uppleystra efna og svifaurs í Hálslóni og Ufsarlóni.....	44
Tafla 5. Styrkur uppleystra efna og svifaurs í Jökulsá á Dal við Brú .....	53
Tafla 6. Styrkur uppleystra efna og svifaurs í Jökulsá á Dal við Hjarðarhaga.....	57
Tafla 7. Styrkur uppleystra efna og svifaurs í Jökulsá á Fljótsdal við Hól.....	63
Tafla 8. Styrkur uppleystra efna og svifaurs úr frárennslisskurði við Fljótsdalsvirkjun.....	69
Tafla 9. Styrkur uppleystra efna og svifaurs úr Fellsá við Sturluflöt. ....	75
Tafla 10. Styrkur uppleystra efna og svifaurs úr Lagarfljóti við Lagarfoss.....	83
Tafla 11a. Samsætur kolefnis, súrefnis og vetrnis í völdum sýnum af Austurlandi. ....	88
Tafla 11b. Samsætur kolefnis í völdum sýnum af Austurlandi.....	89
Tafla 12a. Efnasamsetning svifaurs .....	90
Tafla 12a frh. Efnasamsetning svifaurs .....	91
Tafla 12b. Efnasamsetning svifaurs .....	92
Tafla 12c. Efnasamsetning svifaurs .....	93
Tafla 13. Styrkur uppleystra efna og lífræns svifaurs í Héraðsflóa.....	97
Tafla 15. Næmi efnagreininga á uppleystum eftum og hlutfallsleg skekkja. ....	100

## Myndir

Mynd 1. Yfirlitsmynd af rannsóknarsvæðinu.....	7
Mynd 2. Kort af Héraðsflóa með sýnatökustöðum.....	29
Mynd 3. Myndir úr sýnatöku í Héraðsflóa 2012 og 2013.....	26
Mynd 4. Styrkur mældra þátta í Ufsarlóni og Háslóni .....	44
Mynd 5. Styrkur mældra þátta í Ufsarlóni og Háslóni .....	45
Mynd 6. Efnastyrkur uppleystra efna í Háslóni í ágúst 2008. ....	46
Mynd 7. Efnastyrkur uppleystra efna í Háslóni í ágúst 2008. ....	47
Mynd 8. Efnastyrkur uppleystra efna í Háslóni í ágúst 2008. ....	48
Mynd 9. Samsætur kolefnis, súrefnis og vetrnis og reiknaður aldur í Háslóni 2008.....	49
Mynd 10. Styrkbreytingar á uppleystum eftum í efstu 40 m í Háslóni 2008 - 2013.....	51
Mynd 11. Hitastig, rennsli og styrkur uppleystra efna og svifaurs í Jökulsá á Dal við Brú.....	54
Mynd 12. Styrkur uppleystra snefilefna í Jökulsá á Dal við Brú.....	55
Mynd 13. Breytileiki í rennsli, styrk svifaurs og uppleystra efna í Jökulsá á Dal, Hjarðarh.....	58
Mynd 14. Breytileiki í styrk uppleystra efna í Jökulsá á Dal við Hjarðarhaga.....	59
Mynd 15. Áhrif rennslis á styrk svifaurs og uppleystra efna í Jökulsá á Dal við Hjarðarh.....	60
Mynd 16. Áhrif rennslis á styrk svifaurs og uppleystra efna í Jökulsá á Dal við Hjarðarh.....	61
Mynd 17. Breytileiki í styrk svifaurs og uppleystra efna í Jökulsá í Fljótsdal við Hól.....	64
Mynd 18. Breytileiki í styrk uppleystra efna í Jökulsá í Fljótsdal við Hól.....	65
Mynd 19. Áhrif rennslis á styrk svifaurs og uppleystra efna í Jökulsá í Fljótsdal við Hól.....	66
Mynd 20. Áhrif rennslis á styrk uppleystra efna í Jökulsá í Fljótsdal við Hól.....	67
Mynd 21. Breytileiki í styrk svifaurs og uppleystra efna í frárennslisskurði frá Fljótsdalsv.....	70
Mynd 22. Breytileiki í styrk uppleystra efna í frárennslisskurði frá Fljótsdalsvirkjun.....	71
Mynd 23. Samband rennslis og efnastyrk í frárennslisskurði frá Fljótsdalsvirkjun.....	72
Mynd 24. Samband rennslis og efnastyrk í frárennslisskurði frá Fljótsdalsvirkjun.....	73
Mynd 25. Breytileiki í styrk uppleystra efna og svifaurs í Fellsá við Sturluflöt.....	76
Mynd 26. Breytileiki í styrk uppleystra efna og svifaurs í Fellsá við Sturluflöt.....	77
Mynd 27. Áhrif rennslis á styrk svifaurs og uppleystra efna í Fellsá við Sturluflöt.....	78
Mynd 28. Áhrif rennslis á styrk uppleystra efna í Fellsá við Sturluflöt.....	79
Mynd 29. Áhrif rennslis á styrk uppleystra efna í Fellsá við Sturluflöt öll gögnin.....	80
Mynd 30. Áhrif rennslis á styrk uppleystra efna í Fellsá við Sturluflöt öll gögnin.....	81
Mynd 31. Breytileiki í styrk uppleystra efna og svifaurs í Lagarfljóti við Lagarfoss.....	84
Mynd 32. Breytileiki í styrk uppleystra efna í Lagarfljóti við Lagarfoss.....	85
Mynd 33. Áhrif rennslis á styrk uppleystra efna í Lagarfljóti við Lagarfoss.....	86
Mynd 34. Áhrif rennslis á styrk uppleystra efna í Lagarfljóti við Lagarfoss.....	87
Mynd 35. Hlutfall súrefnis og vetrnis samsætna á Austurlandi 2008 -2013.....	88
Mynd 36. Mælingar á <sup>18</sup> O og Deuterium frá árunum 2003 og 2007-2012 .....	88
Mynd 37 Samsætur kolefnis sem mældar voru í sýnum frá 2003 .....	89
Mynd 38. Efnasamsetning svifaurs á móti kornastærð úr Jökulsá á Dal við Hjarðarhaga .....	94
Mynd 39. Efnasamsetning svifaurs sem fall af tíma.....	95
Mynd 40. Styrkur snefilefna í svifaur úr Lagarfljóti frá 2002 – 2013.....	96
Mynd 41. Styrkur uppleystra efna í sýnum úr Héraðsflóa.....	98
Mynd 42. Styrkur uppleystra efna í sýnum úr Héraðsflóa.....	99

## 1. INNGANGUR

### 1.1 Tilgangur

Með tilkomu Kárahnjúkavirkjunar árið 2007 voru tvær vatnsmestu ár Austurlands virkjaðar með tilheyrandi breytingum á vatnafari. Tilgangurinn með þeim rannsóknunum sem hér er greint frá er að skilgreina rennsli og styrk uppleystra og fastra efna í straumvötnum á vatnasviði Lagarfljóts, Jökulsár á Dal, Jökulsár í Fljótsdal og Fellsár eftir að framkvæmdum við Kárahnjúkavirkjun var lokið og raforkuvinnsla hófst. Niðurstöðurnar gefa hugmynd um áhrif vatnsflutninga í tengslum við virkjunina á framburði uppleystra og fastra efna.

Fellsá er óröskað af mannavöldum og endurspeglar náttúrulegar sveiflur í efnisflutningum. Hún er því notuð til viðmiðunar og samanburðar rannsóknunum við straumvötnum sem verða fyrir áhrifum af virkjuninni.

Í þessari lokaskýrslu verður greint frá niðurstöðum sýnasöfnunar sem fór fram á árunum 2007 – 2013. Áður hefur verið gert grein fyrir hluta þeirra gagna sem hér birtast (Eyðís Salome Eiríksdóttir o.fl. 2009, 2010, 2011a, 2012, 2013). Þessi rannsókn er framhald af viðamikilli rannsókn sem fór fram á árunum 1998 – 2003 sem miðaði að því að skilgreina náttúrulegt ástand vatnsfallanna áður en framkvæmdirnar við virkjun hófust (Sigurður Reynir Gíslason o.fl. 2004).

Á rannsóknartímabilinu 2007 – 2013 var 223 sýnum safnað á átta stöðum (1. mynd); Jökulsá á Dal við Hjarðarhaga, Jökulsá á Dal við Brú, Jökulsá í Fljótsdal við Hól, útfallskurði úr Fljótsdalsvirkjun, Fellsá við Sturluflöt, Lagarfljóti við Lagarfoss, Háslóni og Ufsarlóni. Árið 2013 voru farnar átta söfnunarferðir á fjóra af þessum stöðum; Jökulsá á Dal við Hjarðarhaga, útfallsskurðinn úr Fljótsdalsvirkjun, Fellsá við Sturluflöt og Lagarfljót við Lagarfoss og 32 sýnum var safnað. Einnig var fjórum sýnum safnað af mismunandi dýpi úr Háslóni. Jafnframt voru tekin 10 vatns- og aursýni úr Héraðsflóa við mismunandi seltustig, svipað og gert var árið 2012 en nú var bætt við sýnum við lægra seltustig. Markmiðið var að meta áhrif ferskvatnsíblöndunar á efnasamsetningu strandsjávarins.

Verkefnið er unnið til að meta áhrif virkjana norðan Vatnajökuls og er kostað af Landsvirkjun. Það hefur viðtækt vísindalegt gildi vegna þess hve margir þættir eru athugaðir samtímis.

## **1.2 Fyrri efna-, rennslis- og aurburðarrannsóknir Austurlandi**

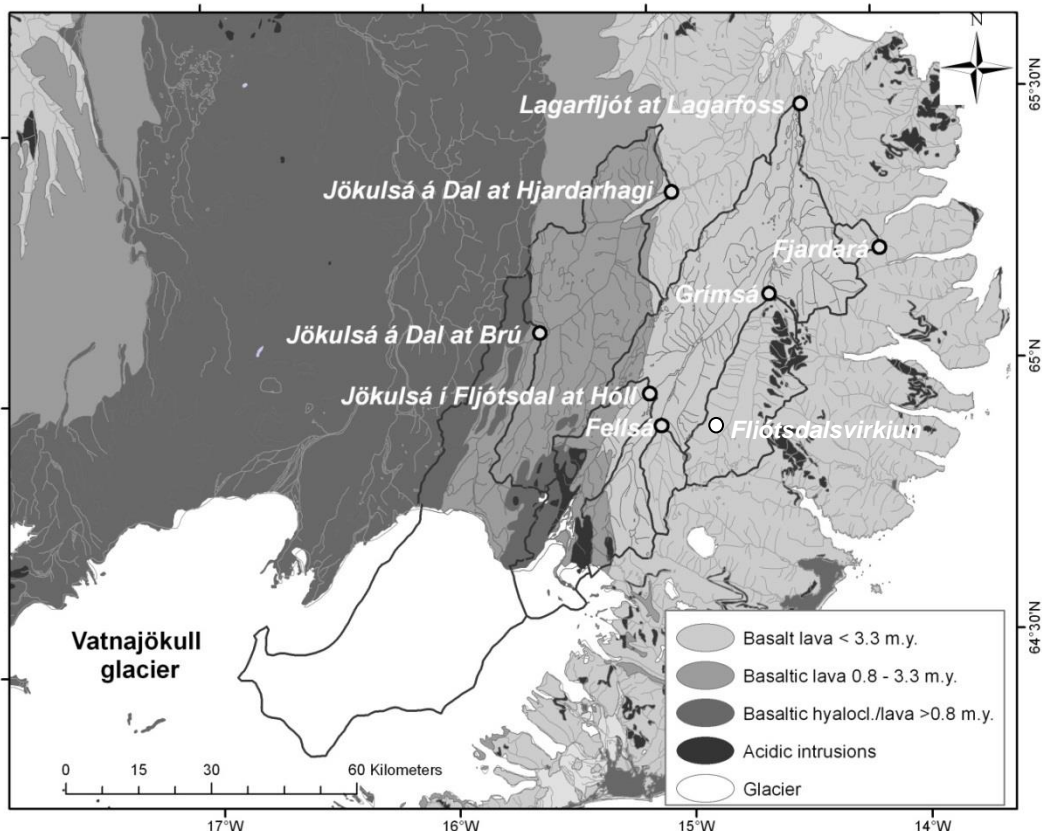
Á árunum 1998 – 2003 var efnasamsetning vatns og svifaurs, efnaframburður, efnalyklar, kolefnisbinding, afrænt rof og efnahvarfarof rannsakað í Jökulsá á Fjöllum við Grímsstaði, Jökulsá á Dal við Hjarðarhaga, Jökulsá á Dal við Brú, Jökulsá í Fljótsdal við Hól, Fellsá við Sturluflöt, Grímsá við Brú, Lagarfljót við Lagarfoss og Fjarðará í Seyðisfirði ofan virkjunar (Sigurður R. Gíslason o.fl. 2004).

Gögnin hafa verið notuð til ýmissa mismunandi rannsókna, s.s. á uppruna kolefnisframburðar af Íslandi (Marin I Kardjilov o.fl. 2006; Marin I Kardjilov, 2008), á afrænni veðrun og -rofi og efnahvarfaveðrun og -rofi á Austurlandi (Eydís S. Eiríksdóttir o.fl. 2008), áhrif svifaurs á kolefnishringrás jarðar (Sigurður R. Gíslason o.fl. 2006) og áhrif loftslags á efnahvarfarof og samspil efnahvarfaveðrunar og loftslags (Sigurður R. Gíslason o.fl. 2009).

Gögn úr rannsókninni hafa einnig verið notuð til að rannsaka áhrif rennslis og hitastigs á hraða efnahvarfaveðrunar (Eydís Salome Eiríksdóttir o.fl. 2011b, 2013) og áhrif loftslags á framburð uppleystra efna til sjávar, þar með talið næringarefna (Eydís Salome Eiríksdóttir o.fl. 2014). Þá hafa áhrif aurframburðar einnig verið skoðuð með tilliti til áhrifa á efnasamsetningu og samsætuhlutföll sjávar (Oelkers o. fl. 2011; 2012; Jones o.fl. 2012).

Styrkur uppleystra efna í vatnsföllum á Íslandi var kortlagður út frá fyrirliggjandi gögnum, þ.á.m. gögnum frá rannsókninni frá 1998 til 2003 á Austurlandi (Sigriður M. Óskarsdóttir o.fl. 2011).

Viðamikil gögn eru til um aurburð straumvatna á Austurlandi og um heildarmagn uppleystra efna (Svanur Pálsson og Guðmundur H. Vigfússon 1996; Haukur Tómasson o.fl. 1996; Svanur Pálsson o.fl. 2000; Hákon Aðalsteinsson 2000; Jórunn Harðardóttir og Ásgeir Gunnarsson 2001; 2002a; 2002b; VST og Orkustofnun 2002; Jórunn Harðardóttir o.fl. 2003).



Mynd 1. Yfirlitsmynd af rannsóknarsvæðinu. Sýnatökustaðir er merktir með hvítum hring. Sýnum var ekki var safnað úr Fjarðará eða Grímsá í núverandi rannsókn. Sýnum var einnig safnað úr Hérðasflóa (sjá mynd 2).

## 2. AÐFERÐIR

### 2.1 Sýnataka

Sýnum til efnarannsókna var safnað úr meginál ánna þar sem mestar líkur voru á fullri blöndun. Safnað var af brú úr Jökulsá á Dal en af bakka úr Fellsá, Lagarfljóti og úr frárennslis skurðinum við Fljótsdalsvirkjun. Vatni var safnað úr straumvötnum með plastfötu og hellt í 5 l brúsa. Áður höfðu fatan og brúsarnir verið skoluð vandlega með árvatninu. Vatni úr Háslóni og Ufsarlóni var safnað með 5 lítra Niskin safnara á mismunandi dýpi. Sýnum var safnað eftir að vatn hafði runnið í nokkurn tíma í gegn um safnarann til hreinsunar. Hitastig var mælt með „thermistor-“mæli. Fyrir kom að ekki var hægt að taka sýni af brú Jökulsár á Dal vegna íss undir brúnni, en þá var tekið af bakka eins nálægt brúnni og hægt var.

Sýni til aurburðarrannsókna voru tekin með aurburðar sýnataka úr meginál ánni þannig að sýnið endurspeglæði aurburð frá yfirborði til botns í ánni. Tvenns konar sýnatakar voru notaðir við aurburðarsýnatöku á Austurlandi. Við venjulegar aðstæður var aurburðarfiskur á spili (S49) notaður í sýnatöku við Jökulsá á Dal við Hjarðarhaga en handsýnataki á stöng (DH48) notaður við Lagarfoss, Fellsá og útfall úr Kárahnjúkavirkjun. Handsýnatakinn var einnig notaður ef ís var undir brúnni við Hjarðarhaga.

Sýni til mælinga á lífrænum svifaur (POC) var tekið með sama hætti og fyrir ólífrænan aurburð. Það var ávallt tekið eftir að búið var að taka sýni fyrir ólífrænan aurburð. Sýninu var safnað í sýruþvegnar aurburðarflöskur sem höfðu verið þvegnar á tilraunastofu í 4 klst. í 1 N HCl sýru. Flöskurnar voru merktar að utan, en ekki með pappírsmerki inni í flöskuhálsinum eins og tíðkast fyrir ólífrænan aurburð.

Svifaursýni til rannsókna á efnasamsetningu, steindasamsetningu og yfirborði aurburðar í útfallsskurði úr Kárahnjúkavirkjun og Lagarfljóti voru tekin með plastfötum.

Uppleyst súrefni í Háslóni var mælt árið 2011 og 2012 með YSI 6600 multi probe sondu Veiðimálastofnunar sem nýlega hafði verið yfirfarin. Sondan tekur tillit til hitastigs og þrýstings við mælingu á uppleystu súrefni. Ekki var mögulegt að mæla súrefni í sýnum úr Háslóni frá 2013 vegna bilunar í Sondu.

Á rannsóknartímabilinu 2008 – 2013 hefur verið farið í sjö söfnunarleiðangra í Háslón og þrijá í Ufsarlón. Árið 2008 var farið í two leiðangra í Háslón, í maí og ágúst. Safnað var í gegnum ís í fyrri leiðangrinum (hnit N $64^{\circ}56.404'$  A $15^{\circ}47.541'$ ) en siglt á sýnatökustaðinn (N $65^{\circ}14,74'$  A $49^{\circ}72,40'$ ) í ágústferðinni. Sá staður var heppilegri til sýnatöku því þar er dýpið mest í lónastæðinu. Þá var sýnum safnað af mismunandi dýpi til að rannsaka lagskiptingu lónsins. Árin 2011 og 2012 var aftur tekinn hitaprófill á svipuðum stað og í ágúst 2008 (N $65^{\circ}14,74'$  A $49^{\circ}72,40'$ ) og þá var sýnum safnað á mismunandi dýpi úr Háslóni. Veðurfar var óhagstætt í Háslónssöfnuninni 2012, norðan hvassviðri og kalt. Það gerði alla vinnu mjög erfiða en vindinn lægði undir lokin þannig að hægt var að ljúka söfnuninni. Vindur var einnig fremur mikill í söfnunarleiðangrinu 2013, af norðri. Norðanátt er heppileg til söfnunar á Háslóni þegar það er á yfirfalli þar sem mikið rek er á bátnum og heppilegra að reka frá yfirfallinu frekar en að því, ef báturinn bilar.

Í september 2012 var siglt frá Borgarfirði Eystri yfir í Héraðsflóá á fiskibátnum Emil með gúmmibát í eftirdragi. Í Héraðsflóá var svo siglt á gúmmibátnum meðfram ströndinni og sýnum af mismunandi seltustigi safnað til að meta afdrif uppleystra efna sem berast til sjávar með vatnsföllunum. Sýni voru tekin beint í 10 lítra brúsa úr yfirborði, hitastig og leiðni mæld. Sýnin voru meðhöndluduð þegar komið var í land. Reynt var að ná í setsýni af botninum

en vegna mikilla strauma var botninn mjög þétpakkaður og ekki tókst að ná sýni. Þó komu upp nokkur sandkorn sem voru fremur gróf. Parna var enginn eðja þannig að ljóst er að fínkornótta setið helst í upplaun og sest til fjær ósunum. Ætlunin var að sigla upp í ósinn og freista þess að ná í sýni af minni seltu en það var ekki talið öruggt sökum straums, öldugangs, þrátt fyrir lygnan sjó, og sandrifs í ósnum.

Í september 2013 var farið með gúmmibát Veðurstofunnar niður að ósi Lagarfljóts. Keyrt var niður á sandinn hjá Hóli, en þar er slóði sem notaður hefur verið. Báturinn var settur á flot þegar bíllinn komst ekki lengra og siglt í átt að ósnum. Sýnum var safnað við mismunandi seltubil sem var mun lægra en fékkst í sýnum frá 2012. Ekki þótti óhætt að sigla út fyrir ósinn vegna mikilla strauma sem þarna eru.

## 2.2 Meðhöndlun sýna

Sýni til rannsókna á uppleystum efnum voru meðhöndluð strax á sýnatökustað að undanskildum sjósýnum, sem voru meðhöndluð við komu í land. Vatnið var síað í gegnum sellulósa asetat-síu með 0,2 µm porustærð. Þvermál síu var 142 mm og notaður var Sartorius® („in line pressure filter holder, SM16540“) síuhaldari úr tefloni. Sýninu var dælt í gegnum síuna með „peristaltik“-dælu. Slöngur voru úr sílikoni. Síur, síuhaldari og slöngur voru þvegnar með því að dæla a.m.k. einum lítra af árvatni í gegnum síubúnaðinn og lofti var hleypt af síuhaldara með þar til gerðum loftventli.

Áður en sýninu var safnað voru sýnaflöskurnar þvegnar þrisvar sinnum hver með síuðu árvatni. Fyrst var vatn sem ætlað var til mælinga á reikulum efnum, pH, leiðni og basavirkni, síað í tvær dökkar, 275 ml og 60 ml, glerflöskur. Var dæluslangan látin ná í botn á glerflöskunum og fyllt frá botni og upp. Næst var safnað í 1000 ml HDPE flösku til mælinga á brennisteinssamsætum. Síðan var vatn síað í 190 ml HDPE flösku til mælinga á styrk anjóna. Þá var safnað í tvær 125 ml HDPE sýruþvegnar flöskur til snefilefnagreininga. Þessar flöskur voru sýruþvegnar af rannsóknaraðilanum ALS Scandinavia, sem annaðist snefilefnagreiningarnar og sumar aðalefnagreiningar. Út í þessar flöskur var bætt einum millilítra af fullsterkri hreinsaðri saltpéturssýru í lok söfnunar á hverjum stað. Þá var síuðu árvatni safnað á fjórar sýruþvegnar 20 ml plastflöskur. Flöskurnar voru þvegnar með 1 N HCl fyrir hvern leiðangur. Ein flaska var ætluð fyrir hverja mælingu eftirfarandi næringarsalta; NO<sub>3</sub>, NO<sub>2</sub>, NH<sub>4</sub>, PO<sub>4</sub>. Sýni til mælinga á NH<sub>4</sub> var sýrt með 0,5 ml af þynntri (1/100) brennisteinssýru. Sýran sem notuð var í sýni frá árinu 2011 reyndist menguð og var NH<sub>4</sub> því mælt úr ósýrðum sýnum sem höfðu verið geymd í frysti. Frá árinu 2012 hafa NH<sub>4</sub>

sýnin ekki verið sýrð. Vatn ætlað til mælinga á heildarmagni á lífrænu og ólífrænu uppleystu köfnunarefni ( $N_{total}$ ) var síða í sýruþvegna 100 ml flösku. Þessi sýni voru geymd í kæli söfnunardaginn en fryst í lok hvers dags. Sýni til mælinga á DOC var síða í 30 ml sýruþvegna polycarbonate flösku. Sýrulausnin (1 N HCl) stóð a.m.k. 4 klst. í flöskunum fyrir söfnun, en þær tæmdar rétt fyrir leiðangur og skolaðar með afjónuðu vatni. Þessi sýni voru sýrð með 0,4 ml af 1,2 N HCl og geymd í kæli þar til þau voru send til Svíþjóðar þar sem þau voru greind. Sýnum til greininga á kolefnissamsætum var síða í 1 líters, brúnar glerflöskur. Sýninu var dælt úr söfnunarbrúsanum frá botni glerflöskunnar og upp til að sem minnst samskipti væru á milli lofts og vatns. Að lokinni söfnun voru settir fimm dropar af  $HgCl_2$  til að drepa hugsanlegar lífverur úr sýninu. Sýnum til mælinga á súrefnis- og vetrissamsætum var safnað í 60 ml brúnar glerflöskur, frá botni og upp.

Aurburðarflokkur sem notaðar voru til söfnunar á POC voru þvegnar í 4 klukkustundir í 1 N HCl sýru áður en farið var í söfnunarleiðangur, sem og allar flokkur og sprautur sem komu í snertingu við sýnin fyrir POC og DOC.

Sýni úr Héraðsflóa voru meðhöndluð þegar komið var í land, daginn eftir söfnun. Þau voru síuð eins og lýst hefur verið hér að framan. Sýnum af svifaur til efnagreininga var safnað á sömu stöðum og vatnssýnunum.

## 2.3 Greiningar á uppleystum efnum og svifaur

Sýni voru efnagreind á Jarðvísindastofnun, ALS Global í Luleå í Svíþjóð, Umeå Marine Sciences Center, í Umeå í Svíþjóð, við Stokkhólms Háskóla og Háskólann í Árósum. Samsætur kísils, járns og molibdeums verða greindar í völdum sýnum við Oxford og Durham háskóla.

### 2.3.1 Uppleyst efni.

Basavirkni („alkalinity“), leiðni og pH var mælt með titrun, rafskauti og leiðnimæli á Raunvísindastofnun að loknum sýnatökuleiðangri. Endapunktur titrunar var ákvarðaður með Gran-falli (Stumm og Morgan, 1996).

Aðalefni og snefilefni voru mæld af Analytica með ICP-AES, ICP-MS („Inductively Coupled Argon Plasma with Atomic Emission Spectrometry or Mass Spectrometry“) og atómljómum; AF (Atomic Fluorescence). Anjónirnar flúor, klór og súlfat voru mældar með anjónaskilju (IC2000) á Jarðvísindastofnun. Kalíum (K) var greint með ICP-AES en þegar styrkur þess var

undir greininarmörkum aðferðarinnar og var kalíum mælt með katjónaskilju á Jarðvísindastofnun.

Næringarsöltin  $\text{NO}_3$ ,  $\text{NO}_2$ ,  $\text{NH}_4$  sem og heildarmagn af uppleystu lífrænu og ólífrænu nitri,  $\text{N}_{\text{tot}}$ , voru upphaflega greind með sjálfvirkum litrófsmæli Jarðvísindastofnunar („autoanalyser“). Frá 2007 – 2012 var styrkur  $\text{PO}_4$  greindur með jónaskilju og frá 2009 til 2012 var styrkur  $\text{NO}_3$  einnig greindur með jónaskilju. Árið 2013 var aftur farið að nota autoanalyser til greininga þessara efna eftir lagfæringar á litrófsmælinum, þar sem þær mælingar eru næmari. Sýni til mælinga á  $\text{N}_{\text{total}}$  voru geislud í kísilstautum útfjólubláu ljósi til að brjóta niður lífrænt efni í sýnum. Fyrir geislun voru settir 0,17  $\mu\text{l}$  af fullsterku vetrnisperoxíði og 1 ml af 1000 ppm bórsýrubuffer (pH 9) í 11 millilítra af sýni. Þessi sýni voru greind innan tveggja daga eftir geislun.

Heildarmagn uppleysts kolefnis (DOC) var mælt hjá Umeå Marine Sciences Center í Umeå í Svíþjóð. Notaður var Shimadzu TOC-5000 kolefnisgreinir sem staðlaður var með kalium hydrogen phtalate.

Sýni til mælinga á brennisteinssamsætum voru látin seytla í gegnum jónaskiptasúlur með sterku „anjóna-jónaskiptaresini“ og sendar til Peter Torssander í Stokkhólmsháskóla til greiningar. Brennisteinssamsætur hafa ekki verið mældar síðan 2009 en það stendur vonandi til bóta.

Samsætur kolefnis voru mældar á rannsóknarstofu eðlisfræðeildar Háskólags í Árósum en samsætur vetrnis og súrefnис voru mældar á massagreini Jarðvísindastofnunar.

### **2.3.2 Svifaур.**

Magn svifaurs og heildarmagn uppleystra efna ( $\text{TDS}_{\text{mælt}}$ ) var mælt á Orkustofnun samkvæmt staðlaðri aðferð (Svanur Pálsson og Guðmundur Vigfússon 2000).

Sýni til mælinga á lífrænum aurburði (POC, Particle Organic Carbon og PON, Particle Organic Nitrogen) sem tekin voru í sýruþvegnar aurburðarflöskur, voru síuð í gegnum glersíur með  $0,7\mu\text{m}$  porustærð. Glersíur og álpappírs umslög til geymslu á sýnum voru „brennd“ við  $450^{\circ}\text{C}$  í 4 klukkustundir og síuhaldarar þvegnir í 4 klukkustundir í 1 N HCl fyrir síun. Allt vatn og aurburður sem var í aurburðarflöskunum var síða í gegnum glersíurnar og magn vatns og aurburðar mælt með því að vigta flöskurnar fyrir og eftir síun. Síurnar voru þurrkaðar í álumslögum við um  $50^{\circ}\text{C}$  í einn sólarhring áður en þær voru, til ársins 2012, sendar til Umeå Marine Sciences Center í Svíþjóð þar sem þau voru efnagreind á

Carlo Erba 1108 frumefnagreini. POC og PON sýni frá 2013 hafa ekki verið greind enn sem komið er, en það stendur til bóta þar sem verið er að setja upp C/N frumefnagreini á Jarðvísindastofnun.

Sýnum til rannsókna á efna- og steindasamsetningu og til mælinga á yfirborðsflatarmáli var safnað tvisvar á ári í útfalli Fljótsdalsvirkjunar og í Lagarfjóti við Lagarfoss til að meta breytingar á framburði efna á föstu formi eftir virkjun. Svifaursýnin frá árinu 2008 voru síuð með svokallaðri „tangental filtration“ tækni (Sigurður R. Gíslason o.fl. 2004), sett í skilvindu og frostþurrkuð. Að því loknu voru svifaursýnin send til efnagreiningar til Analytica ALS í Svíþjóð. Svifaursýnin frá 2009 til 2013 voru meðhöndluð á annan hátt. Fyrst var megnið af vatninu síð ofan af þeim og aurnum sem settist á síurnar var safnað. Því næst var það sem eftir var af sýninu sett í stóra skilvindu til að aðskilja aurinn frá vatninu. Sýnum var snúið á 9000 RPM í 10 mínútur. Hreinu vatninu var hellt ofan af aursýninu og þess gætt að hella ekki svifaurnum með. Meira sýni (vatn + svifaurs) var bætt í skilvinduglasið og þeytt aftur. Þetta var gert svo lengi sem eitthvað var eftir af sýninu og þannig bættist sífellt meira af svifaurs í skilvinduglasið. Að síðustu voru dreggjarnar frystar og frostþurrkaðar yfir nótt. Eftir stóð svo þurrt svifaursýni tilbúið til efnagreininga.

### 3. NIÐURSTÖÐUR MÆLINGA

Niðurstöður þeirra mælinga sem gerðar hafa verið er að finna í töflum 1 - 11 og á myndum 4 - 41 sem og í viðauka aftast í skýrslunni. Í töflu 1 er að finna meðatal mældra efnis- og eðlisþátta yfir rannsóknartímabilið og í töflu 2 er reiknaður framburður vatnsfallanna sýndur. Niðurstöður sýnagreininga frá 2013 eru í töflu 3 í tímaröð og í töflum 4 – 10 eru niðurstöður hvers vatnsfalls sýnd. Ýmis eldri gögn og niðurstöður eru til sem ekki eru sýndar hér í töflunum og er vísað til fyrri skýrslna í þessari skýrsluröð (Eydís Salome Eiríksdóttir o.fl. 2008; 2009; 2010). Niðurstöður mælinga úr hverju vatnsfalli eru einnig settar fram myndrænt á eftir gagnasafni hvers vatnsfalls. Fyrst er gerð grein fyrir árstíðabundnum breytingum á styrk uppleystra efna og svifaurs. Þá koma myndir sem sýna áhrif rennslis á styrk uppleystra efna og svifaurs. Gögnin frá 1998 – 2003 eru sýnd með opnum hringjum en gögnin frá 2007 – 2013, fylltir hringir, hafa verið sett ofan á þau til þess að geta betur gert sér grein fyrir þeim breytingum sem orðið hafa eftir að virkjunarframkvæmdum lauk. Í viðauka eru niðurstöður allra sýna sem safnað var 1998 – 2003 og 2007 – 2013 sýndar eftir árstíma til að sjá sem best árstíðabundnar breytingar sem verða á vatnsföllunum.

Árlegur framburður straumvatna, F, (Tafla 2) er reiknaður með eftirfarandi jöfnu eins og ráðlagt er í viðauka 2 við Óslóar- og Parísarsamþykktina (Oslo and Paris Commissions, 1995:

Implementation of the Joint Assessment and Monitoring Programme, Appendix 2, Principles of the Comprehensive Study on Riverine Inputs, bls. 22-27) en þar er notast við rennslisveginn meðalstyrk efna og langtíma meðalrennslí hvers vatnsfalls:

$$F = \frac{Q_r \sum_{i=1}^n (C_i Q_i)}{\sum_{i=1}^n Q_i} \quad (1)$$

Þar sem  $C_i$  er styrkur aurburðar eða uppleystra efna fyrir sýnið í (mg/kg),  $Q_i$  er rennsli straumvatns þegar sýnið i var tekið ( $m^3/\text{sek}$ ),  $Q_r$  er langtíma meðalrennslí fyrir vatnsföllin ( $m^3/\text{sek}$ ),  $n$  er fjöldi sýna sem safnað var á tímabilinu.

Leiðni og pH vatns er hitastigsháð, þess vegna er getið um hitastig vatnsins þegar leiðni og pH voru mæld á rannsóknarstofu (Tafla 1, Ref. T °C). Gildi pH sem gefið er upp í töflunni hefur ekki verið leiðrétt m.t.t. hitastigs vatnsins þegar sýnunum var safnað. Styrkur svifaurs er gefinn upp sem mg svifaur í lítra vatns (mg/l), styrkur uppleystra aðalefna í millimólum í hverju kílói vatns (mM), styrkur snefilefna sem mikrómól ( $\mu\text{M}$ ) eða nanómól í lítra vatns (nM). Basavirkni, eða alkalinity (Alk) í Töflu 1, er gefin upp sem „milliequivalent“ í kílógrammi vatns. Það jafngildir því magni af sýru ( $H^+$ ) sem vatnið gat tekið við án þess að missa búffer eiginleika sína. Það er í réttu hlutfalli við það magn kolefnis sem er í vatninu. Heildarmagn uppleysts ólífræns kolefnis (Dissolved Inorganic Carbon, DIC) er gefið sem millimól C í kílói af vatni í Töflu 1. Styrkur DIC var reiknaður samkvæmt eftirfarandi jöfnu, út frá mælingum á pH, hitastigi sem pH-mælingin var gerð við, basavirkni og styrk kísils. Gert er ráð fyrir að virkni („activity“) og efnastyrkur („concentration“) sé eitt og hið sama.

$$\text{DIC} = 1000 * \frac{\text{Alk} - \frac{K_w}{10^{-\text{pH}}} - \frac{S_{\text{IT}}}{\left(\frac{10^{-\text{pH}}}{K_{\text{Si}}} + 1\right)}}{\left(\left(\frac{10^{-\text{pH}}}{K_1} + 1 + \frac{K_1}{10^{-\text{pH}}}\right) + 2\left(\left(\frac{10^{-\text{pH}}}{K_1 K_2}\right)^2 + \frac{10^{-\text{pH}}}{K_2} + 1\right)\right)} \quad (2)$$

$K_1$  er hitastigsháður kleyfnistuðull kolsýru (Plummer og Busenberg 1982),  $K_2$  er hitastigsháður kleyfnistuðull bíkarbónats (Plummer og Busenberg 1982),  $K_{\text{Si}}$  er hitastigsháður kleyfnistuðull kísilsýru (Stefán Arnórsson o.fl. 1982),  $K_w$  er hitastigsháður kleyfnistuðull vatns (Sweeton o.fl. 1974) og  $S_{\text{IT}}$  er mældur styrkur Si í sýnunum (Töflur 4, 5 og 6). Allar styrktölur eru í mólum á lítra nema „alkalinity“ sem er í „equivalentum“ á lítra. Þessi jafna gildir svo lengi sem pH vatnsins er lægra en 9 og heildarstyrkur uppleystra efna (TDS) er minni en u.p.b. 100 mg/l. Við hærra pH þarf að taka tillit til fleiri efnasambanda við reikningana og við mikinn heildarstyrk þarf að nota virknistuðla til að leiðréttu fyrir mismun á virkni og efnastyrk.

Heildarmagn uppleystra efna ( $TDS_{mælt}$ ; „total dissolved solids“) er samanlagður styrkur uppleystra aðalefna (mg/l) og reiknaður á eftirfarandi hátt:

$$TDS_{reiknað} = \text{Na} + \text{K} + \text{Ca} + \text{Mg} + \text{SiO}_2 + \text{Cl} + \text{SO}_4 + \text{CO}_3 \quad (3).$$

Gæði efnagreininga er hægt að meta með reikningum á hleðslujafnvægi og hlutfallslegri skekkju (Tafla 3a) sem er reiknað með eftirfarandi jöfnum:

$$\begin{aligned} \text{Hleðslujafnv.} &= \text{Katjónir} - \text{Anjónir} = \\ (\text{Na} + \text{K} + 2 * \text{Ca} + 2 * \text{Mg}) &- (\text{Alk} + \text{Cl} + 2 * \text{SO}_4 + \text{F}) \quad (4) \end{aligned}$$

$$\text{Mismunur (\%)} = 100 * \frac{\text{Hleðslujafnvægi}}{(\text{katjónir} + \text{anjónir})} \quad (5)$$

Hlutfallsleg skekkja á anjónum og katjónum í sýnum af Austurlandi var oftast 0 til 3% sem telst mjög gott.

Kíssill ( $\text{SiO}_2$ ) hefur verið endurmældur í sýnum frá 2007 til 2012. Þau gögn eru skáletruð í töflu 3a. Það vöknudu efasemdir um að kíslstyrkurinn gæti verið of hár í sumum tilfellum og því var farið í þessar endurmælingar. Styrkur kísils í þessum endurmældu sýnum var alltaf lægri en áður hafði verið mælt, og nam lækkunin að meðaltali  $6,03 \pm 3,7\%$ . Árið 2005 – 2006 var tekið í notkun nýr massagreinir hjá ALS, sem sér um efnagreiningarnar á þessum sýnum, sem virðist hafa gefið of há gildi fyrir kísil. Þrátt fyrir það var þessu ekki veitt eftirtekt innan ALS þar sem gæðastaðallinn sem notaður er hjá ALS var alltaf innan við þau 10% sem þeir gefa sér. Nú hefur verið skipt um tæki og eftir það hefur styrkur kísils í gæðastaðlinum lækkað aftur, til samræmis sem hann var áður.

## 3.1 Niðurstöður úr einstökum vatnsföllum

### 3.1.1 Háslón og Ufsarlón.

Niðurstöður mælinga sem hafa farið fram á Háslóni er að finna í töflu 4 og á myndum 3 – 10. Alls hefur 27 sýnum verið safnað úr Háslóni í sjö sýnatökuferðum á rannsóknartímabilinu 2007 - 2013.

Tveimur sýnum var safnað af mismunandi dýpi í maí 2008 en þá var safnað í gegnum 80 cm þykkan ís. Fjórum sýnum var svo safnað af báti af mismunandi dýpi í ágúst 2008. Árið 2009 var farið í tvígang og safnað úr Háslóni, á um 5 m dýpi, í ágúst og september, og í ágúst 2010 var einu sýni safnað af yfirborði lónsins. Sýnum safnað af af báti á fjórum mismunandi dýptarbilum í september 2011, 2012 og 2013, þegar Háslón var á yfirlalli. Öryggisins vegna er vert að geta þess að fara ekki út á Háslón á yfirlalli í suðlægum vindáttum en velja sér frekar í norðanátt til þess. Rekið á bátnum er það mikið að ef hann drepur á sér þá tekur ekki langan tíma að reka í átt að yfirlallinu ef um suðlægar áttir er að ræða.

Tveimur sýnum var safnað árið 2009. Í ágúst var safnað af báti en í september af bakka þar sem ekki taldist öruggt að fara á báti út á lónið. Árið 2010 var vatni úr botnrás Ufsarlóns safnað þar sem verið var að skola botnrás lónsins daginn sem leiðangurinn var farinn. Mæliniðurstöður svifaursins er þar af leiðandi ekki sambærilegar við það sem annars hefði verið og verða ekki teknar með í þessari skýrslu.

Niðurstöður úr yfirborðssýnum frá Háslóni og Ufsarlóni hafa verið settar inn á myndir 4 og 5 en gögnin má finna í skýrslu frá 2010 (Eydís Salome Eiríksdóttir o.fl. 2010). Vatnið í Háslóni og Ufsarlóni er ólíkt að mörgu leiti. Styrkur svifaurs, alkalinity, Ca, SO<sub>4</sub>, Sr, As og Mo var hærri í Ufsarlóni. Önnur efni voru svipuð og í Háslóni nema styrkur Cl og fosfórs (P<sub>total</sub>, PO<sub>4</sub>) sem var lítillega lægri í Ufsarlóni en í Háslóni. Það má benda á að meðalstyrkur nokkurra snefilmálma var hærri í Ufsarlóni og Háslóni en hann var í Jökulsá á Dal við Brú og Hjarðarhaga á fyrra rannsóknartímabili.

#### 3.1.1.1. Breytileiki sýna með dýpi.

Á myndum 6 til 8 má sjá pH, leiðni og styrk uppleystra efna og svifaurs í sýnum sem safnað var á mismunandi dýpi í Háslóni að vori og hausti 2008 og að hausti 2011, 2012 og 2013. Greinilegt er að styrkur uppleystra efna og samsætur vetrar og súrefnis er breytilegt á milli leiðangra. Það er tölverður munur á ýmsum mæligildum í sýnum frá sama dýpi í haustleiðöngrunum 2008 og 2011. Ein aðalbreytan er pH og var gildi þess mismunandi á milli þessara tveggja gagnasafna og leiða má líkur að því að hitalagskipting hafi sitt að segja

varðandi efnastyrk og strauma innan lónsins. Árið 2008 var safnað í ágúst en í hinum tveimur leiðöngrunum var safnað í september, þegar farið var að kólna. Í leiðöngrunum 2012 og 2013 hafði verið hvasst í nokkra daga og sjá má á hitaferlinum á mynd 8 að hitastig er það sama í gegn um alla vatnssúluna. Það má því sjá að veðurfar hefur töluverð áhrif á lónið, blöndun þess og efnasamsetningu.

pH gildi í sýnum úr Háslóni var breytilegt, bæði með dýpi og á milli ára. Sýni sem tekin voru 2011 og 2013 sýndu heilmikla pH hækjun með dýpi á meðan sýni frá 2008 og 2012 voru með svipað pH frá yfirborði niður á botn. Þær súrefnismælingar sem gerðar hafa verið í Háslóni benda til þess að vatnið sé mettað af súrefni niður á botn Háslóns. Styrkur ýmissa efna er mjög háður pH gildi og súrefnismettun vatnsins. Margir málmar verða hreyfanlegri við hátt og lágt pH og þeir málmar sem eru háðir oxunarstigi, við lága súrefnismettun. Aðalefni og mörg snefilefnir í Háslóni voru yfirleitt í svipuðum styrk í gegn um vatnsbolinn nema hvað styrkur þeirra í sýnum frá 2011 jókst lítillega með dýpi, líkt og pH. Styrkur margra málma jókst hins vegar mikið með dýpi í sýnasettum frá 2011 og 2013 í tengslum við pH aukningu. Styrkur PO<sub>4</sub>, Al, Fe, Mn, Co, Cr, Cu, Ni, Ti, Zn og V jókst með auknu pH gildi vatnsins (Myndir 6 – 8). Þegar járn fellur út úr lausn ásogast fosfór á yfirborð þess. Leysni járns hefur því mikil áhrif styrk uppleysts fosfórs. Í dýpstum sýnini í Háslóni var pH hæst og járn og fosfór á uppleystu formi.

Styrkur uppleysts lífræns kolefnis (DOC) með dýpi var hærri í sýnum frá árinu 2011 en árin 2008, 2012 og 2013 en styrkur næringarefnanna N<sub>total</sub>, NO<sub>3</sub> og NH<sub>4</sub> var svipaður. Safnað hefur verið nokkrum sýnasettum til mælinga á styrk lífræns (POC og PON) og ólífræns svifaurs í vatnsbol Háslóns. Styrkur POC, PON og svifaurs óx með dýpi og var styrkur ólífræns svifaurs um 3 sinnum hærri á 160 m dýpi en hann var á 40 m dýpi.

Samsætur kolefnis ( $\delta^{13}\text{C}$  og  $\delta^{14}\text{C}$ ), súrefnis ( $\delta^{18}\text{O}$ ) og vtnis (Deuterium,  $\delta\text{D}$ ) voru mældar í sýnum úr Háslóni frá árinu 2008 og samsætur súrefnis og vtnis frá árinu 2011 til 2013 (Töflur 11a og 11b; Myndir 9, 34 – 36). Samsætur geta hjálpað til við að skilja lagskiptingu og strauma í lóninu. Geislavirkjt kolefni ( $^{14}\text{C}$ ) er gefið upp sem hlutfall  $^{14}\text{C}$  í andrúmslofti eins og það var fyrir tilraunir með kjarnorku á sjötta áratug síðustu aldar (pMC, „percent modern carbon“) og segir til um  $^{14}\text{C}$  aldur vatnsins. Vegna tilrauna með kjarnorku á sjötta og sjöunda áratug síðustu aldar hækkaði styrkur  $^{14}\text{C}$  í andrúmslofinu og hafði nær tvöfaldast á Norðurhveli jarðar árið 1963, þegar bann við kjarnorkutilraunum tók gildi. Síðan þá hefur styrkur  $^{14}\text{C}$  í andrúmslofti lækkað jafnt og þétt og er nú kominn niður í um 105%. Kolefnissamsæturnar  $^{13}\text{C}$  og  $^{12}\text{C}$  er stöðugar, en hlutfall þeirra ( $\delta^{13}\text{C}$ ) er hægt að nota til að

áttu sig á hvaðan kolefni er ættað þar sem að kolefni ættað úr andrúumslofti, karbónötum og lífrænu efni hefur ólík samsætu hlutföll. Um 99% af kolefni er með massann 12 ( $^{12}\text{C}$ ) en um 1% hefur massann 13 ( $^{13}\text{C}$ ). Plöntur kjósa frekar að taka upp léttari samsætuna og hafa því léttara kolefnishlutfall en andrúumsloft. Þegar lífverurnar deyja og rotna skilast því hlutfallslega meira af léttu kolefni inn í hringrásina og setur mark sitt á samsætu hlutfall vatnsins. Samsætur vetrnis og súrefnис ( $\delta$  D og  $\delta$   $^{18}\text{O}$ ) endurspeglar þyngd úrkому. Náttúrulegt vatn hefur breytilega þyngd sem ræðst af hitastigi þegar úrkoman fíll og staðsetningu. Þyngd regnvatns eykst með hita en lækkar með aukinni hæð yfir sjávarmáli og fjarlægð frá strönd (Árný E. Sveinbjörnsdóttir, 1993).

Kolefnis-, súrefnis- og vetrnissamsætur úr sýnum úr Háslóni eru sýndar á mynd 9. Þær sýna glöggan mun á vatninu eftir dýpi. Styrkur geislavirks kolefnis ( $^{14}\text{C}$ ) úr efstu metrum lónsins var 97% pMC (nálægt nútíma kolefni) en lækkaði niður í 85% og 82 % pMC í sýnum af 40 og 70 m dýpi, en það bendir til eldra vatns á þessu bili. Á 130 m dýpi hækkar styrkur  $^{14}\text{C}$  svo lítillega aftur (90% pMC). Niðurstöður  $\delta$   $^{13}\text{C}$  sýnir svipaðalagskiptingu, þar sem efsta og neðsta sýnið gefa svipuð gildi eða  $-8,7\text{\textperthousand}$  og  $-8,6\text{\textperthousand}$ , en miðsýnin gefa  $-7,9\text{\textperthousand}$  og  $-7,8\text{\textperthousand}$ . Samsætur vetrnis og súrefnис sýna að vatnið var léttast um miðbik vatnsbolsins í öllum sýnasettunum nema árið 2012, en þá var einungis örlítil þynging alveg niðri við botninn.

Hitamæling í gegnum vatnsbolinn frá ágúst 2008 (myndir 6 til 9) sýndi ákveðna lagskiptingu á um 60 m dýpi, frá um  $6\text{ }^{\circ}\text{C}$  niður í  $\sim 3,6\text{ }^{\circ}\text{C}$ , (mynd 6) og svo aðra minni hitabreytingu á milli 80 til 100 m dýpi, frá  $3,6\text{ }^{\circ}\text{C}$  í um  $2,7\text{ }^{\circ}\text{C}$ . Hitamæling á sama stað í september 2011, 2012 og 2013 sýndi stöðugan vatnshita  $3 - 4\text{ }^{\circ}\text{C}$  frá yfirborði niður 70 til 100 metra dýpi þar sem hæg kólnun niður í um  $2,7\text{ }^{\circ}\text{C}$  átti sér stað. Inntak virkjunarinnar er u.þ.b. á því dýptarbili þegar lónið er fullt. Það má leiða líkur að því að veðurfar ráði miklu um lagskiptingu vatnsins en gott veður var þegar sýnin voru tekin í ágúst 2008 en haustið hafði hafið innreið sína þegar sýnum var safnað úr Háslóni 2011 – 2013, og virðist sem mikill vindur dagana áður en mælingin var gerð hafi haft sitt að segja við blöndun vatnsins.

### 3.1.1.2. Útskolu efna úr lónastæði.

Þegar þurrandi fer undir vatn verður útskolu efna úr jarðveginum. Næringarefni fara þá úr föstu formi í uppleyst form og annað hvort nýtist lífverum í vatninu eða rennur með vatnsföllum til sjávar. Jarðvegi á virkjanasvæðinu við Kárahnjúka er eldfjallajörð (Andosol) og má skipta í þrjá flokka: jarðvegur þurrlendis/mólendis, jarðveg votlendis og jarðveg auðna (Ólafur Arnalds og Fanney Ósk Gísladóttir, 2001). Meðalþykkt jarðvegsins var 2,2 m og var hann tiltölulega lítið þróaður vegna mikils áfoks. Kolefnisinnihald var lágt, 10% efst,

1,5 – 2,5% um miðbikið og 3,8 – 4,8% neðst í sniðum sem lýst var af Ólafi Arnalds og Fanneyju Ósk Gísladóttur (2001).

Á mynd 10 má sjá styrkbreytingar á uppleystum eftum í efstu 40 metrum í Hálslóni frá 2008 til 2013. Sjá má að styrkur allra aðalefna hefur lækkað með tíma frá því að vatni var veitt á lónastæðið. Einnig hefur styrkur næringarefnanna  $\text{NH}_4$  og  $\text{N}_{\text{total}}$  lækkað en  $\text{PO}_4$  og  $\text{P}_{\text{total}}$  hefur hækkað á sama tíma. Breytingar á styrk snefilefna er ekki eins afgerandi en þó má sjá lækkun í Mo og Ni. Önnur snefilefni en sýnd eru á mynd 10 voru annað hvort undir greiningarmörkum eða sýndu engar breytingar með tíma. Þessar breytingar benda til þess að útskolun efna hefur verið mest fyrst eftir að vatni var hleypt á lónastæðið og að útskolunin hafi minnkað með tímanum. Ekki er gott að segja til um hvort útskoluninni sé lokið, en þó er hægt að bera saman styrk í Hálslóni við gagnasettið frá 1998 til 2003 í Jökulsá á Dal þegar rennsli var rennsli mest. Sýni 00A059 frá 9. ágúst 2000 var safnað við Hjarðarhaga við 493 m<sup>3</sup>/s rennsli, sem var mesta rennsli sem sýni náðist af. Heildarstyrkur uppleystra efna (TDS; jafna 3) var 9% hærri í sýni 13A025, sem safnað var af 40 m dýpi í Hálslóni árið 2013, en í sýni 00A059, við mesta rennsli við Hjarðarhaga. Mismiklu munaði á einstökum eftum en styrkur allra efnanna nema Ca og DIC var hærri í Hálslóni 2013 en við hæsta rennslið við Hjarðarhaga fyrir virkjun. Líklegt þykir að sá munur stafi af útskolun og efnahvörfum innan Hálslóns. Það má þó taka fram að vatnið í Hálslóni er mjög efnasnautt og meðaltal TDS<sub>mælt</sub> er ekki nema 47 mg/l og TDS<sub>reiknað</sub> var 29 mg/l.

### **3.1.2 Jökulsá á Dal við Brú og Hjarðarhaga.**

Alls var safnað sex sýnum úr Jökulsá á Dal við Brú á tímabilinu 2007 – 2010 (Tafla 5 og myndir 11 – 12), þremur sýnum í lágreinsnli (fylltir hringir) og þremur sýnum við hátt rennsli, þegar Hálslón hafði yfirfyllst (opnir hringir). Árin 2011 og 2012 var ekki safnað úr Jökulsá á Dal við Brú.

Sýni sem safnað var í lágreinsnli höfðu háan heildarstyrk uppleystra aðalefnaefna (TDS) og hátt alkalinity, líkt því sem sem það var á veturna áður en rennsli Jökulsár var truflað, en sýnin sem safnað var þegar Hálslón var á yfirlalli voru eins og sumarsýnin í rannsókninni 1998 – 2003, með lágt TDS, lágt alkalinity og háan styrk svifaurs (Sigurður Reynir Gíslason 2004). Styrkur málmannna B, Sr, Ba, Cr, Cu og Mo, var lægra við hátt rennsli en rennsli hafði ekki áhrif á styrk annarra málma. Rennsli vatnsfallsins var alltaf lægra en það var áður en virkjun tók til starfa.

Aðaláhersla hefur verið lögð á að vakta Jökulsá á Dal af brúnni við Hjarðarhaga. Þar hefur 43 sýnum verið safnað á tímabilinu 2007 – 2013, þar af 36 sýnum við lágrennsli en sjö sýnum þegar Háslón hefur verið á yfirlalli (Tafla 6, myndir 13 – 16). Þrátt fyrir að safnað hafi verið á yfirlalli hefur rennslið þó aldrei verið í líkingu við summarrennsli Jökulsár á Dal fyrir virkjun. Á yfirstandandi rannsóknartímabili var sýni safnað við mest 240 m<sup>3</sup>/s en á tímabilinu 1998 – 2003 var safnað við mest 510 m<sup>3</sup>/s rennsli.

Á myndum 13 – 14 má sjá styrk efnanna í tímaröð og þar eru sýnin sem safnað var á yfirlalli táknuð með opnum hringjum. Eins og við mátti búast var styrkur aðalefna og nokurra snefilefna lægri í sýnum sem safnað var við mikið rennsli á yfirlalli. Hins vegar var styrkur Al, V, PO<sub>4</sub> og heildarstyrkur fosfórs (P<sub>total</sub>) hærri í yfirlallssýnum. Vanadium (V) og PO<sub>4</sub> eru mikilvæg næringarefni fyrir ljóstillífandi lífverur og lækkun á framburði þeirra getur haft áhrif á afkomu ljóstillífandi lífvera á vatnasviðinu. Áhrifa gæti einnig gætt út í sjó en hafa ber í huga að vatnið úr Háslóni fer í gegnum Lagarfljót sem fellur til sjávar, á sama stað og Jökulsá á Dal sem vegur að hluta til upp minnkandi framburð Jökulsár á Dal á uppleystum fosfór.

Á árunum 2007 – 2013 var mesta rennsli við sýnasöfnun 240 m<sup>3</sup>/s á meðan safnað var við allt að 500 m<sup>3</sup>/s á árunum 1998-2003. Þó má sjá að styrkur efnanna er rennslisháður á sama hátt og hann var fyrir virkjun (myndir 15 og 16). Við lágt rennsli, þegar afrennslið var ættað af heiðarlöndunum í kring og grunnvatni, var styrkur uppleystra aðalefna og nokurra snefilefna (Sr, Cr og Mo) hár og lækkaði með vaxandi rennsli. Styrkur svifaurs var lítt við lágt rennsli en jókst með auknu rennsli, eins og við var að búast. Vensl uppleystra efna og rennslis eru svipuð fyrir og eftir virkjun (Sigurður Reynir Gíslason o.fl. 2004; 2006). Þó var styrkur Na, Ca, Mg, SiO<sub>2</sub> og alkalinity hærri 2007 – 2012 en hann varð hæstur á fyrra tímabili.

Gott er að skoða árstíðasveifluna í Jökulsá á Dal sem sýnd er í viðauka til að gera sér grein fyrir þeim breytingum sem orðið hafa á vatnfallinu eftir virkjun. Meðalstyrkur uppleystra aðalefna hefur hækkað um 16 – 118%, nema styrkur brennisteins sem hefur ekki breyst (Tafla 1). Af aðalefnum hefur Mg hækkað mest. Meðalstyrkur DOC hefur lækkað um 126%, og POC og PON um 13% og 14%. Meðalstyrkur næringarefnanna PO<sub>4</sub>, P-total, NO<sub>3</sub>, NO<sub>2</sub>, NH<sub>4</sub> og N-total hefur lækkað um 3 til 47%. Meðalstyrkur flestra snefilefna hefur hækkað um 7 til 75% en styrkur Fe, Ti og Sr hefur hækkað um 700, 208 og 159%. Meðalstyrkur Ni, Pb, Cd og V hefur lækkað um 28 – 75%.

Framburður efna með vatnsföllum er háður styrk efna í vatninu og rennsli vatnsfallsins. Meðalrennsli við Hjarðarhaga var 145 m<sup>3</sup>/s árin 1998 – 2003 en 59 m<sup>3</sup>/s árin 2007 – 2013. Það

er lækkun rennslis um 59%. Framburður allra mældra uppleystra efna nema Sr, Fe og Ti hefur lækkað, en styrkur þeirra efna hækkað mest í Jökulsá á Dal eftir virkjun. Framburður aðalefna hefur minnkað um 3 – 55%, næringarefna um 15 – 77% og snefilefna (utan Sr, Fe og Ti) um 5 – 84%. Framburður Sr hefur aukist um 16%, járns um 230% og titans um 30%. Samband rennslis og styrks svifaurs er veldisfall og svifaur er mjög rennslisháður. Því er jafna 1 sem notuð er til að reikna framburð ekki góð til að meta framburð svifaurs þó allt í lagi sé að nota hana til reikninga uppleystum efnum. En reikningar á framburði svifaurs með jöfnu 1 gefa til kynna að hann hafi minnkað um 94% eftir virkjun.

### **3.1.3 Jökulsá í Fljótsdal við Hól.**

Snemma árs 2009 var Hraunaveita tekin í notkun og þá var lokað fyrir rennsli Jökulsár í Fljótsdal við Ufsarstíflu. Yfir sumartímann er vatn úr Ufsarlóni notað til að knýja hverflana í Fljótdalsvirkjun á meðan Háslón fyllist. Þar af leiðandi minnkari rennslið við sýnatökustaðinn við Hól. Vatnið var þó mjög gruggugt þar sem Jökulsá í Fljótsdal er rík af mjög fingerðum svifaur (Hákon Aðalsteinsson, 2000) og ekki þarf mikið rennsli til að halda því í upplausn. Alls var 21 sýni safnað þar á árunum 2007 til 2011 og þá var sýnatöku hætt við Hól. Niðurstöður úr þessum mælingum er að finna í töflu 7 og á myndum 16 – 19.

Rennsli við sýnatöku árin 2007 – 20011 var að meðaltali  $17 \text{ m}^3/\text{s}$  en  $39 \text{ m}^3/\text{s}$  á árunum fyrir virkjun, 1998 – 2003. Meðalstyrkur uppleystra efna var hærri en hann var á árunum 1998 – 2003 (Tafla 1) nema styrkur Ca og  $\text{SO}_4$  sem var mun lægri (Töflur 1 og 7). Aukin styrkur Ca og  $\text{SO}_4$  getur bent til að karbónat og súlfíð veðrun hafi haft áhrif á vatnsfallið fyrir virkjun en áhrifa þess hafi hætt að gæta eftir virkjun. Karbónat og súlfíð útfellingar fylgja háhitasvæðum og eru frekar auðleystar steindir sem hafa mikil áhrif á efnasamsetningu vatns sem kemst í snertingu við þær.

Árstíðabundnar sveiflur á uppleystum efnum og svifaur voru áberandi á meðan vatnsfallið var ótruflað en eftir að Hraunaveita var tekin í notkun árið 2009 hefur árstíðasveiflan orðið minna áberandi.

Ef litið er á myndir 18 og 19 má sjá áhrif rennslis á styrk svifaurs og uppleyst efni. Þar sést að efnastyrkur Jökulsá í Fljótsdal við Hól eftir virkjun fellur ekki alltaf vel að eldri gagnagrunninum sem safnað var fyrir virkjun (opnir hringir). Sérstaklega hefur styrkur brennisteins ( $\text{SO}_4$ ) lækkað mikið m.v. það sem hann var 1998-2003. Styrkur  $\text{SO}_4$  í sýnum frá

2007 og 2008, áður en Hraunaveita var tekin í notkun, fellur vel að efnalyklinum frá 1998-2003 en sýni frá 2009-2011 hafa oftast fallið neðan við hann.

Framburður flestra efna lækkaði um 30 – 70% á milli rannsóknartímabilanna 1998-2003 og 2007-2011 nema framburður Fe og Ti sem jókst um 150 og 130%.

### **3.1.4 Affallsskurður við Fljótsdalsstöð.**

Niðurstöður mælinga sem gerðar hafa verið í affallsskurðinum við Fljótsdalsstöð eru í Töflu 8 og á myndum 20 og 21.

Uppruni vatns í affallsskurðinum við Fljótsdalsstöð er ekki alltaf sá sami. Megnið af árinu rennur vatn beint úr Háslóni, en yfir sumartímann, á meðan Háslón er að fyllast, er uppruni vatnsins að stórum hluta úr Ufsarlóni og Háslóni. Hlutfall vatns úr Ufsarlóni var frá 5 til 76%. Mest var notað af vatni úr Ufsarlóni frá maí til júlí.

Efnasamsetning Ufsarlóns og Háslóns er ólík (Myndir 4 og 5). Mestur munur er á alkalinity, Ca, SO<sub>4</sub>, Sr og Mo en styrkur þessara efna er hærri í Ufsarlóni en í Háslóni. Þar af leiðandi vex framburður þeirra efna í frárennslisskurðinum við Fljótsdalsstöð eftir því sem hlutfallslega meira vatn upprunið úr Ufsarlóni fer í gegnum virkjunina.

Árlegur framburður svifaurs um frárennslisskurðinn var reiknaður skv. jöfnu 1 miðað við þau gögn sem liggja fyrir og meðalrennsli um skurðinn frá 2008 – 2013, og var hann um 826 þúsund tonn á ári yfir þetta tímabil. Við framburðarútreikningana (jafna 1) er notað rennslisveginn meðastykur svifaurs og meðalrennsli um skurðinn. Þessi jafna er kannski ekki sú besta til að meta framburð svifaurs en þar sem styrkur svifaurs í útfallsskurðinum er ekki rennslisháður (mynd 23) ætti jafna 1 að ganga ágætlega til reikninga á framburði í svifaur um skurðinn.

Árið 2000 var gefin út skýrsla sem miðaði að því að endurmetsa magn svifaurs við Jökulsá á Dal við Hjarðarhaga (Svanur Pálsson o.fl. 2000). Samkvæmt skýrslunni var áreiðanlegasta mat á meðalframburði svifaurs Jökulsá á Dal við Hjarðarhaga 5,8 milljónir tonna á ári á árunum 1970 til 1999. Munurinn á þessum framburðartölum er rétt tæplega 5 milljónir tonna af svifaur á ári, sem hlýtur því að vera nálægt því magni af svifaur sest til í Háslóni. Eitthvað af svifaur fer með yfirfallsvatni á haustin en það er mjög lítið þegar á heildina er litið. Þetta mat á setmyndun í Háslóni ætti þó að taka með varúð þar sem framburður vatnsfalla er mjög rennslisháður og fer því mikið eftir loftslagi á hverjum tíma.

### **3.1.5 Fellsá við Sturluflöt.**

Fellsá er mikilvægur vöktunarstaður á svæðinu þar sem það er eina óraskaða vatnfallið í rannsókninni. Hún er því tenging við náttúrulegar breytingar á svæðinu. Á árunum 1964 - 2004 hækkaði hiti og afrennsli á svæðinu umtalsvert sem olli breytingum á hraða efnaharfaveðrunar og rofs (Sigurður Reynir Gíslason o.fl. 2009) og þar með styrk og framburði uppleystra efna og agna í vatnsföllunum. Niðurstöður úr mælingum sem gerðar hafa verið í Fellsá eru í töflu 9 og á myndum 25 – 28.

Styrkur aðalefna í Fellsá sveiflaðist fremur reglulega yfir árið, var hærri á veturna en á sumrin (Tafla 9, myndir 25 og 26, viðauki). Meðalstyrkur uppleystra efna var sambærilegur í sýnum frá báðum rannsóknartímabilum (Tafla 1) og var meðalstyrkur uppleystra efna ( $TDS_{mælt}$ ; Tafla 1) t.d. 33 mg/l á árunum 1998 – 2003 en 36 mg/l á tímabilinu 2007 – 2012.

Aukið rennsli í Fellsá veldur styrklækkun á uppleystum efnum en getur aukið styrk svifaurs (myndir 26 og 27). Kornastærð bergmylsnu í farvegi Fellsár er þó mjög gróf og því þarf mikið rennsli til að hreyfa við þeim. Í raun er það ekki fyrr en í miklum flóðum sem aurframburður eykst eitthvað að ráði í Fellsá.

Styrkur efna miðað við rennsli frá 2007 - 2013 er svipaður og hann var frá 1998 - 2003 (mynd 26) og gögnin bæta því við efnalykilinn sem skilgreindur var fyrir vatnfallið eins og það var í lok þess rannsóknartímabilsins (Sigurður Reynir Gíslason o.fl. 2004; 2009). Því hefur verið bætt við tveimur myndum með efnalyklum fyrir Fellsá þar sem öll gögn sem safnað hefur verið frá 1998 eru notuð til að skilgreina lyklana (myndir 29 og 30).

Loftslagsbreytingar hafa mikil áhrif á framburð efna með vatnsföllum. Aukinn lofthiti veldur auknum loftraka sem aftur veldur meiri rigningu. Á síðastliðnum 40 árum hefur afrennsli Fellsár aukist um 15% við hverja gráðu ( $^{\circ}\text{C}$ ) sem meðalhitastigið hefur hækkað (Sigurður Reynir Gíslason o.fl. 2009). Sömuleiðis hefur framburður uppleystra efna með Fellsá aukist um 13-19% (Eyðís Salome Eiríksdóttir o.fl. 2014).

### **3.1.6 Lagarfljót við Lagarfoss**

Sýnum var safnað úr Lagarfljóti við Lagarfoss á svipuðum stað og í rannsókninni 1998 – 2003. Ekki reyndist mögulegt að safna á nákvæmlega sama stað vegna mikilla breytinga sem orðið hafa á umhverfinu vegna stækkunar á Lagarfossvirkjunar á árunum 2005 til 2007, en þá var farveginum við virkjunina breytt til að auðvelda vatnsrennslu að virkjuninni. Niðurstöður mælinga sem gerðar hafa verið í Lagarfljóti er að finna í töflum 1, 2 og 10 og á myndum 26 – 29.

Rennsli um Lagarfoss hefur tvöfaldast frá því á árunum 1998 – 2003 og hefur langtíma meðalrennslíð farið úr  $114 \text{ m}^3/\text{s}$  1998 – 2003 í  $218 \text{ m}^3/\text{s}$  á árunum 2008 – 2012 (Tafla 2). Meðalstyrkur svifaurs á árunum 1998 – 2003 var  $28 \text{ mg/kg}$  (Sigurður Reynir Gíslason o.fl. 2003, ath. villa í Sigurður Reynir Gíslason o.fl. 2004) en er nú  $103 \text{ mg/kg}$  (Tafla 1). Það er næri fjórfoldun á styrk svifaurs.

Meðalstyrkur uppleystu aðalefnanna  $\text{SiO}_2$ , Na, K og F hefur hækkað frá fyrra tímabili miðað við fyrirliggjandi gögn, á meðan alkalinity, styrkur  $\text{SO}_4$ , Cl og Mg hefur lækkað. Þá hefur heildarstyrkur uppleystra aðalefna (TDS) lækkað. Flest aðalefnin hafa aðeins breyst lítillega en  $\text{SO}_4$  hefur lækkað um 15% að meðaltali og styrkur Mg og Cl um 2 og 28%. Meðalstyrkur næringarefnisins  $\text{NH}_4$  er 138% hærri en hann var, styrkur  $P_{\text{total}}$  hefur hækkað um 100% og  $\text{N}_{\text{total}}$  og  $\text{NO}_3$  hefur lækkað um 19 og 11%. Meðalstyrkur snefilefnanna Ti, Fe, Al, V, Co, Zn, Cr, Mo hefur hækkað. Styrkur Al og Fe er tvívar til þrisvar sinnum hærri en fyrir virkjun og styrkur Ti hefur fjórfaldast frá 1998 – 2003. Styrkur snefilefnanna Mn, B, Cu, Pb, Sr og Ni hefur lækkað um 14 til 65%, í hækkandi röð.

Sýni sem safnað var 8. mars 2012 var tekið af brú við inntak Lagarfossvirkjunar vegna mikillar ísstíflu við venjulegan sýnatökustað (mynd E, efst til hægri). Það sýni reyndist mengað af mörgum efnum og var ekki tekið með í útreikninga á meðaltali á styrk efna. Mengunin er auðséð toppum í t.d. Na,  $\text{SiO}_2$ ,  $\text{N}_{\text{total}}$ , Sr, Ba, og B á myndum 26 og 27.

Eins og áður sagði hefur rennsli Lagarfljóts nær tvöfaldaðist eftir virkjun og er nú dvalartíminn í Lagarfljóti um helmingur þess sem hann var áður, um hálftrár í stað eins árs fyrir virkjun (Gunnar Guðni Tómasson og Jórunn Harðardóttir, 2001). Þó að lofthiti hafi að jafnaði verið lægri þegar safnað var eftir virkjun var vatnshiti hærri. Líklegt verður að teljast að þessi munur skrifist á tímasetningu söfnunarferða. Vatnshiti fylgir lofthita en hitabreytingar koma svolítið seinna fram í vatninu (Victor Kristinn Helgason og Egill Axelsson 2009). Hitalækkunnar á vatni í Lagarfljóti hefur orðið vart efst á vatnasviði þess eftir virkjun en fyrir miðju Lagarfljóti hefur vatnið hitnað upp að því sem það var fyrir

virkjun. Hitastig vatns neðarlega á vatnasviði Lagarfljóts stjórnast því af lofthita (Viktor Kristinn Helgason og Egill Axelsson, 2009) og hitamælingar sem Veðurstofan hefur staðið fyrir á Lagarfljóti gefa ekki til kynna neinar breytingar á vatnshita á tveimur mælistöðvum, út af Freysnesi og Hafursá (Egill Axelsson, 2011).

Framburður Lagarfljóts á uppleystum efnum og svifaur hefur verið reiknaður fyrir tímabilið 2007 – 2013. Niðurstöður þeirra reikninga er í Töflu 2 og þar eru einnig framburðargögn frá tímabilinu 1998 – 2003 til samanburðar. Framburður Lagarfljóts á öllum uppleystum efnum og lífrænum- og ólífænum svifaur hefur aukist. Framburður flestra efna hefur 2 til 3 faldast en framburður  $P_{total}$ , V, Al, Fe og Ti hefur 4 til 8 faldast (í hækkandi röð). Framburður lífræns og ólífræns svifaurs hefur aukist mest. Framburður ólífræns svifaurs hefur tæplega 10 faldast og POC hefur 36 faldast. Framburður uppleystra næringarefna er mikilvægur strandsjónum og samantekt á samanlöögðum framburði Jökulsár á Dal og Lagarfljóts, fyrir og eftir virkjun, er nauðsynlegur til að meta breytingar á framburði næringarefna til sjávar.

## 3.2 Samsætur.

Samsætur kolefnis ( $\delta^{13}\text{C}$  og  $\delta^{14}\text{C}$ ) voru mældar í sýnum frá 2003 og í nokkrum sýnum frá 2007 og 2008 og samsætur súrefnis ( $\delta^{18}\text{O}$ ) og vetrnis (Deuterium,  $\delta\text{D}$ ) úr flestum sýnum sem safnað hefur verið frá 2008 til 2012. Gögnin eru í töflum 11a og 11b og á myndum 30–32.

Mælingar á styrk  $^{14}\text{C}$  hafa einungis verið gerðar í nokkrum sýnum frá 2007 og 2008 og ítarlega er fjallað um þær mælingar í fyrri skýrslu (Eydis Salome Eiríksdóttir o.fl. 2011a). Í töflu 11a og á myndum 35 og 36 eru niðurstöður mælinga sem gerðar voru á samsætum súrefnis og vetrnis.

Úrkoma sem fellur langt inni í landi er léttari en úrkoma sem fellur nálægt ströndinni. Eins léttist úrkoma með hæð yfir sjávarmáli. Samsætur súrefnis ( $\delta^{18}\text{O}$ ) og vetrnis (Deuterium,  $\delta\text{D}$ ) voru alltaf léttastar í vatni Jökulsár á Dal, við Brú og Hjarðarhaga og Útfalli Kárahnúkavirkjunar (lægstu gildin) en þyngstar í dragánum Grímsá og Fellsá (myndir 35 og 36). Þetta endurspeglar fjarlægð vatnasviða þessara straumvatna frá sjó og hæð yfir sjávarmáli. Samsætur súrefnis og vetrnis í vatni Jökulsá á Dal eru léttastar seinni part sumars, þegar gamall ís ættaður ofarlega á Vatnajökli, tekur að bráðna. Eins og sést á mynd 35 fylgja samsætur vetrnis og súrefnis á vatnasviðum á Austurlandi úrkomulínunni sem gildir á Íslandi (Stefán Arnórsson og Árný E. Sveinbjörnsdóttir, 1998).

## 3.3 Svifaur

### 3.3.1 Efnasamsetning svifaurs

Á rannsóknartímabilinu 2007 – 2013 hefur 34 svifaurofssýnum verið safnað til efnagreininga. Niðurstöður þeirra mælinga er að finna í töflu 12a, 12b og 12c og á myndum 38 – 340.

Á mynd 38 er gerð grein fyrir efnastyrk valdra efna í svifaur úr Jökulsá á Dal við Hjarðarhaga sem fall af hlutfallslegu magni leirs (kornastærð < 0,002 mm) í svifaurofssýninu. Leir er fíngerðasti hluti svifaurofssýnanna og hefur mesta yfirborðsflatarmálið. Styrkur auðleystu efnanna Na og Ca lækkaði með auknum hluta leirkorna í svifaurnum á meðan styrkur torleystu efnanna Fe og P hækkaði. Styrkur Mg hækkaði með minnkandi kornastærð, væntanlega þar sem Mg binst hratt í leirsteindum. Styrkur Cu hækkaði mjög mikil eftir því sem svifaurofssýnin urðu fíngerðari, en málmar eins og Cu hafa þá tilhneigingu til að sogast á yfirborð leirkorna vegna rafhleðslna. Ásoguð efni geta svo skolast af yfirborði kornanna þegar umhverfisaðstæður breytast, t.d við sjávarblöndun.

Berggerð svifaurs einkennist af því bergi sem er á hverju vatnasviði fyrir sig og á mynd 39 er styrkur aðalefna í svifaur Lagarfoss, Jökulsár á Dal við Hjarðarhaga, Jökulsár í Fljótsdal og útfallsskurði við Fljótsdalsvirkjun sýndur sem fall af tíma. Á punktaritunum er einnig aðfallslína sem sýnir breytingar á efnasamsetningu á svifaur úr Lagarfljóti. Í heildina á litid hefur styrkur þeirra efna sem var svipaður í svifaur Jökulsár á Dal og Jökulsár í Fljótsdal fyrir virkjun haldist óbreyttur í Lagarfljóti eftir virkjun. En styrkur efna sem var ólíkur í svifaur Jökulsár á Dal og Jökulsár í Fljótsdal hefur hins vegar annað hvort aukist eða minnkað í svifaur Lagarfljóts eftir virkjun, eftir því hvort efnin voru í meiri eða minni styrk í svifaur Jökulsár á Dal miðað við svifaur Jökulsár í Fljótsdal. Eftifarandi breytingar í efnasamsetningu Lagarfljóts eru sýnilegar:

- $\text{SiO}_2$ ,  $\text{Al}_2\text{O}_3$ ,  $\text{Fe}_2\text{O}_3$ ,  $\text{MnO}$  og  $\text{Ti}$ : lítilsháttar styrklækkun í svifaur eftir virkjun. Styrkur þessara efna var svipaður í svifaur í Lagarfljóti, Jökulsár á Dal og Jökulsár í Fljótsdal og lítil breyting hefur orðið á þessum efnum.
- $\text{CaO}$ ,  $\text{MgO}$ : óbreyttur styrkur í svifaur. Styrkur Ca var lægri í svifaur úr Lagarfljóti og Jökulsár í Fljótsdal en úr Jökulsár á Dal og styrkur þess hefur ekki breyst þrátt fyrir aukið magn svifaurs sem ættaður er af vatnasviði Jökulsár á Dal. Styrkur Mg í svifaur

Jökulsár á Dal var hærri en í Jökulsá í Fljótsdal sem nú hefur aukið styrk svifaurs Lagarfljóts.

- K<sub>2</sub>O og P<sub>2</sub>O<sub>5</sub>: styrkur þessara efna hefur lækkað í svifaur Lagarfljóts eftir virkjun. Styrkur þeirra er hærri í ísúru bergi en í basísku bergi. Berggrunnur Jökulsár í Fljótsdal er að hluta til súr/ísúr og því er styrkur þessarra efna í svifaur Jökulsár í Fljótsdal meiri en í svifaur Jökulsár á Dal. Nú má sjá að styrkur efnanna ber meiri keim af styrk þeirra í svifaur af vatnasviðið Jökulsár á Dal.
- Athygli vekur að styrkur Na<sub>2</sub>O hefur einnig minnkað í Lagarfljóti þrátt fyrir að styrkur þess í svifaur Jökulsár á Dal og Jökulsár á Fljótsdal hafi verið svipaður fyrir virkjun en lítillega lægri í Lagarfossi. Nú er styrkur Na<sub>2</sub>O í útfalli Lagarfljóts um ~45% lægri en hann var fyrir virkjun. Lækkunina má hugsanlega rekja þess hve háð Na er kornastærð í Jökulsá á Dal (mynd 38), því fíngerðari svifaur þeim mun auðveldar skolast Na út úr svifaurnum og lækkar þá hlutfallslega Na styrk í svifaur Lagarfljóts.

### 3.3.2 *Framburður svifaurs*

Stíflugerð á vatnasviði eykur dvalartíma vatns á landi og veldur aukinni setmyndun á landi. Það verður til þess að framburður svifaurs til sjávar minnkar. Svifaur í jökulám er að mestu leytti ólífraenn, korn og bergmolar sem eru upprunnir úr berggrunni vatnasviðsins. Þar af leiðandi endurspeglar efnasamsetning svifaursins meðalefnasamsetningu bergs á vatnasviðinu (Eyðís Salome Eiríksdóttir o.fl. 2008).

Samkvæmt Aller (1998) er set í árósum endurunnið aftur og aftur í daga og mánuði eftir að það berst af landi þannig að það gefst tölverður tími til efnaskipta á milli sets og sjávar. Tilraunir á rannsóknarstofum með efnaskipti bergs og sjávar sýna að styrkur uppleystra efna hækkar í lausn sem bendir til þess að svifaurinn leysist í sjónum (t.d. Matthildur B. Stefánsdóttir og Sigurður R. Gíslason, 2006; Jones o.fl., 2012). Þó aukast ekki öll efni jafnt í lausninni við efnaskiptin heldur virðast sum efnin ná yfirmettun m.t.t. ummyndunarsteinda eða sogast á yfirborð svifaursins og við það lækkar styrkur þeirra eða stendur í stað í lausninni.

Tilraunir með leysingu svifaurs úr Hvítá í Borgarfirði í sjó sýnir að styrkur uppleysts SiO<sub>2</sub>, Ca, Mg, Mn, and Ni hækkar á meðan styrkur Li og K lækkar (Jones o.fl. 2012). Samkvæmt Oelkers o.fl. (2011) nægir leysnihraði upp á  $1 \times 10^{-16}$  mól SiO<sub>2</sub>/cm<sup>2</sup>/s til að leysa upp 1% af árlegum framburði svifaurs til sjávar. Leysnihraði basalts í vatnsföllum á Austurlandi hefur verið reiknaður út frá leysnilíkani (Gislason and Oelkers, 2003) og er hann frá  $4 \times 10^{-15}$  til  $5 \times 10^{-14}$

mól SiO<sub>2</sub>/cm<sup>2</sup>/s eða er 1 – 2 stærðargráðu meiri leysnihraði en Oelkers og félagar (2011) notuðu í sinni nálgun.

Svifaur í jökulám er yfirleitt fínkornóttur sem þýðir að yfirborðsflatarmál hans er mikið. Yfirborðsflatarmálið eykst eftir því sem setið verður fínna. Yfirborðsflatarmál svifaurs hefur verið mælt áður en Fljótsdalsvirkjun tók til starfa og er frá 26 til 80 m<sup>2</sup>/g í Jökulsá á Dal við Hjarðarhaga, 19 til 64 m<sup>2</sup>/g í Jökulsá í Fljótsdal við Hól og allt niður í 10 til 31 m<sup>2</sup>/g í Lagarfljóti við Lagarfoss (Sigurður Reynir Gíslason o.fl. 2004). Eftir virkjun hefur yfirborðsflatamál verið mælt í svifaur Lagarfljóts, 70 – 92 m<sup>2</sup>/g (meðaltal 75,5 m<sup>2</sup>/g), og í útfalli Fljótsdalsvirkjunar, 44 – 110 m<sup>2</sup>/g (meðaltal 76 m<sup>2</sup>/g). Framburður yfirborðsflatarmál svifaurs í Lagarfljóti var 0,018 km<sup>2</sup>/s en er nú 1 til 2 km<sup>2</sup>/s. Þetta er 80 földun á framburði á yfirborðsflatarmáli svifaurs í Lagarfljóti. Yfirborðsflatarmál svifaurs í Jökulsá á Dal fyrir virkjun var mjög breytilegt eftir árstíma, frá því að vera 5000 m<sup>2</sup>/s ( $1 \times 10^{-3}$  km<sup>2</sup>/s) veturninn 1999 til 2000 í það að vera 27 km<sup>2</sup>/s í ágúst 2000.

Snertiflötur vatns og bergs, og þar með samspil þeirra, eykst með stærð yfirborðsflatarmáls. Fínustu kornin í svifaurnum geta, vegna rafkrafta á yfirborði kornanna, einnig sópað til sín uppleystum eftum úr vatninu og þannig lækkað styrk efnanna í vatninu en aukið hann hlutfallslega í korninu sjálfu. Við breyttar aðstæður, t.d. ef svifaur fellur til sjávar, geta þessi efni skolast af yfirborði kornanna og nýst sem næringarefni í sjónum (Jón Ólafsson o.fl., 2008; Matthildur B. Stefánsdóttir og Sigurður R. Gíslason, 2006). Í rannsókn sem var gerð við ósa Þjórsár, 1996, var mikill munur á styrk snefilefnanna Cu, Cd og Zn í sýnum sem tekin voru út eftir ósnum. Mestur var styrkur efnanna þegar blanda árvatns og sjávar var um það bil 1:3 (Jón Ólafsson o.fl. 2008), líklega vegna skolunar þessara efna af yfirborði svifaursins í upplausn. Í þessari sömu rannsókn komu fram vísbendingar um að gruggið hefði áhrif til lækkunar á fosfatstyrk. Það er þekkt að uppleyst fosför hefur tilhneigingu til að sogast á yfirborð svifaurs. Orthophosphate (PO<sub>4</sub>) ásogast í meira mæli á yfirborð járnhydrosíðs en önnur efnasambönd fosfórs, eins og lífrænar fosförkeðjur (Ruttenberg og Sulakm, 2011). Ásog fosfórs á yfirborð svifaurs getur því leitt til hlutfallslegrar aukningar á uppleystum lífrænum fosför í vatninu. Rogers og Bennett (2004) hafa sýnt fram á að örverur geta losað um næringarefni sem eru í litlum mæli í upplausn, eins og Fe og P, sem eru í föstu formi og nýtt sér þau við orkuöflun.

Athafnir mannsins hafa haft valdið mikilli aukningu á framburð næringarefna til sjávar með áburðardreifingu og skógarhöggi, en einnig hefur stíflugerð valdið lækkun á framburði fosfórs vegna setmyndunar á landi. Setið fellur þar til botns og, þar með, allt það fosför sem

er ásogað á yfirborð kornanna. Það grefst í lónastæðinu en getur orðið hreyfanlegt við réttar aðstæður (t.d. við súrefnispírr) og skilað sér aftur í vatnsbolinn (Ruttenberg, 2003) ef styrkmunur er á milli styrks fosfórs í setvatninu og í vatnsbolnum. Almennt séð þá vegur það upp á móti lækkun á framburði fosfórs en líklegt verður þó að teljast að það falli nú fljótt út á svifaur í Hálslóni og á botn Háslóns, nái aldrei til sjávar, heldur haldi áfram í innri næringarefnahringrás við botn lónsins.

### 3.4 Héraðsflói

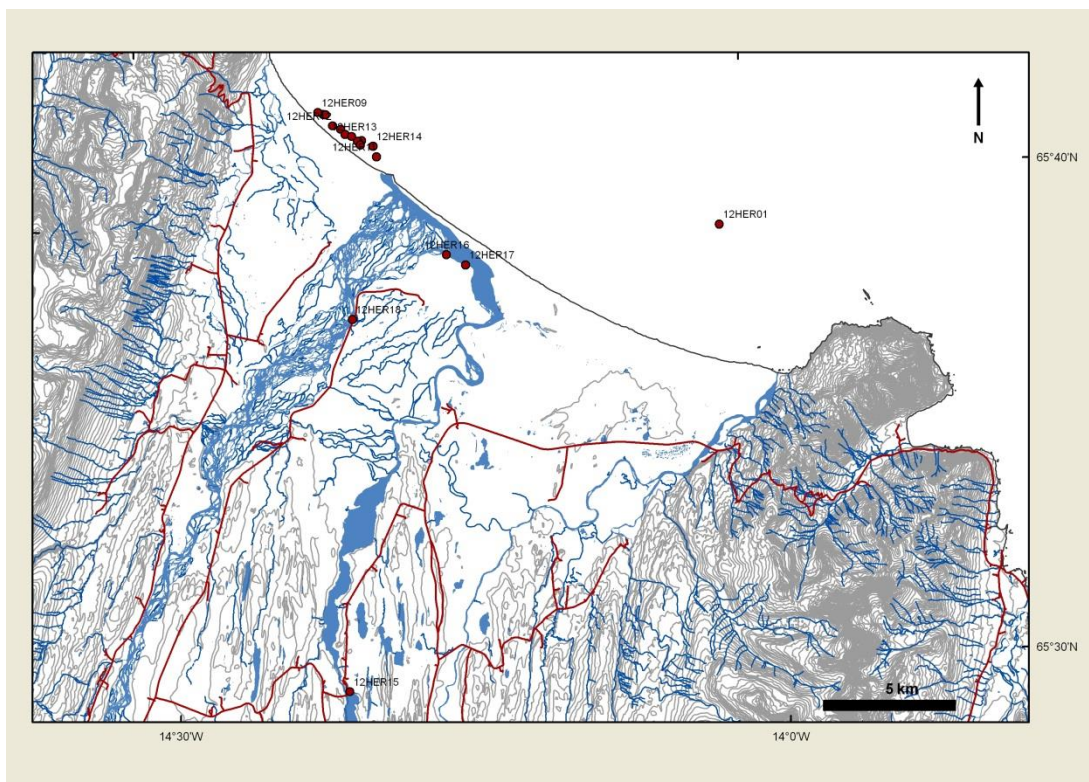
Í lok september 2012 var safnað úr Héraðsflóa, utan við mynni Lagarfljóts og Jökulsár á Dal (mynd 2). Siglt var frá Borgarfirði Eystri á Emil NS-5 með útgerðarmanninum Karli Sveinssyni og skipstjóranum Jóni S. Sigmarsyni. Gúmmítuðra var dregin á eftir bátnum til að nota við söfnun sýnanna. Markmiðið var að safna sýnum með mismikilli blöndun ferskvatns og sjávar til að meta áhrif íblöndunarinnar á uppleyst efni sjávarins. Ætlunin hafði verið að sigla upp í ósinn en horfið var frá því þar sem gryninggar í ósnum voru miklar og tölувert brot á þeim, þrátt fyrir gott veður.

Önnur ferð var farin í ósa Lagarfljóts í september 2013. Þá var farið niður eftir Lagarfljóti, gúmmibátur settur út og siglt niður að ósum. Safnað var á lágu seltubili og leitast við að ná sýnum með mun minni seltu en í söfnunarferðinni 2013.

Niðurstöðurnar úr söfnuninni eru í töflu 13 og á myndum 41 og 42 þar sem styrkur einstakra efna er sýndur sem fall af klór, til að sýna sem best áhrif blöndunar ferskvatns og sjávar.

Styrkur efnanna ýmist vex eða minnkar með aukinni seltu (Cl). Línulegir blöndunarferlar benda til þess að einungis sé um aflfræðilega (mekaníska) blöndun að ræða en ef blöndunarferillinn víkur frá línulegum ferli þá er um að ræða uppleysingu fastra agna eða afsog/ásog efnanna á agnir í upplausn. Efnagreiningum á svifaur er ekki lokið.

Reynt var að ná sýnum af seti af botni Héraðsflóa með sérstökum botnsýnataka árið 2012 en það gekk ekki þar sem setið er bæði gróft og samþjappað vegna mikilla strauma sem þarna eru. Norðan við ós var straumurinn í norður en sunnan óss var straumurinn sterkur til suðausturs.



Mynd 2. Kort af Héraðsflóa sem sýnir sýnatökustaðina úti fyrir mynni Lagarfljóts og Jökulsár á Dal. Árósarnir hafa færst töluvert til norðurs miðað við það sem kortið sýnir. Sýnum frá 2013 var safnað á þessum slóðum, lítillega nær landi.

Yfirlit yfir helstu niðurstöður úr sýnum úr Héraðsflóa:

- Styrkur allra aðalefna vex með auknum klórstyrk nema styrkur kísils. Kísill er nýttur af ljóstillífandi kísilþörungum og er því í lægri styrk í sjó en ferskvatni. Kísill er eitt af takmarkandi þáttum frumframleiðni í sjónum.
- Styrkur næringarefnanna fosfats ( $P_{total}$  og  $PO_4$ )  $N_{total}$  og  $NO_2$  vex með aukinni seltu sem þýðir að þau efni eru ekki takmarkandi fyrir frumframleiðni í Héraðsflóa. Það er í samræmi við aðrar athuganir við Íslandsstrendur (Jón Ólafsson o.fl. 2008), en þar er kísill takmarkandi.
- Athygli vekur að styrkur  $SO_4$  og heildarstyrkur brennisteins er ekki sami við háa seltu.
- Styrkur uppleysts lífræns kolefnis (DOC) eykst með aukinni seltu en styrkur lífræns svifaurs (POC) minnkar, sem og styrkur svifaurs.
- Styrkur Fe snarlækkar um leið og seltan eykst ( $Cl$  úr 0,03 í 0,05 mmól/kg) og helst mjög lágur í sjósýnunum.

- Styrkur snefilefnanna B, Sr, Ba, Cd, Cr, Cu, Pb og Mo hækkar með vaxandi seltu
- Styrkur snefilefnanna Mn og V lækkar með aukinni seltu og það var áhugavert að sjá að gögnin frá 2012 og 2013 voru ólík (myndir 41 og 42).
- Styrkur snefilefnanna Al, Ti og Hg var óreglulegur.



Mynd 3.

Efri t.v. Jón og Becca við söfnun á Héraðsflóa 2012.

Efri t.h. Gúmmibáturinn sem notaður var við söfnunina úr Héraðsflóa

Neðri t.v. Vilhjálmur og Jón Ottó mæla og safna sýnum 2013. Sökum þess hve miklir straumar voru á svæðinu var ákveðið að sigla upp á sandeyri og safna þaðan.

Neðri t.h. Séð yfir ós Lagarfljóts og Jökulsár á Dal.

## ÞAKKARORD

Landsvirkjun kostaði rannsóknina og hafa fulltrúar hennar sýnt verkefninu mikinn áhuga og stuðning. Sérstakar þakkir fá Hákon Aðalsteinsson og Óli Grétar Blöndal Sveinsson.

## HEIMILDIR

- Aller R. (1998) Mobile deltaic and continental shelf muds as suboxic, fluidized bed reactors. *Marine Chemistry*, 61, 143–155.
- Árný E. Sveinbjörnsdóttir 1993. Fornveðurfar lesið úr ískjörnum. Náttúrufræðingurinn 62 (1-2), bls. 99-108.
- Egill Axelsson, 2011. Hitamaelingar í Lagarfljóti 2010. EA-2011/01, 9 bls.
- Eydís Salome Eiríksdóttir, Pascale Louvat, Sigurður R. Gislason, Niels Óskarsson, Jórunn Harðardóttir, 2008. Temporal variation of chemical and mechanical weathering in NE Iceland: Evaluation of a steady-state model of erosion. *Earth and Planetary Science Letters*, 272 (1-2), bls 78-88
- Eydís Salome Eiríksdóttir, Sigurður Reynir Gíslason, Árni Snorrason, Jórunn Harðardóttir, Egill Axelsson og Peter Torssander, 2009. Efnasamsetning, rennsli og aurburður straumvatna á Austurlandi VI. Gagnagrunnur Raunvísindastofnunar og Orkustofnunar, RH-06-2009, 19 bls
- Eydís Salome Eiríksdóttir, Sigurður Reynir Gíslason, Árni Snorrason, Jórunn Harðardóttir, Egill Axelsson og Peter Torssander, 2010. Efnasamsetning, rennsli og aurburður straumvatna á Austurlandi VII. Gagnagrunnur Raunvísindastofnunar og Orkustofnunar, RH-24-2010, 54 bls
- Eydís Salome Eiríksdóttir, Sigurður Reynir Gíslason, Árni Snorrason, Jórunn Harðardóttir, Egill Axelsson og Árný E. Sveinbjörnsdóttir, 2011a. Efnasamsetning, rennsli og aurburður straumvatna á Austurlandi VIII. Gagnagrunnur Raunvísindastofnunar og Orkustofnunar, RH-04-2011, 74 bls
- Eydis Salome Eiríksdottir, Sigurdur Reynir Gislason and Eric H. Oelkers, 2011b. Does runoff or temperature control chemical weathering rates. *Applied Geochemistry*, doi: 10.1016/j.apgeochem.2011.03.056
- Eydís Salome Eiríksdóttir, Sigurður Reynir Gíslason, Árni Snorrason, Jórunn Harðardóttir, Egill Axelsson og Árný E. Sveinbjörnsdóttir, 2012. Efnasamsetning, rennsli og aurburður straumvatna á Austurlandi IX. Gagnagrunnur Raunvísindastofnunar og Orkustofnunar, RH-05-2012, 84 bls
- Eydís Salome Eiríksdóttir, Sigurður Reynir Gíslason og Eric H. Oelkers, 2013. Does temperature or runoff control the feedback between chemical denudation and climate? Insights from NE Iceland. *Geochimica et Cosmochimica Acta*, 107, bls. 65–81.
- Eydís Salome Eiríksdóttir, Sigurður Reynir Gíslason, Árni Snorrason, Jórunn Harðardóttir, Svava Björk Þorlaksdóttir, Árný E. Sveinbjörnsdóttir og Rebecca A. Neely, 2013. Efnasamsetning, rennsli og aurburður straumvatna á Austurlandi X. Gagnagrunnur Raunvísindastofnunar og Orkustofnunar, RH-05-2013, 123 bls.
- Eydís Salome Eiríksdóttir, Sigurður Reynir Gíslason og Eric H. Oelkers, 2014. Direct evidence of the feedback between climate and nutrient, major, and trace element transport to the oceans. Submitted to *Geochimica et Cosmochimica Acta* 2014.
- Gunnar Guðni Tómasson og Jórunn Harðardóttir 2001. Kárahnjúkavirkjun : áhrif á lit Lagarfljóts : niðurstöður tilrauna. OS-2001/016, 19 bls.

- Hákon Aðalsteinsson 2000. Aurframburður á Eyjabökkum. OS-2000/071.
- Haukur Tómasson, Svanur Pálsson, Guðmundur H. Vigfússon, 1996 Framburður svifaurs í jökulsánum norðan Vatnajökuls 13658 Orkustofnun OS-96024/VOD-02 93
- Jones M.T., Christopher R. Pearce, Catherine Jeandel, Sigurður R. Gislason, Eydis S. Eiriksdottir, Vasileios Mavromatis og Eric H.Oelkers, 2012. Riverine particulate material dissolution as a significant flux of strontium to the oceans. Earth and Planetary Science Letters, 355-366, bls. 51 – 59.
- Jón Ólafsson, Sólveig R. Ólafsdóttir og Jóhannes Briem (2008). Vatnsföll og vistkerfi strandsjávar, Náttúrufræðingurinn 76 (3–4), bls. 95–108
- Jórunn Harðardóttir og Ásgeir Gunnarsson 2001. Heildaraurburður Jökulsár á Fjöllum. Niðurstöður ársins 2000. Orkustofnun, JHa-ÁG-2001/01, 25 bls.
- Jórunn Harðardóttir & Ásgeir Gunnarsson 2002a. Heildaraurburður Jökulsár á Fjöllum. Niðurstöður ársins 2001. Orkustofnun, greinargerð, JHa-ÁG-2002/01, 30 bls.
- Jórunn Harðardóttir & Ásgeir Gunnarsson 2002b. Mælingar á rennsli og svifaur í Jökulsá á Dal árið 2001. Orkustofnun, OS-2002/034, 23 bls.
- Jórunn Harðardóttir, Ásgeir Gunnarsson & Svava Björk Þorlaksdóttir 2003. Mælingar á rennsli, svifaur og skriðaur í Jökulsá á Dal árið 2002. OS-2003/001.
- Marin Ivanov Kardjilov, Sigurður Reynir Gíslason, Guðrún Gísladóttir, 2006. The effect of gross primary production, net primary production and net ecosystem exchange on the carbon fixation by chemical weathering of basalt in northeastern Iceland. Journal of Geochemical Exploration, 88 (1-3), bls. 292-295
- Marin Ivanov Kardjilov, 2008. Riverine and terrestrial carbon fluxes in Iceland. Doktorsritgerð frá Háskóla Íslands, Reykjavík, júní 2008.
- Matthildur B. Stefánsdóttir og Sigurdur R. Gíslason, 2006. Suspended basaltic glass–seawater interactions. Journal of Geochemical Exploration, 88, 332–335
- Oelkers, Eric H., Sigurdur R. Gislason, Eydis Salome Eiriksdottir, Morgan Jones, Christopher R. Pearce, Catherine Jeandel, 2011. The role of riverine particulate material on the global cycles of the elements, Applied Geochemistry, 26, S365–S369
- Oelkers, Eric H., Morgan T. Jones, Christopher R. Pearce, Catherine Jeandel, Eydis Salome Eiriksdottir, Sigurdur R. Gislason, 2012. Riverine particulate material dissolution in seawater and its implications for the global cycles of the elements. Comptes Rendus Geoscience, 344, bls 646 – 651.
- Oslo and Paris Commissions 1995. Implementation of the Joint Assessment and Monitoring Programme, 68 bls.
- Parkhurst D.L, Appelo C.A.J. 1999. User's guide to PHREEQC (Version 2) – a computer program for speciation, batch-reaction, one-dimensional transport, and inverse geochemical calculations. Water resources investigations report 99-4259. Lakewood: US Geological Survey.
- Ólafur Arnalds og Fanney Ósk Gísladóttir 2001. Háslón, jarðvegur og jarðvegsrof. Rannsóknastofnun landbúnaðarins, 70 bls.
- Plummer, N.L., og Busenberg, E. 1982. The solubility of calcite, aragonite and vaterite in CO<sub>2</sub>-H<sub>2</sub>O solutions between 0 and 90°C, and an evaluation of the aqueous model for the system CaCO<sub>3</sub>-CO<sub>2</sub>-H<sub>2</sub>O: Geochimica et Cosmochimica Acta 46, bls. 1011 1040.

- Rogers J.R., Bennett P.C., 2004. Mineral stimulation of subsurface micro-organisms: release of limiting nutrients from silicates. *Chemical Geology*, 203, 91-108.
- Ruttenberg K.C., 2003. The global phosphorus cycle. In *Biogeochemistry* (ed. W.H. Schlesinger) Vol. 8 *Treaties of Geochemistry* (eds. H.D. Holland and K.K. Turekian), Elsivier – Pergamon, Oxford.
- Ruttenberg K.C., Sulak D.J., 2011. Sorption and desorption of dissolved organic phosphorus onto iron (oxyhydr)oxides in seawater. *Geochimica et Cosmochimica Acta*, 75, 4095–4112
- Sigridur Magnea Oskarsdottir, Sigurdur Reynir Gislason, Arni Snorrason, Stefania Gudrun Halldorsdottir, Gudrun Gisladottir, 2011. Spatial distribution of dissolved constituents in Icelandic river waters. *Journal of Hydrology*, 397, 175–190.
- Sigurður Reynir Gíslason, Árni Snorrason, Eydís Salome Eiríksdóttir, Bergur Sigfússon, Sverrir Óskar Elefsen, Jórunn Harðardóttir, Ásgeir Gunnarsson, Einar Örn Hreinsson, Peter Torssander, Marin I. Kardjilov og Niels Örn Óskarsson, 2003. Efnasamsetning, rennsli og aurburður straumvatna á Austurlandi IV. Gagnagrunnur Raunvísindastofnunar og Orkustofnunar. RH-04-2003, 97 bls.
- Sigurður Reynir Gíslason, Árni Snorrason, Bergur Sigfússon, Eydís Salome Eiríksdóttir, Sverrir Óskar Elefsen, Jórunn Harðardóttir, Ásgeir Gunnarsson, Einar Örn Hreinsson, Peter Torssander, Niels Örn Óskarsson og Eric Oelkers, 2004. Efnasamsetning, rennsli og aurburður straumvatna á Austurlandi V. Gagnagrunnur Raunvísindastofnunar og Orkustofnunar. RH-05-2004, 101 bls.
- Sigurður Reynir Gíslason, Eric H. Oelkers og Árni Snorrason 2006. Role of river-suspended material in the global carbon cycle. *Geology*, 34, bls 49-52.
- Sigurdur R. Gislason, Eric H. Oelkers, Eydis S. Eiriksdottir, Marin I. Kardjilov, Gudrun Gisladottir, Bergur Sigfusson, Arni Snorrason, Sverrir Elefsen, Jorunn Hardardottir, Peter Torssander, Niels Oskarsson, 2009. Direct evidence of the feedback between climate and weathering. *Earth and Planetary Science Letters*, 277, (1-2), bls. 213-222.
- Stefán Arnórsson, Sven Sigurðsson og Hörður Svavarsson 1982. The chemistry of geothermal waters in Iceland. I. Calculation of aqueous speciations from 0° to 370 °C: *Geochimica et Cosmochimica Acta* 46, bls. 1513-1532.
- Stefán Arnórsson og Árný E. Sveinbjörnsdóttir 1998. Uppruni jarðhitavatns á Íslandi. Náttúrufræðingurinn, 68, bls. 55 -67.
- Svanur Pálsson og Guðmundur H. Vigfússon 2000. Leiðbeiningar um mælingar á svifa ur og úrvinnslu gagna. Greinargerð, SvP-GHV-2000-2, Orkustofnun, Reykjavík.
- Svanur Pálsson, Jórunn Harðardóttir, Guðmundur H. Vigfússon og Árni Snorrason 2000. Reassessment of suspended sediment load of river Jökulsá á Dal at Hjarðarhagi. Orkustofnun OS-2000/070.
- Sweewton R. H., Mesmer R. E. og Baes C. R. Jr. 1974. Acidity measurements at elevated temperatures. VII. Dissociation of water. *J. Soln. Chem.* 3, nr. 3 bls. 191-214.
- Victor Kr. Helgason og Egill Axelsson, 2009. Vatnshitamælingar Landsvirkjunar og Vatnamælinga á Austurlandi árin 1995-2007, LV2009/062, 67 bls.



## **TÖFLUR OG MYNDIR**

Tafla 1. Meðaltal vaktaðra efna- og eðlisþátta á mælitimabilinu 2007 – 2013. Til samanbuðar eru gögn sem aflað var fyrir virkjun, árin 1998-2003.

Söfnunarstaður	Tímabil	Rennsli m <sup>3</sup> /sek	Vatns- hiti °C	Loft- hiti °C	pH	Leiðni μS/sm	SiO <sub>2</sub> mmol/l	Na mmol/l	K mmol/l	Ca mmol/l	Mg meq/kg	Alkalinity mmol/l	DIC mmol/l	SO <sub>4</sub> mmol/l	SO <sub>4</sub> mmol/l	δ <sup>34</sup> S ‰	Cl mmol/l	F μmol/l	TDS mg/l	TDS mg/l
Háslón	2008-2013	1,91	6,83	7,71	35,8	0,083	0,125	0,004	0,077	0,013	0,258	0,263	0,008	0,008	I.C.	0,023	1,59	47	29	
Ufsarlón	2008-2010	2,83	6,43	8,10	54,6	0,080	0,113	0,005	0,196	0,023	0,460	0,459	0,036	0,032	I.C.	0,016	1,302	51	47	
Brú	2007-2010	81	5,52	6,17	7,84	58,4	0,195	0,286	0,007	0,119	0,037	0,514	0,524	0,025	0,023	I.C.	0,035	3,548	68	59
Brú	2000-2003	112	2,23	2,62	7,67	54,6	0,144	0,255	0,005	0,112	0,031	0,456	0,477	0,023	0,023	I.C.	0,043	3,49	55	53
Hjarðarhagi	2007-2013	54,3	4,27	4,66	7,77	90,4	0,282	0,302	0,010	0,195	0,133	0,854	0,854	<0,018	0,017	I.C.	0,061	3,682	68	92
Hjarðarhagi	1998-2003	163	1,74	4,39	7,61	61,8	0,160	0,230	0,006	0,133	0,061	0,540	0,572	<0,018	0,018	I.C.	0,045	3,17	55	60
Hóll	2007-2012	17	3,19	4,46	7,71	85,4	0,278	0,232	0,010	0,210	0,128	0,789	0,792	0,026	0,016	I.C.	0,052	3,28	67	85
Hóll	1998-2003	39	2,86	5,54	7,64	77,4	0,151	0,170	0,006	0,230	0,076	0,640	0,676	0,053	0,053	I.C.	0,045	3,10	55	73
Útfallssk.	2007-2013	114	3,09	5,05	7,76	40,7	0,097	0,144	0,004	0,104	0,019	0,331	0,331	0,015	0,015	I.C.	0,027	1,67	42	37
Fellsá	2007-2013	5,95	3,91	5,00	7,43	38,3	0,174	0,111	0,006	0,075	0,056	0,298	0,299	<0,007	0,005	I.C.	0,060	0,995	36	39
Fellsá	1998-2003	8,71	3,57	5,69	7,39	36,5	0,152	0,110	0,004	0,070	0,050	0,282	0,309	<0,007	0,007	I.C.	0,058	1,05	33	38
Lagarfoss	2007-2013	225	4,80	4,63	7,47	50,7	0,142	0,146	0,006	0,127	0,046	0,402	0,404	0,017	0,016	I.C.	0,055	1,689	42	47
Lagarfoss	1998-2003	124	4,57	6,01	7,51	55,6	0,148	0,137	0,005	0,133	0,065	0,422	0,456	0,020	0,020	I.C.	0,076	1,76	46	52
<b>Heimsmeðaltal</b>						0,173	0,224	0,033	0,334	0,138		0,853	0,090	0,090	I.C.	0,162	5,26	100	100	
							DIP	DOP		TDN		DIN	DON	DIN/	POC/	DOC/				
Söfnunarstaður	Tímabil	DOC mmol/l	POC μg/kg	PON μg/kg	C/N	Svifaur mól	P <sub>total</sub> μmol/l	PO <sub>4</sub> -P μmol/l	P <sub>tot</sub> -DIP μmol/l	DIP/ DOP	N <sub>total</sub> μmol/l	NO <sub>3</sub> -N μmol/l	NO <sub>2</sub> -N μmol/l	NH <sub>4</sub> -N μmol/l	DON μmol/l	Svifaur (DOC+POC) %	DIN/ DON	POC/ DON	DOC/ reiknað	
Háslón	2008-2013	<0,029	508	<45,6	>13,8	290	0,637	0,490	0,147	4,33	4,11	1,91	0,058	0,87	2,84	1,27	2,23	0,175	41	
Ufsarlón	2008-2010	<0,018	441	<26	>19,7	486	0,470	0,304	0,167	2,82	2,91	1,95	0,040	1,36	3,35			0,961	33	
Brú	2007-2010	<0,027	441	<35	>12,5	486	0,55	0,459	0,086	6,34	5,17	2,74	0,047	1,33	4,12	1,05	3,94	0,069	49	
Brú	2000-2003	<0,020	300	<28,9	20,4	327	0,624	0,608	-0,017		7,22	3,86	<0,087	<0,902	4,85	2,37	2,05	0	44	
Hjarðarhagi	2007-2013	<0,070	382	<30	>15,9	40	0,343	<0,284	0,059	5,81	4,67	<2,95	<0,077	<0,978	4,01	0,67	5,99	0,965	69	
Hjarðarhagi	1998-2003	0,031	332	32,4	10,2	325	0,499	0,533			5,23	2,6	0,072	0,619	3,29	1,94	1,70	0,10	53	
Hóll	2007-2012	<0,073	415	<40	>15,5	87,8	0,27	<0,138	0,128	2,08	5,24	<2,97	<0,051	<0,985	<4,00	>1,23	3,24	0,472	68	
Hóll	1998-2003	0,03	458	33,7	13,6	267	0,312	0,305	<0,33		4,6	2,52	<0,074	<0,628	<3,22	>1,38	2,34	0,17	44	
Útfallssk.	2007-2013	0,059	423	<47,1	<11,7	236	0,536	0,446	0,112	4,98	3,92	2,75	<0,052	<0,991	3,79	0,13	29,4	0,179	61	
Fellsá	2007-2013	<0,046	141	<9,7	18,3	9,8	<0,055	<0,118	-0,063	-0,87	3,16	1,35	0,047	<1,07	2,47	0,70	3,55	1,44	80	
Fellsá	1998-2003	<0,020	178	<12	>14,8	10,0	<0,141	<0,133	<0,008	16,6	5,21	<2,50	<0,056	<0,315	<2,87	>2,34	1,23	1,78	57	
Lagarfoss	2007-2013	<0,045	459	<46,5	>12,4	103	0,346	0,267	0,079	4,38	4,00	2,05	0,046	1,05	3,40	0,60	5,67	0,445	54	
Lagarfoss	1998-2003	0,031	391	33,2	11,8	28	0,199	0,264	-0,065		4,73	1,9	<0,064	0,839	2,80	1,93	1,45	0,45	49	
<b>Heimsmeðaltal</b>						0,323		0,67		7,14	0,065	1,14	8,57	18,6	0,46	I.C.	1	60		

Straumvötn á Austurlandi

Tafla 1 frh. Meðalstyrkur snefilefna í vöktuðum vatnsföllum á Austurlandi, 2007 – 2013.

Söfnunarstaður	Tímabil	Al	Fe	B	Mn	Sr	As	Ba	Cd	Co	Cr	Cu	Ni	Pb	Zn	Hg	Mo	Ti	V
		µmól/l	µmól/l	µmól/l	µmól/l	µmól/l	nmól/l	µmól/l											
Háslón	2008-2013	2,48	0,888	0,124	0,028	<0,013	<0,670	<0,309	<0,026	<0,496	<0,993	<5,66	<1,73	<0,054	<7,26	<0,010	0,775	134,9	0,206
Ufsarlón	2008-2010	1,29	0,242	0,083	0,096	0,046	2,269	0,248	<0,024	0,244	0,435	2,59	<1,09	<0,048	<12,9	<0,010	3,88	57,6	0,131
Brú	2007-2010	0,856	0,611	0,250	0,027	<0,025	<0,798	0,239	<0,019	0,345	2,02	5,31	1,93	<0,048	<3,91	<0,010	3,18	56,9	0,269
Brú	2000-2003	0,707	0,193	0,232	0,029	0,018	<0,490	0,235	<0,168	0,178	1,89	4,63	4,33	0,055	4,04	<0,011	3,24	18,9	0,256
Hjarðarhagi	2007-2013	0,674	1,617	0,226	0,074	<0,088	<0,791	0,433	<0,019	0,446	2,41	8,42	2,21	<0,056	<9,24	<0,011	2,80	54,9	0,151
Hjarðarhagi	1998-2003	0,657	0,201	0,217	0,047	0,034	<0,435	<0,248	<0,042	0,264	2,03	6,64	8,82	<0,117	8,72	<0,011	2,73	17,8	0,212
Hóll	2007-2012	0,577	1,569	0,246	0,101	0,110	<1,00	0,408	<0,020	0,474	1,38	6,58	2,03	<0,055	<8,37	<0,010	4,02	73,3	0,065
Hóll	1998-2003	0,398	0,257	0,198	0,103	0,092	<1,05	0,327	<0,031	0,257	<1,04	5,27	4,01	<0,083	<7,20	<0,011	4,97	21,6	0,108
Útfallssk.	2007-2013	1,45	0,531	0,128	0,030	<0,014	<0,859	0,219	<0,019	<0,301	1,04	3,91	1,59	<0,054	<6,05	<0,010	2,02	87,3	0,185
Fellsá	2007-2013	0,156	0,186	0,128	0,006	0,038	<0,701	0,183	<0,020	<0,125	<0,632	4,56	<1,16	<0,051	<6,57	<0,010	<0,560	8,46	0,024
Fellsá	1998-2003	0,150	0,107	0,165	0,005	0,033	<0,423	0,216	<0,030	<0,113	<0,868	5,36	3,74	<0,094	<8,09	<0,012	<0,61	4,0	0,032
Lagarfoss	2007-2013	0,676	0,400	0,147	0,028	0,022	<0,722	<0,240	<0,025	0,269	1,12	5,54	1,74	<0,059	9,0	<0,011	1,62	65,3	0,097
Lagarfoss	1998-2003	0,660	0,374	0,154	0,027	0,022	<0,695	<0,244	<0,026	0,265	1,13	5,40	1,71	<0,051	10,0	<0,011	1,61	61,1	0,098
<b>Heimsmeðaltal</b>		1,85	0,716		1,85	0,716													209

Straumvötn á Austurlandi

Straumvötn á Austurlandi

Tafla 2. Árlegur framburður vaktaðra vatnsfalla á Austurlandi (tonn/ár) fyrir og eftir Kárahnjúkavirkjun.

Söfnunarstaður	Tímabil	Langtíðameðal-rennsli m <sup>3</sup> /s	SiO <sub>2</sub>	Na	K	Ca	Mg	CO <sub>2</sub>	SO <sub>4</sub> ICP-AES	SO <sub>4</sub> IC	Cl	F	TDS mælt	TDS reiknað	DOC	POC
Hjarðarhagi	2007-2013	59	23762	9059	654	10667	4016	49432	2249	2071	3157	94	102536	120765	1191	9142
Hjarðarhagi	1998-2003	145	29395	15921	879	17754	4166	78370	4524	4663	5480	175	198496	189699	1748	22144
Hóll	2007-2012	23,3	7197	2412	248	5415	1218	18057	1834	1545	953	33	37565	43772	416	4924
Hóll	1998-2003	34	6583	2827	200	1083	1168	22641	2860	2878	1246	46	44485	52468	370	8142
Útfallsskurður	2007-2013	112	21539	11565	534	14561	1639	50575	5219	4757	3178	108	147356	123777	2297	17272
Fellsá	2007-2013	8,3	2510	543	47	633	285	2715	176	133	516	4,95	7907	8375	132	396
Fellsá	1998-2003	8,30	2440	544	46	616	281	2731	172	125	511	4,59	9220	8305	124	396
Lagarfoss	2007-2013	226	64979	24002	1641	35551	7943	124990	11343	11412	13988	221	296911	329264	3729	38688
Lagarfoss	1998-2003	114	31110	10849	720	18473	5492	68499	6432	6776	9712	114	134888	177038	1231	1080
Söfnunarstaður	Tímabil	PON	Svifaur	P	PO <sub>4</sub> -P	NO <sub>3</sub> -N	NO <sub>2</sub> -N	NH <sub>4</sub> -N	N <sub>total</sub>	Al	Fe	B	Mn	Sr		
Hjarðarhagi	2007-2013	<1622	159776	19,5	<16,8	35,6	<1,4	<31,1	111	36,3	171,8	3,38	8,79	9,76		
Hjarðarhagi	1998-2003	<2662	2581741	64,0	73,5	129	4,5	<36,4	278	86,6	52,1	6,25	12,2	8,4		
Hóll	2007-2012	<656	113494	6,77	3,17	20,14	0,581	<12,93	47,2	12,7	37,1	1,26	4,92	4,78		
Hóll	1998-2003	<699	501789	11,0	<11,5	28,8	<1,11	<10,8	39,5	13,7	14,9	2,85	6,62	5,76		
Útfallsskurður	2007-2013	<2215	825746	59,8	47,5	155	<2,26	47,6	191	138	104	4,84	5,69	4,24		
Fellsá	2007-2013	<32,7	3863	0,34	<0,86	<2,99	<0,16	3,92	9,77	1,27	3,56	0,349	0,118	0,765		
Fellsá	1998-2003	<67,4	4356	1,45	<0,83	4,93	<0,18	1,16	11,2	1,02	2,12	0,474	0,145	0,520		
Lagarfoss	2007-2013	<218	704822	74	55	190	<4,2	<114	431	129	155	11,8	10,7	13,7		
Lagarfoss	1998-2003	103	73106	17	<23	73	2,92	46,4	161	22,2	25,1	7,9	5,2	16,8		
Söfnunarstaður	Tímabil	As	Ba	Cd	Co	Cr	Cu	Ni	Pb	Zn	Hg	Mo	Ti	V	Þungmálmar	
Hjarðarhagi	2007-2013	<0,100	<0,086	<0,010	<0,048	0,153	0,835	0,235	<0,022	<1,13	<0,004	0,30	4,58	12,7		<7,5
Hjarðarhagi	1998-2003	<0,105	<0,308	<0,026	0,069	0,33	1,65	1,44	<0,090	2,25	<0,010	0,59	3,54			<10,4
Hóll	2007-2012	<0,076	0,028	<0,003	0,017	0,042	0,227	0,081	<0,008	<0,38	<0,001	0,21	3,00	2,75		<4,1
Hóll	1998-2003	<0,081	0,067	0,004	<0,017	<0,050	0,298	0,264	<0,019	<0,52	<0,002	0,276	1,32			<2,92
Útfallsskurður	2007-2013	<0,222	<0,105	<0,014	0,063	0,190	0,878	<0,310	<0,038	<1,36	<0,007	0,668	14,7	32,8	<18,6	<18,5
Fellsá	2007-2013	<0,013	0,007	<0,001	<0,002	<0,013	0,064	<0,018	<0,003	<0,129	<0,001	<0,013	0,137	0,279	<0,401	<0,41
Fellsá	1998-2003	<0,006	0,012	<0,001	<0,002	<0,010	0,061	<0,072	<0,005	<0,172	<0,001	<0,006	0,053	0,291	<0,401	<0,37
Lagarfoss	2007-2013	<0,380	<0,228	<0,033	0,111	0,498	2,51	0,736	<0,089	<4,68	<0,015	1,07	20,9	35,2	<31,3	<31,7
Lagarfoss	1998-2003	<0,177	0,12	<0,018	0,044	0,18	1,52	1,15	0,063	2,12	<0,008	0,42	2,46	6,0	<8,28	<8,40



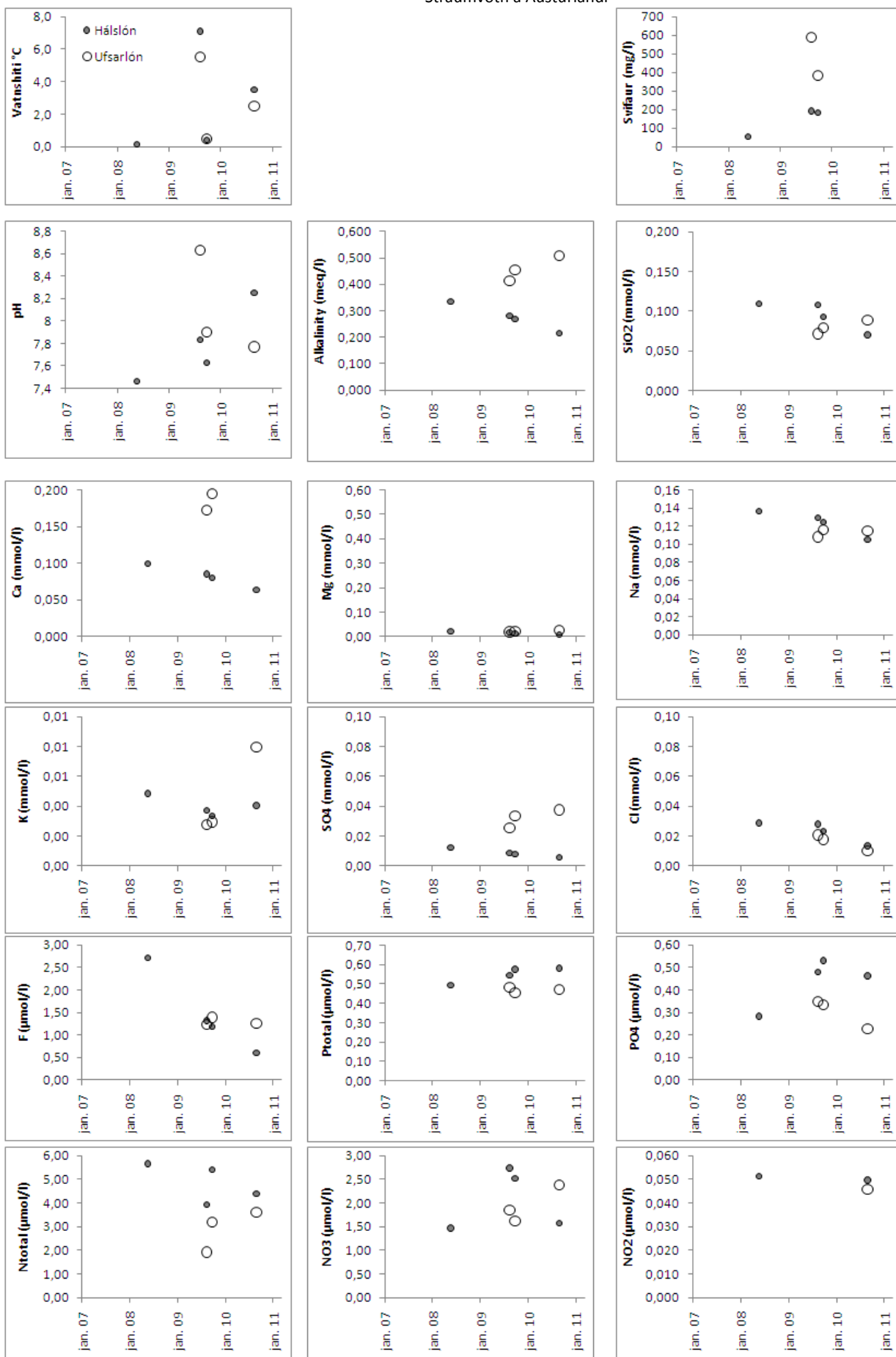




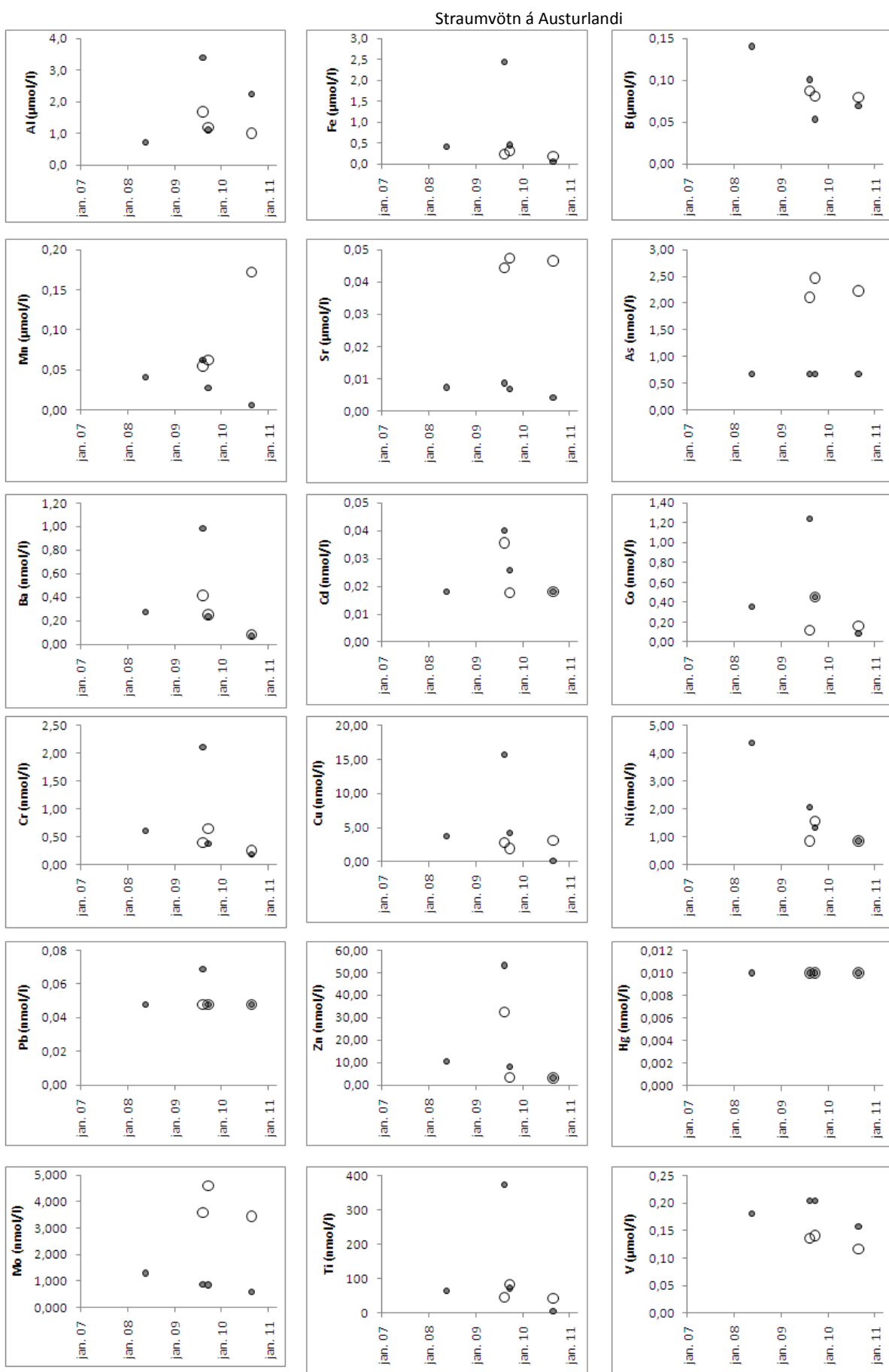
Myndir C. Efri myndirnar voru teknaðar við söfnun úr Háslóni 4. september 2012 þegar sýnum nr. 13A017 – 13A020 var safnað. Vindurinn við það að detta niður, lónið yfirfullt og fossinn Hverfandi skartaði sínu fegursta. Neðri tvær myndirnar voru teknaðar þann 10. September 2013, þegar sýnum 13A025-13A028 var safnað.



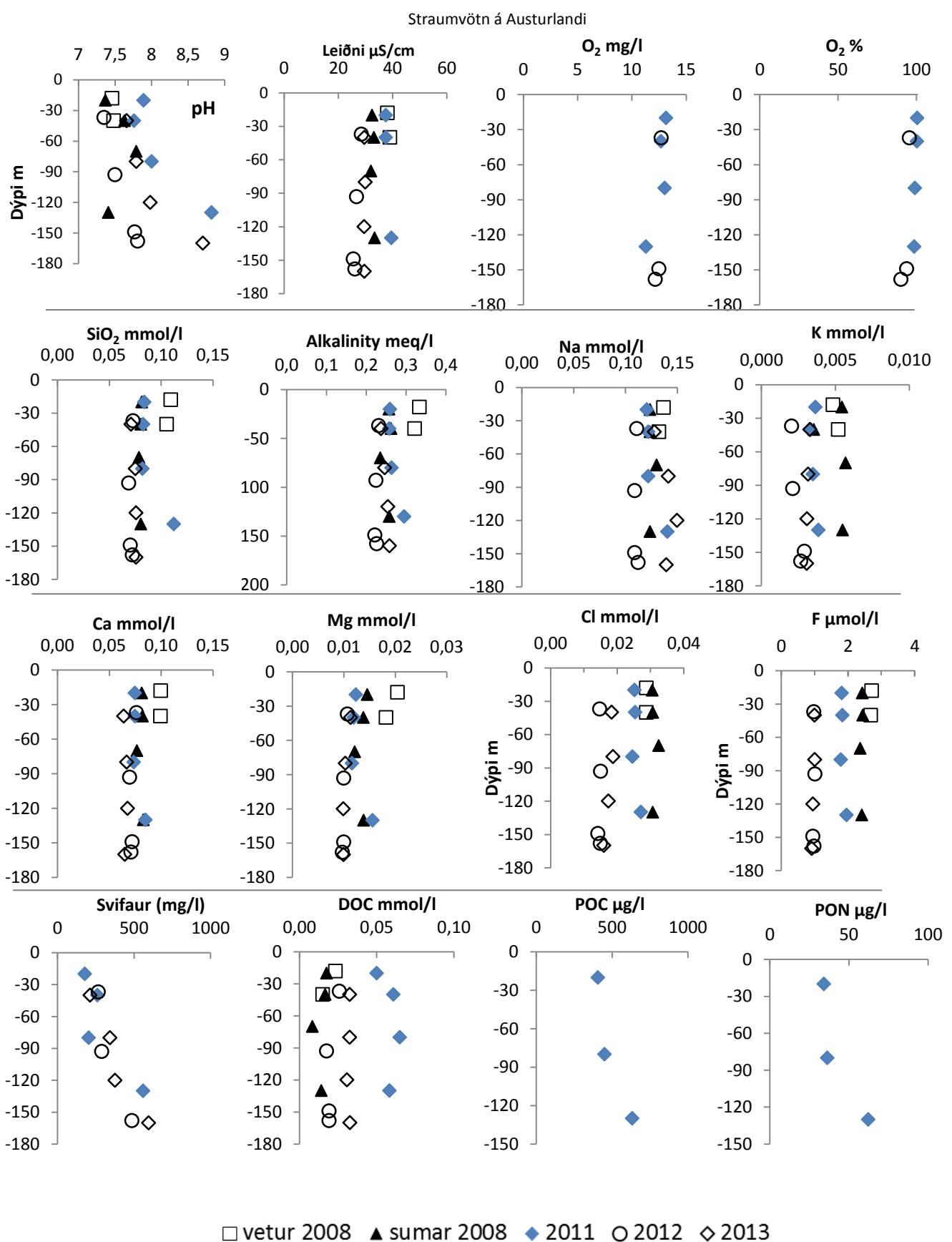
### Straumvötn á Austurlandi



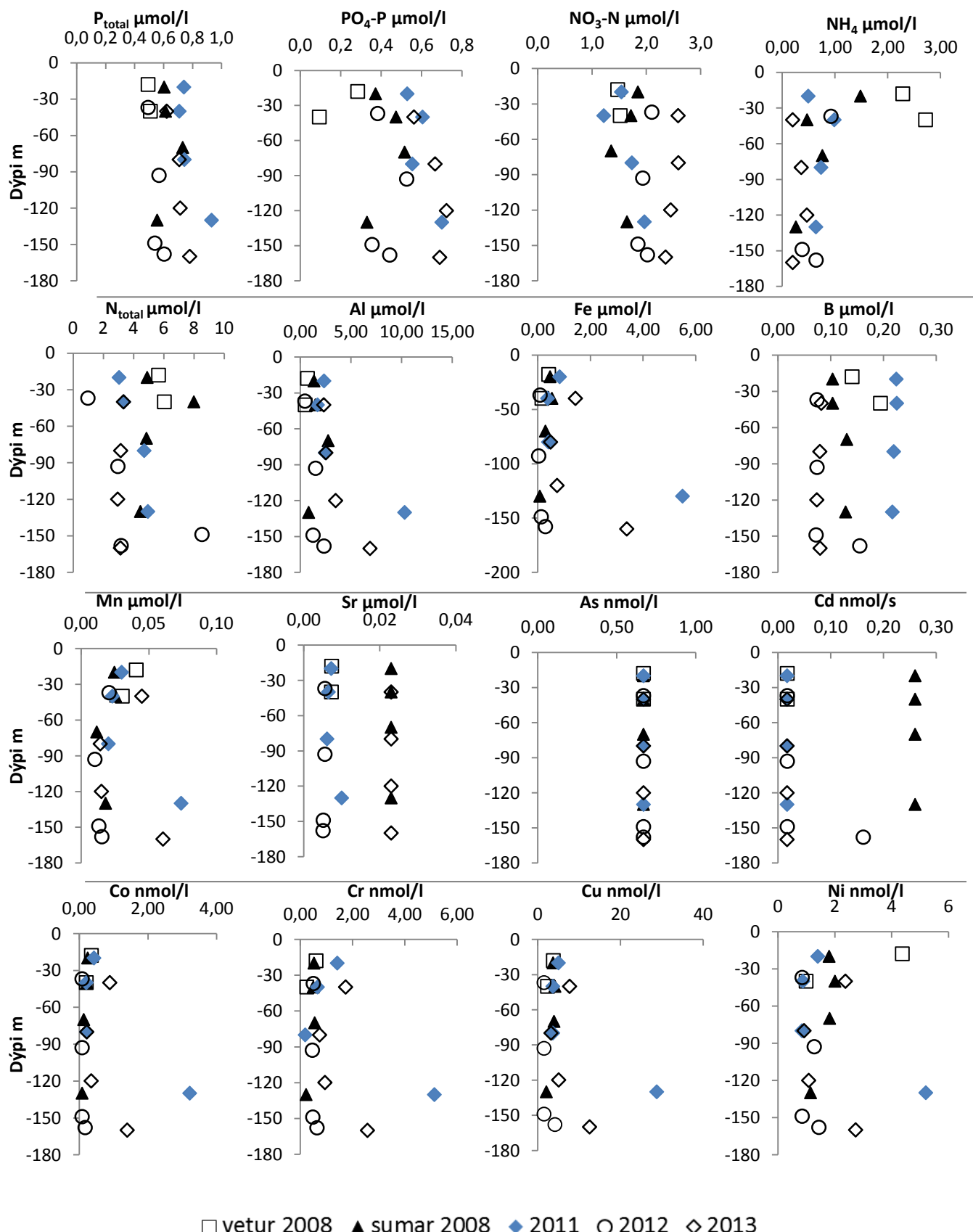
Mynd 4. Styrkur mældra þáttu í Ufsarlóni (opnir hringir) og Hálslóni (fylltir hringir)



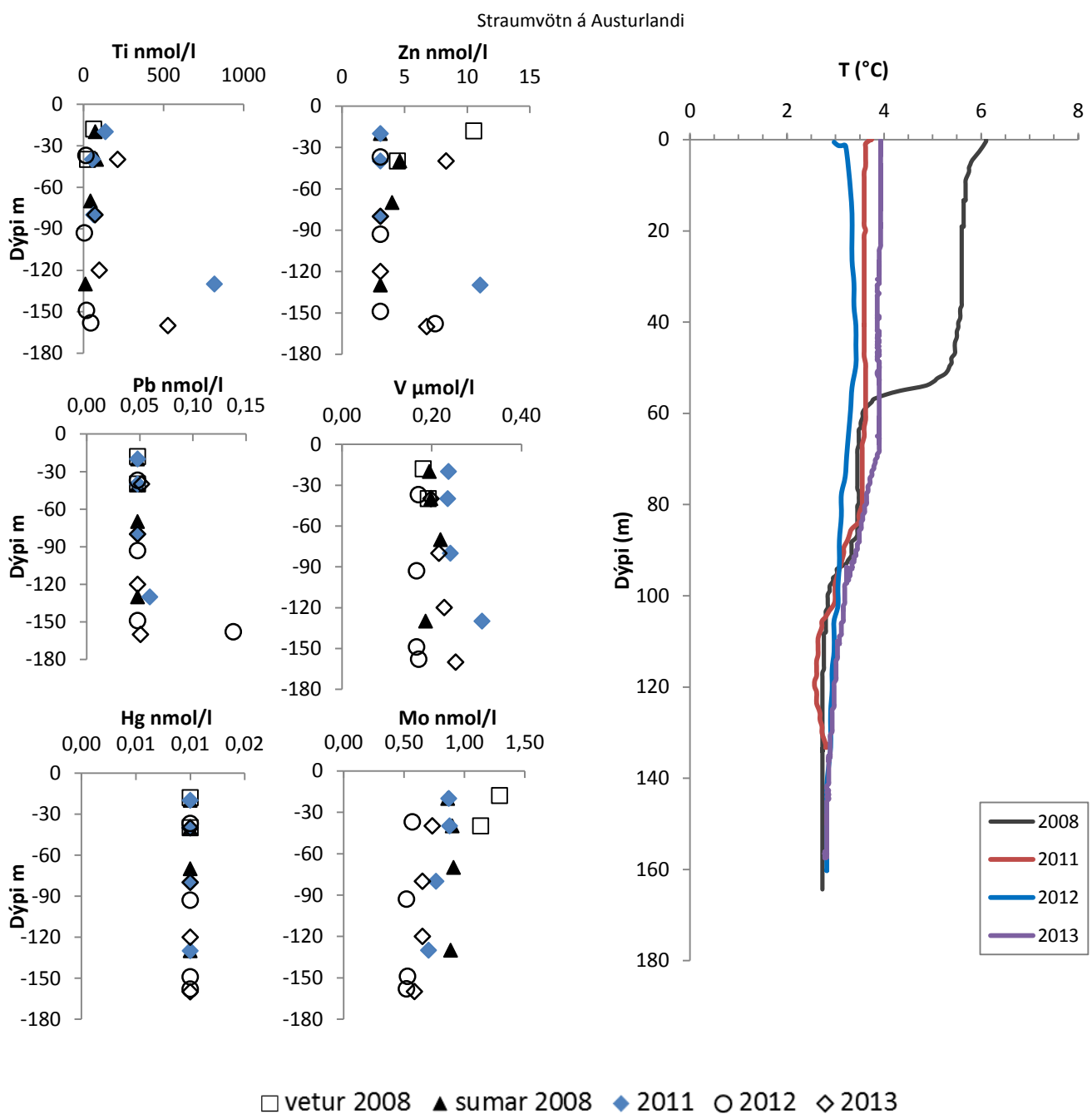
Mynd 5. Styrkur mældra þátta í Ufsarlóni (opnir hringir) og Háslóni (fylltir hringir)



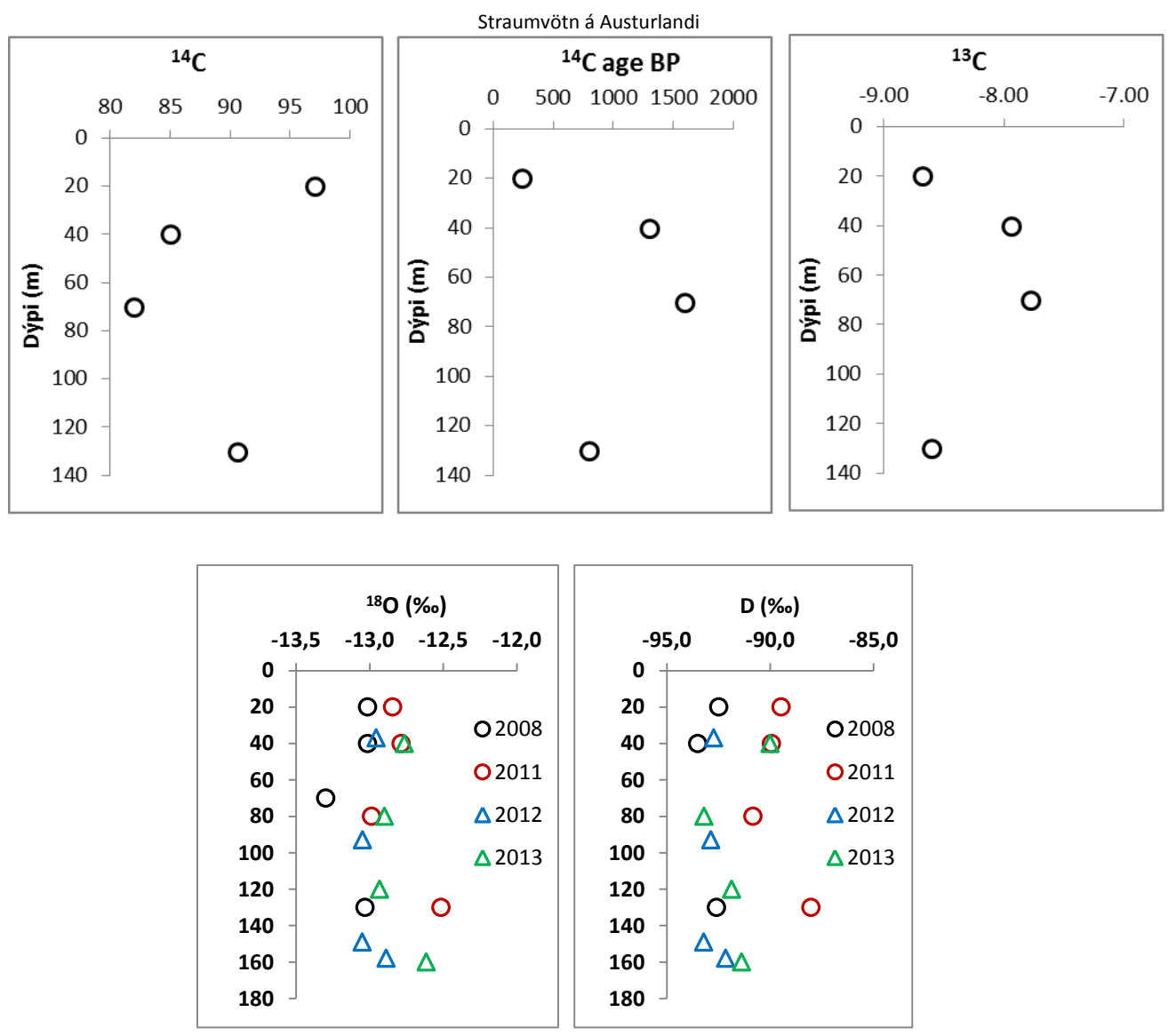
Mynd 6. Efnastyrkur uppleystra efna í sýnum sem safnað var á mismunandi dýpi í Hálslóni í maí 2008, ágúst 2008 og september 2011 og 2012. Hitaprófflar sem teknir voru samtímis sýnunum eru á mynd 8.



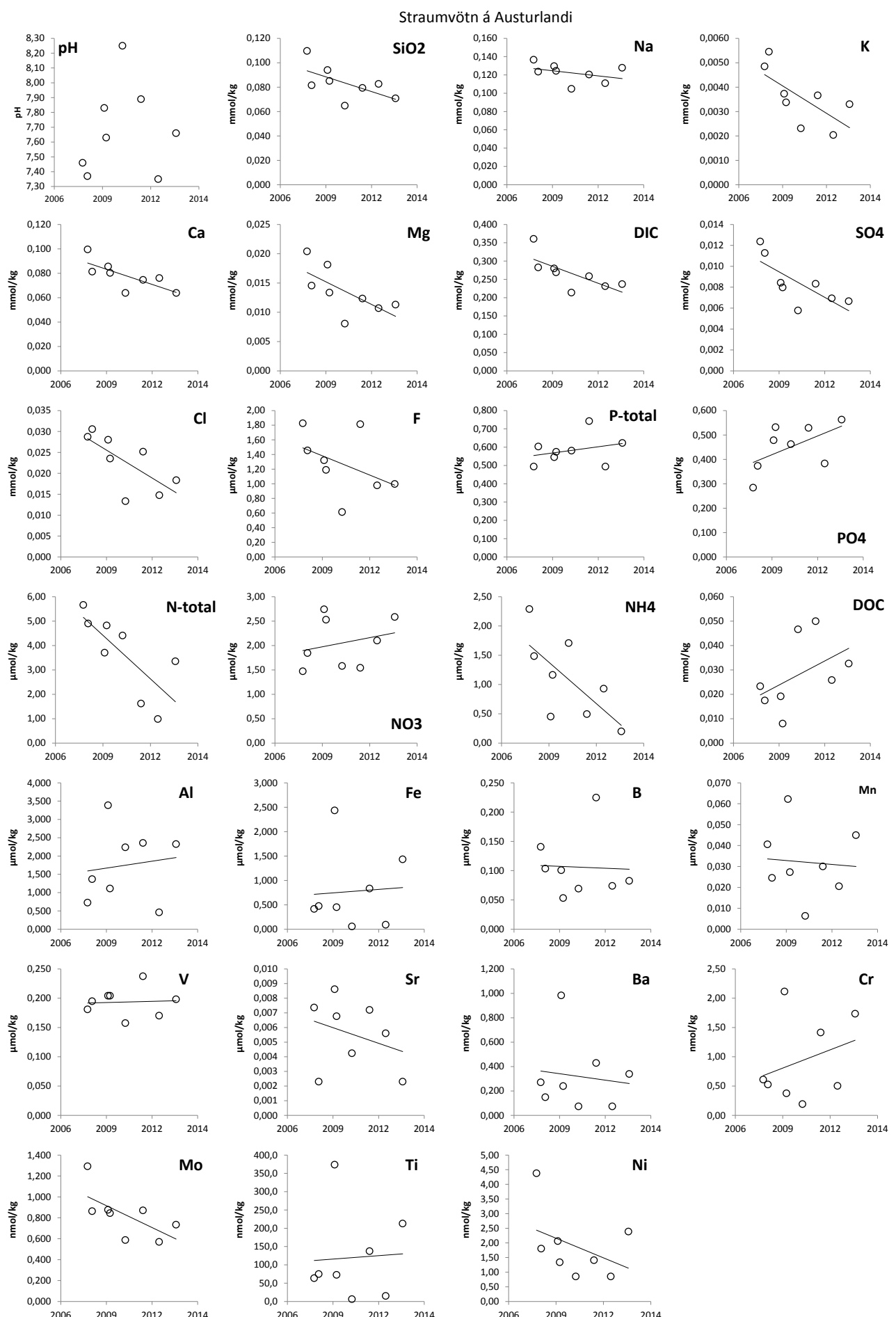
Mynd 7. Efnastyrkur uppleystra efna í sýnum sem safnað var á mismunandi dýpi í Hálslóni í maí 2008, ágúst 2008 og september 2011 og 2012. Hitapróflar sem teknir voru samtímis sýnunum eru á mynd 6.



Mynd 8. Efnastyrkur uppleystra efna í sýnum sem safnað var á mismunandi dýpi í Háslóni í maí og ágúst 2008 og september 2011, 2012 og 2013 Hitaprófílar sem teknir voru samtímis sýnunum eru einnig sýndir á myndinni.



Mynd 9. Samsætur kolefnis, súrefnis ( $\delta^{18}\text{O}$ ) og vetrnis (D, deuterium,  $\delta^2\text{H}$ ) og reiknaður aldur vatnsins í sýnum sem safnað var á mismunandi dýpi í Háslóni í ágúst árið 2008 og september 2011, 2012 og 2013. Gögnin eru í töflu 11.

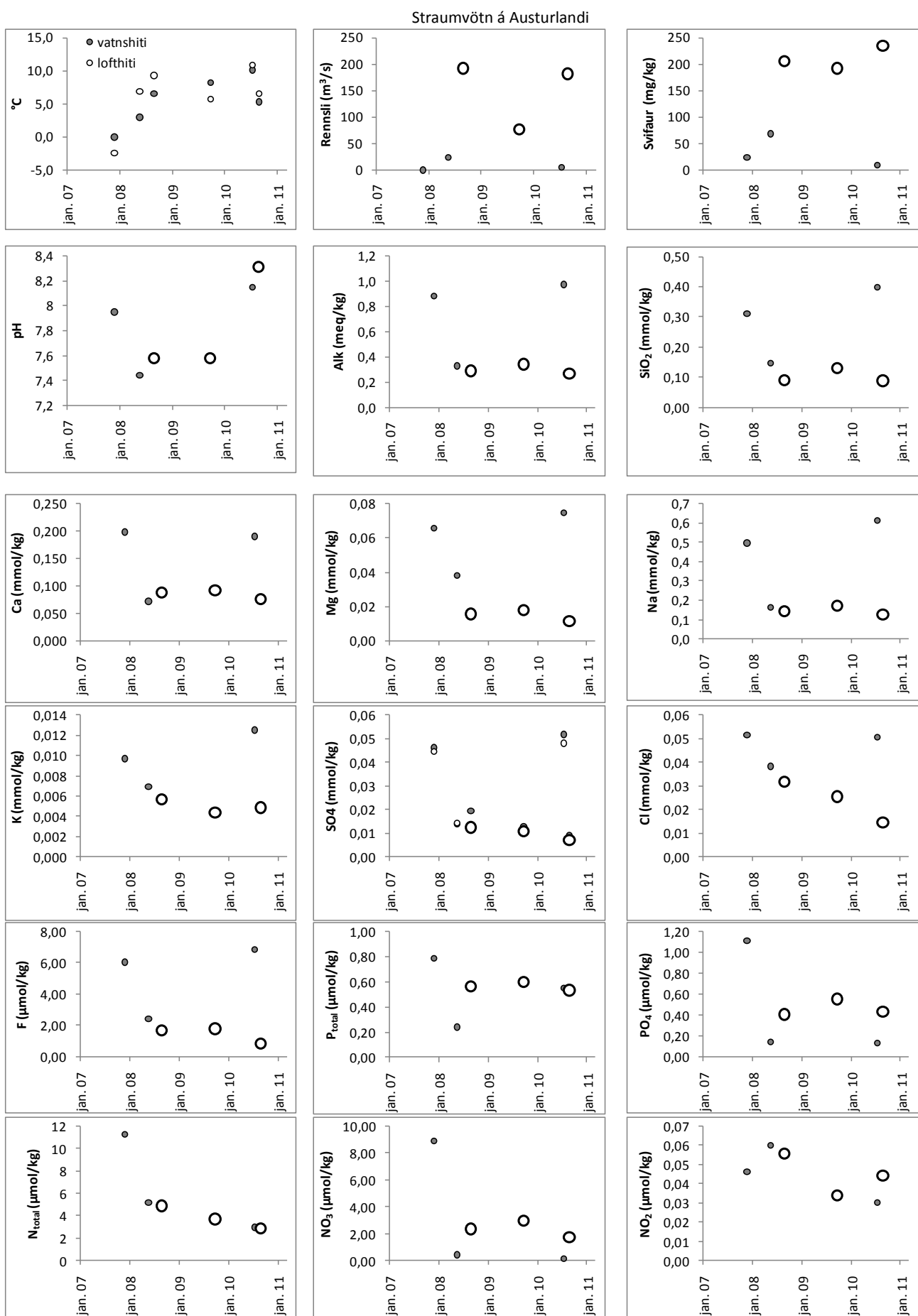


Mynd 10. Styrkbreytingar á uppleystum eftum í efstu 40 m í Háslóni 2008 – 2013.

Straumvötn á Austurlandi

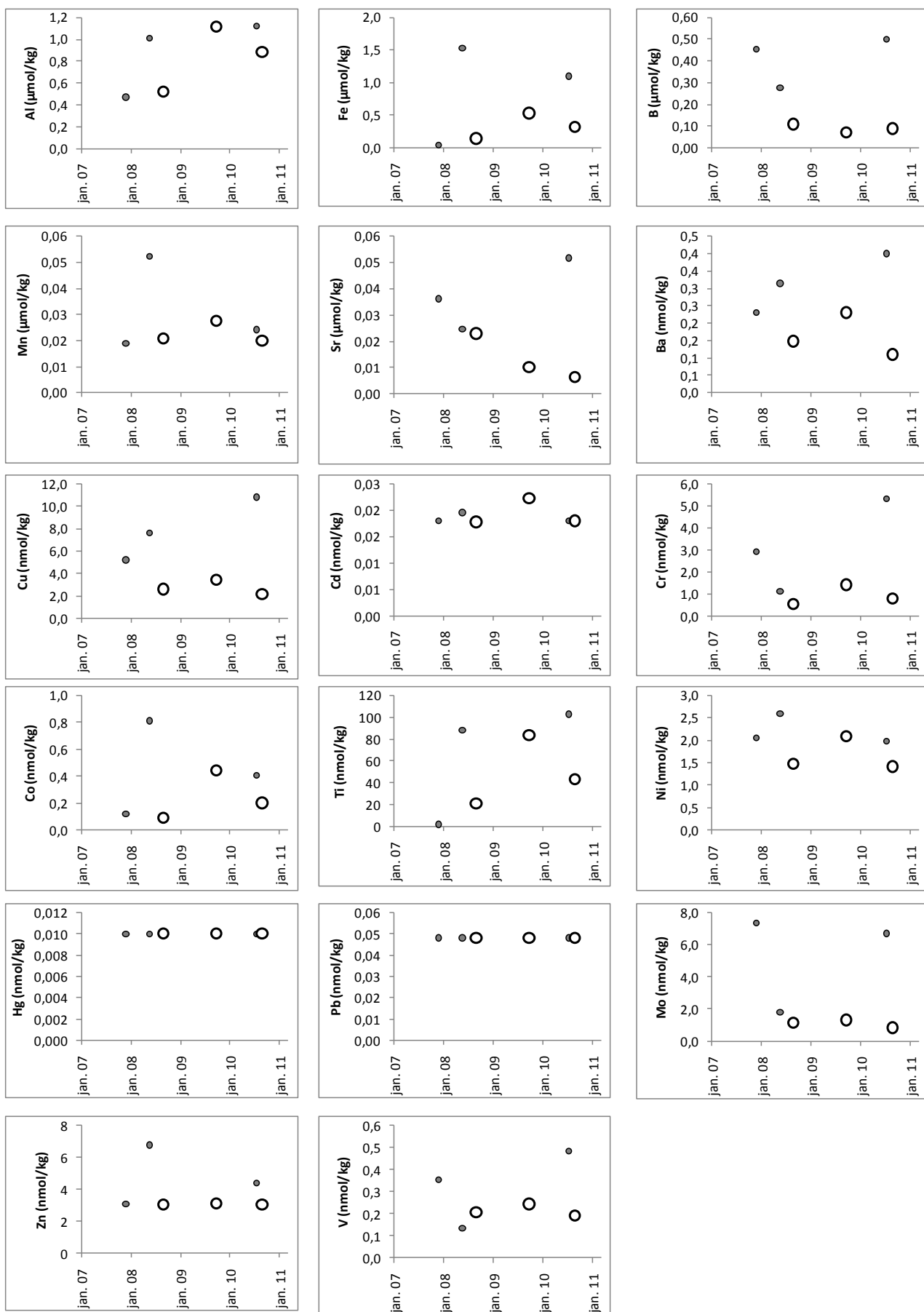
Tafla 5. Styrkur uppleystra efna og svifaurs í Jökulsá á Dal við Brú

Sýna númer	Dags	Rennsli $\text{m}^3/\text{sek}$	Vatns- hiti °C	Loft- hiti °C	pH	T °C (pH og leiðni)	Leiðni $\mu\text{S}/\text{sm}$	$\text{SiO}_2$ $\mu\text{mol/l}$	Na $\mu\text{mol/l}$	K $\mu\text{mol/l}$	Ca $\mu\text{mol/l}$	Mg $\mu\text{mol/l}$	Alk meq./kg	DIC $\mu\text{mol/l}$	$\text{S}_{\text{total}}$ $\mu\text{mol/l}$	$\text{SO}_4$ $\mu\text{mol/l}$	$\delta^{34}\text{S}$ ‰	Cl $\mu\text{mol/l}$	F $\mu\text{mol/l}$	Hleðslu- jafnvægi	Skekka %	TDS mg/l mælt	TDS mg/kg reiknað	DOC $\mu\text{mol/l}$	POC $\mu\text{g/kg}$	PON $\mu\text{g/kg}$	C/N mól	Svifaur mg/l
<b>Brú</b>																												
07A001	27.11.2007 13:05	5	0,0	-2,4	7,95	20,1	98,8	0,312	0,496	0,010	0,198	0,066	0,882	0,906	0,046	0,045		0,052	6,08	0,00	0,1	85	101	0,023	442	48,5	10,6	23,4
08A003	20.5.2008 10:15	24,1	3,0	6,9	7,44	23,6	40,4	0,148	0,165	0,007	0,072	0,038	0,329	0,356	0,014	0,014		0,038	3,16	0,01	0,8	137	41	0,030	342	44,8	8,9	68,8
08A013	28.8.2008 11:45	192	6,5	9,3	7,58	22,9	37,0	0,091	0,143	0,006	0,088	0,016	0,291	0,309	0,019	0,012		0,032	2,60	0,01	1,1	32	34	0,015	331	55,1	7,0	205,1
09A033	23.9.2009 13:45	77,4	8,2	5,7	7,58	21,3	40,1	0,130	0,173	0,004	0,092	0,018	0,342	0,342	0,013	0,011		0,025	1,78	0,01	0,9	41	38	<0.008	363	<25.5	>16.6	192,1
10A017	14.7.2010 09:20	5,3	10,1	10,9	8,15	22,8	103,7	0,399	0,613	0,0125	0,190	0,074	0,975	0,969	0,0518	0,0481	0,051	6,82	0,03	1,1	77	113	0,060	0,060	254	21,0	14,1	9,8
10A028	26.8.2010 09:30	182	5,3	6,6	8,31	23,1	30,5	0,089	0,128	0,0048	0,076	0,011	0,267	0,265	0,0093	0,0069	0,015	0,85	0,01	1,7	35	29	0,024	0,024	268	<17,8	>17,5	234,3
Sýna- númer	Dags.	P $\mu\text{mol/l}$	$\text{PO}_4\text{-P}$ $\mu\text{mol/l}$	$\text{NO}_3\text{-N}$ $\mu\text{mol/l}$	$\text{NO}_2\text{-N}$ $\mu\text{mol/l}$	$\text{NH}_4\text{-N}$ $\mu\text{mol/l}$	$\text{N}_{\text{total}}$ $\mu\text{mol/l}$		Al $\mu\text{mol/l}$	Fe $\mu\text{mol/l}$	B $\mu\text{mol/l}$	Mn $\mu\text{mol/l}$	Sr $\mu\text{mol/l}$	As $\mu\text{mol/l}$	Ba $\mu\text{mol/l}$	Cd $\mu\text{mol/l}$	Co $\mu\text{mol/l}$	Cr $\mu\text{mol/l}$	Cu $\mu\text{mol/l}$	Ni $\mu\text{mol/l}$	Pb $\mu\text{mol/l}$	Zn $\mu\text{mol/l}$	Hg $\mu\text{mol/l}$	Mo $\mu\text{mol/l}$	Ti $\mu\text{mol/l}$	V $\mu\text{mol/l}$		
<b>Brú</b>																												
07A001	27.11.2007 13:05	0,785	1,107	8,86	0,046	0,137	11,26		0,474	0,043	0,454	0,019	0,036	<1,20	0,230	<0,018	0,117	2,92	5,22	2,04	<0,048	<3,06	<0,010	7,36	2,32	0,353		
08A003	20.5.2008 10:15	0,240	0,138	0,421	0,0599	3,21	5,16		1,012	1,526	0,277	0,052	0,025	<0,67	0,315	0,020	0,811	1,12	7,63	2,59	<0,048	6,76	<0,010	1,78	88,1	0,133		
08A013	28.8.2008 11:45	0,562	0,403	2,35	0,0557	0,692	4,86		0,526	0,143	0,109	0,021	<0,023	<0,67	0,149	0,018	0,092	0,539	2,60	1,47	<0,048	<3,06	<0,010	1,13	21,5	0,208		
09A033	23.9.2009 13:45	0,601	0,552	2,95		0,689	3,92		1,116	0,532	0,069	0,028	0,010	<0,67	0,231	0,022	0,445	1,421	3,41	2,10	<0,048	3,1	<0,010	1,30	83,5	0,243		
10A017	14.7.2010 09:20	0,552	0,129	0,14	0,030	1,46	2,96		1,123	1,099	0,500	0,024	0,052	0,910	0,400	<0,018	0,406	5,308	10,83	1,98	<0,048	4,37	<0,010	6,69	103	0,483		
10A028	26.8.2010 09:30	0,533	0,428	1,73	0,044	1,81	2,87		0,882	0,324	0,089	0,020	0,006	<0,67	0,110	<0,018	0,202	0,808	2,16	1,42	<0,048	<3,06	<0,010	0,84	43,2	0,191		



Mynd 11. Hitastig, rennsli og styrkur uppleystra efna og svifaurs í Jökulsá á Dal við Brú. Opnu hringirnir eru á yfirfalli.

Straumvötn á Austurlandi

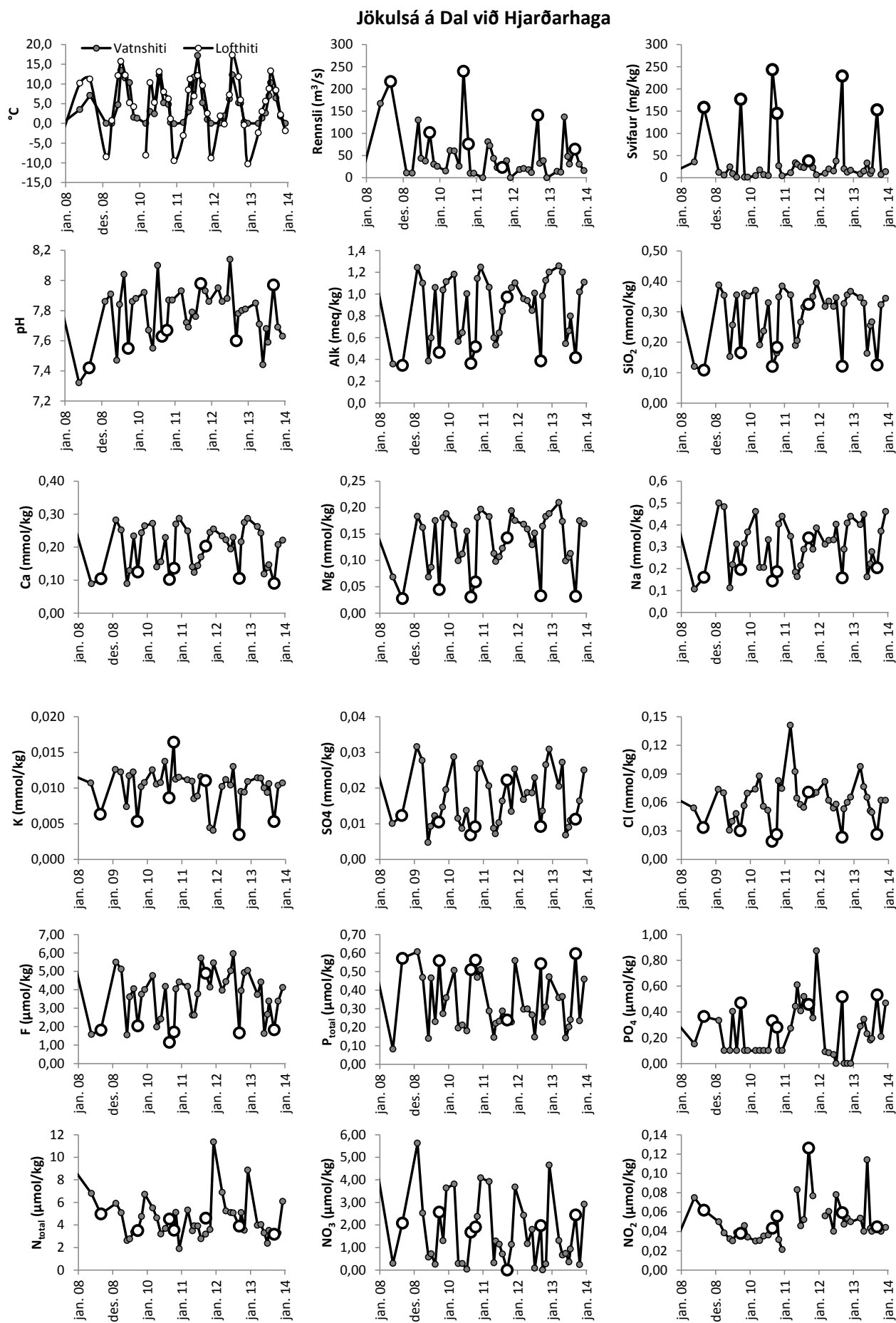


Mynd 12. Styrkur uppleystra snefilefna í Jökulsá á Dal við Brú. Opnu hringirnir eru á yfirfalli.

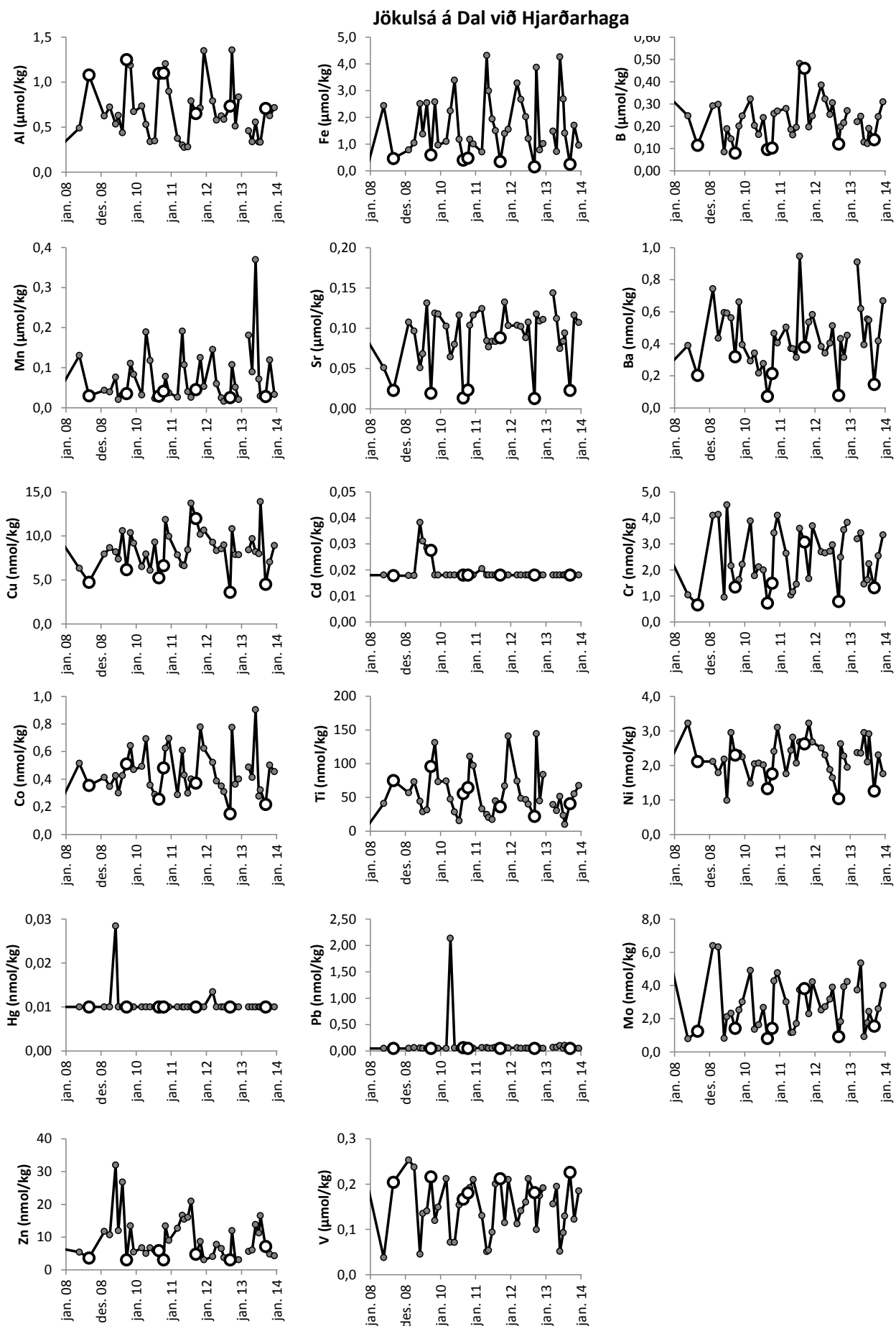


Mynd D. Jökulsá á Dal við Hjarðarhaga í ártíðarbúningum. Myndin frá júní sýnir dæmigert sumarrennsli. Myndin frá í september er tekin þegar Háslón var orðið fullt og vatn flæddi í yfirfallsrennuna. Sýnum er safnað af brúnni við Hjarðarhaga nema þegar ís er undir brúnni. Þá er safnað ofan við flúðir, rétt ofan brúar, sbr. neðsta myndin.



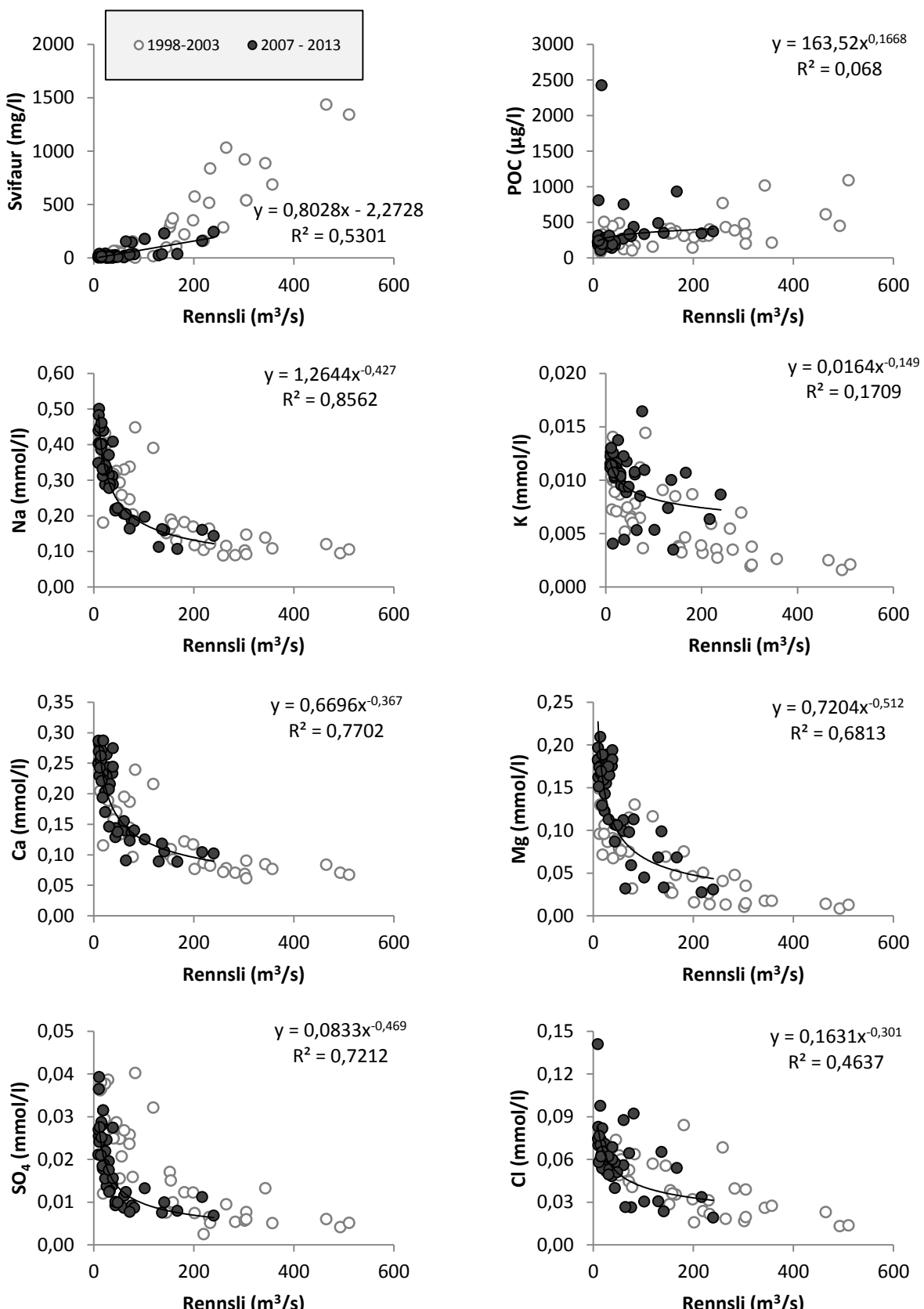


Mynd 13. Árstíðarsveiflur í rennsli, styrk svifaurs og uppleystra efna í Jökulsá á Dal við Hjarðarhaga. Opnir hringir tákna sýni tekin þegar Háslón er á yfirfalli.



Mynd 14. Árstíðarsveiflur í styrk uppleystra snefilefna í Jökulsá á Dal við Hjarðarhaga.  
Opnir hringir tákna sýni tekin þegar Háslón er á yfirfalli.

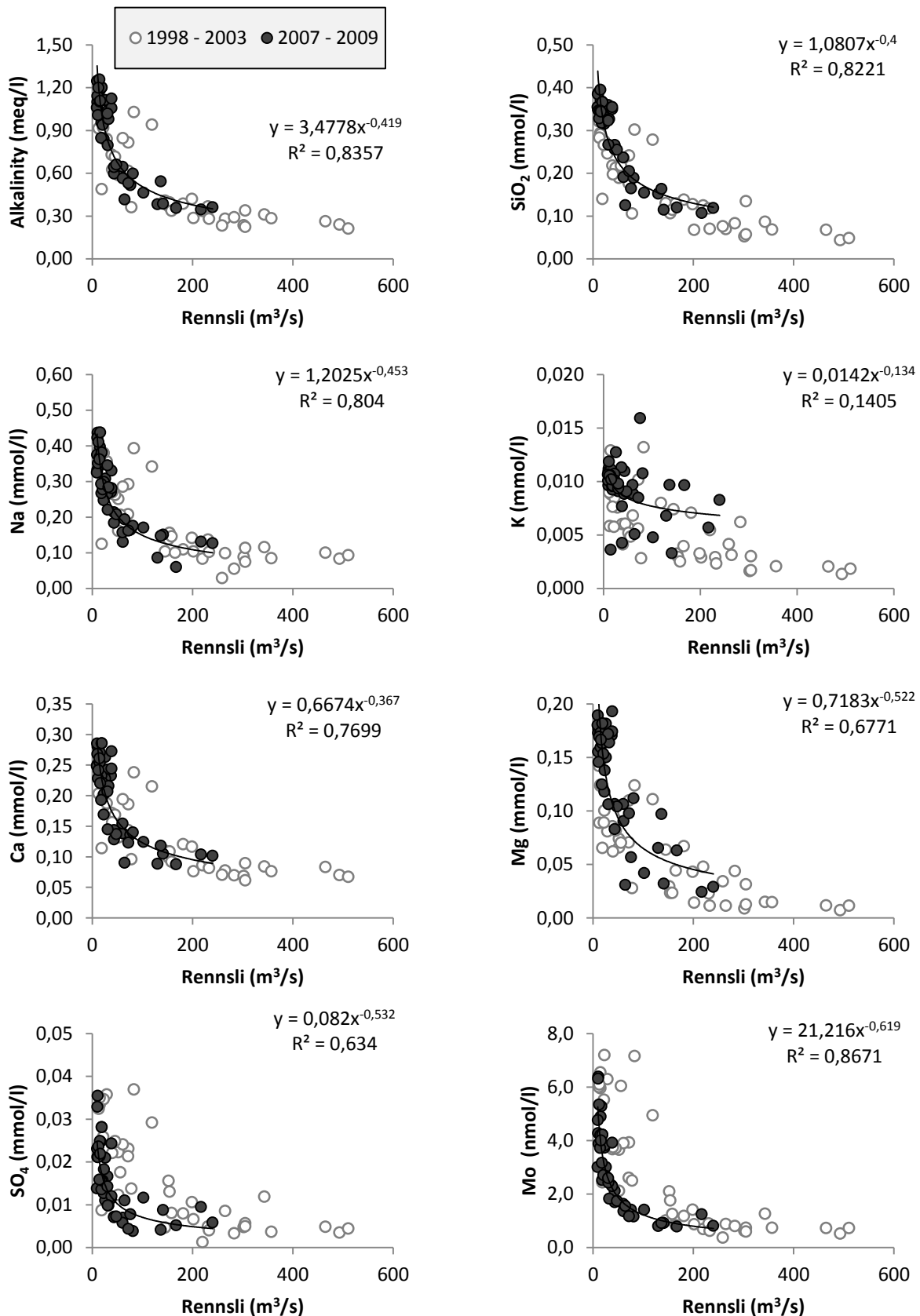
## Jökulsá á Dal við Hjarðarhaga



Mynd 15. Áhrif rennslis á styrk svifaurs og uppleystra efna í Jökulsá á Dal við Hjarðarhaga. Opnir hringir tákna sýni sem tekin voru fyrir virkjun.

### Jökulsá á Dal við Hjarðarhaga

Bergættuð efni (anjónir leiðréttar fyrir úrkomu)

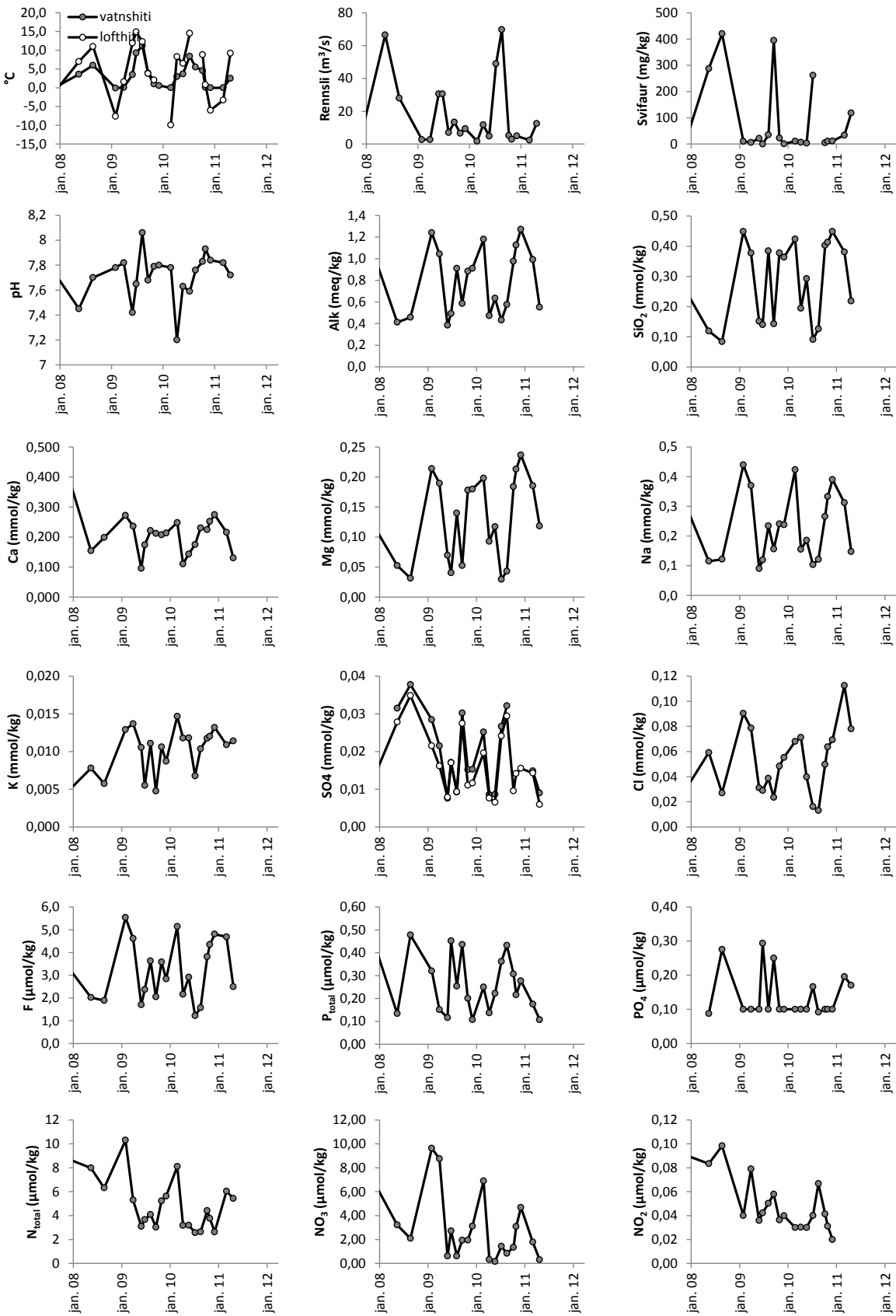


Mynd 16. Áhrif rennslis á styrk svifaurs og uppleystra efna í Jökulsá á Dal við Hjarðarhaga. Opnir hringir tákna sýni sem tekin voru fyrir virkjun.

Straumvötn á Austurlandi

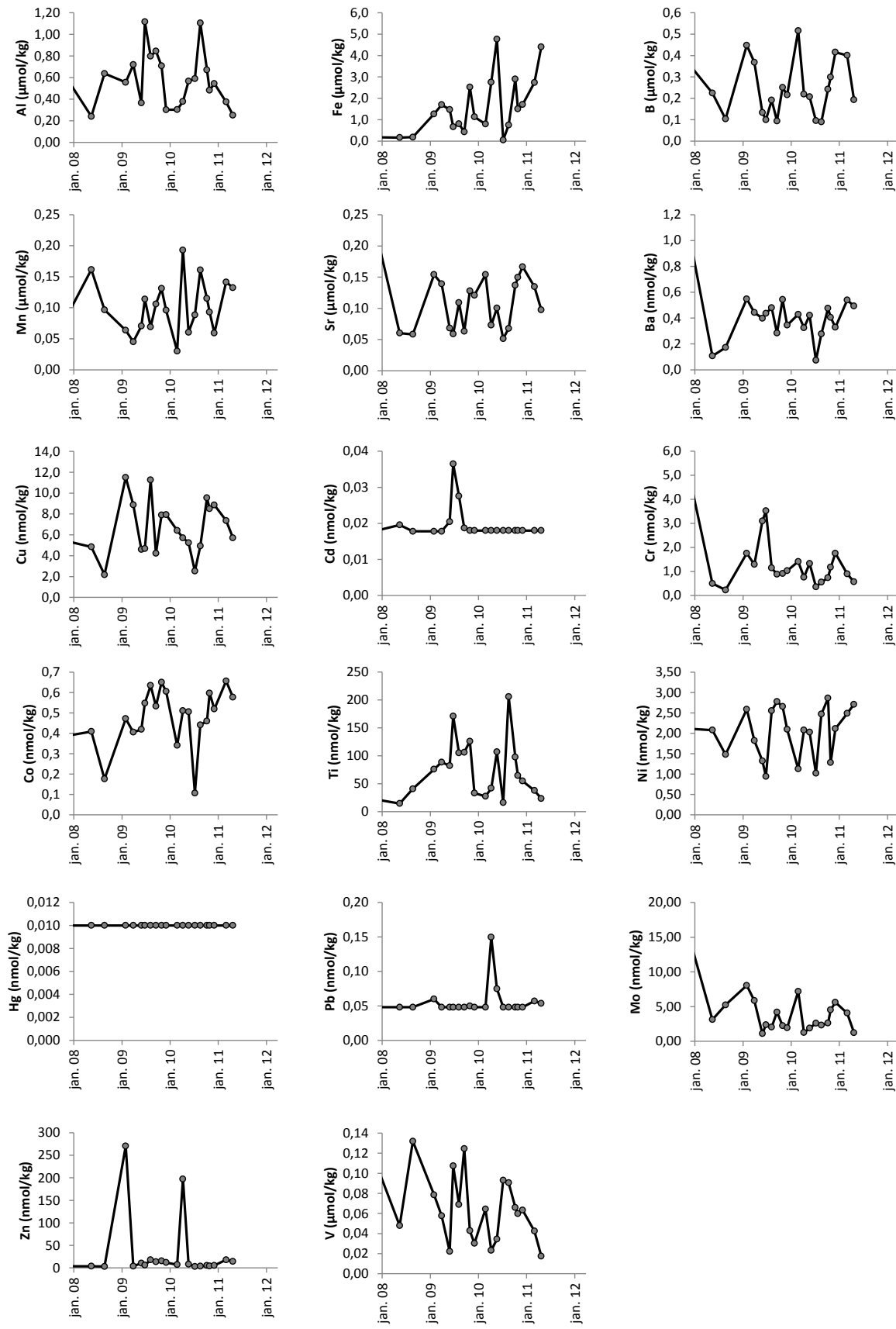


## Jökulsá í Fljótsdal við Hól



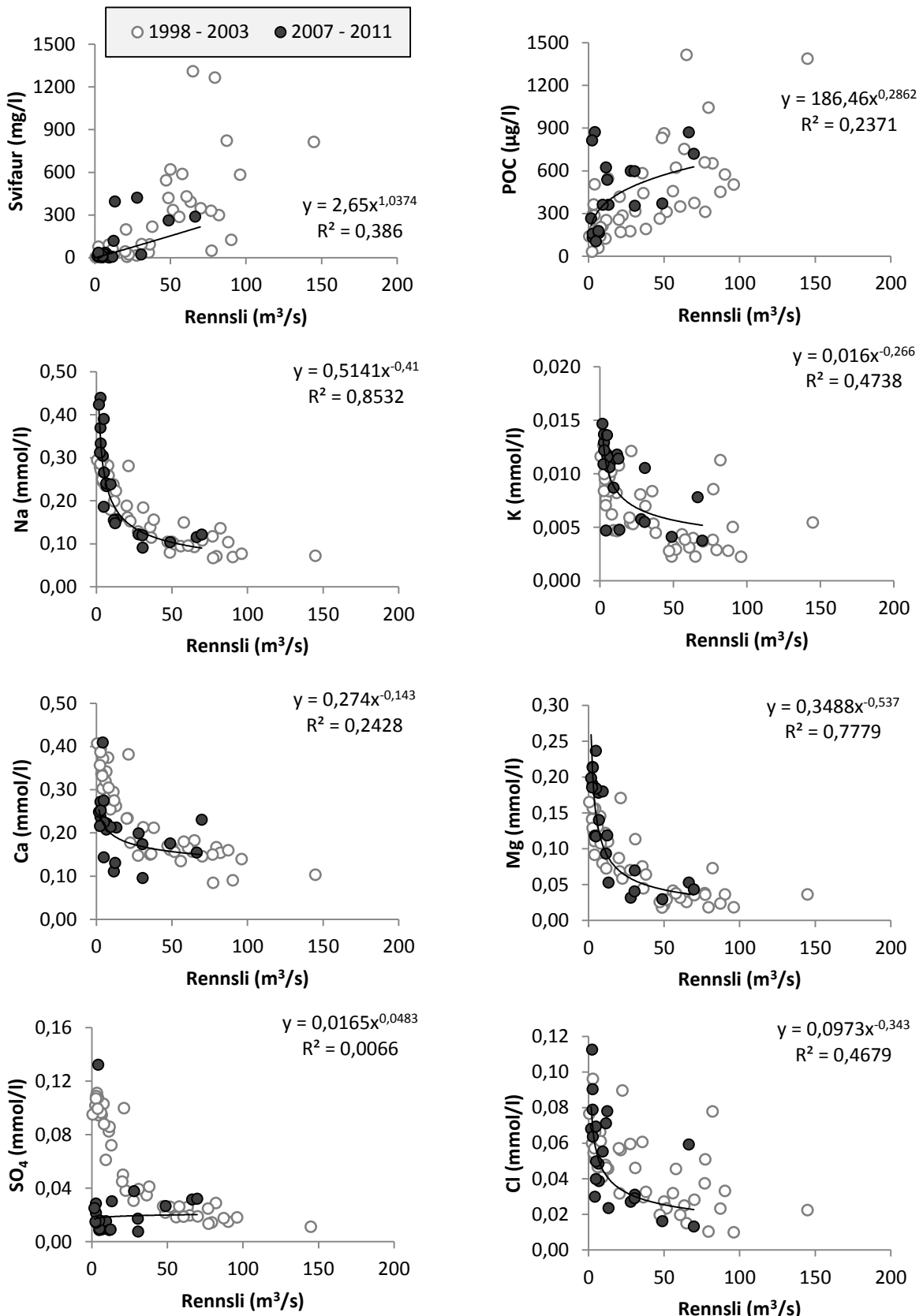
Mynd 17. Árstíðasveiflur í styrk svifaurs og uppleystra efna í Jökulsá í Fljótsdal við Hól. Styrkur SO<sub>4</sub> er táknað með opnum hringjum og heildarstyrkur brennisteins með gráum.

## Jökulsá í Fljótsdal við Hól



Mynd 18. Árstíðasveiflur í styrk uppleystra snefilefna í Jökulsá í Fljótsdal við Hól

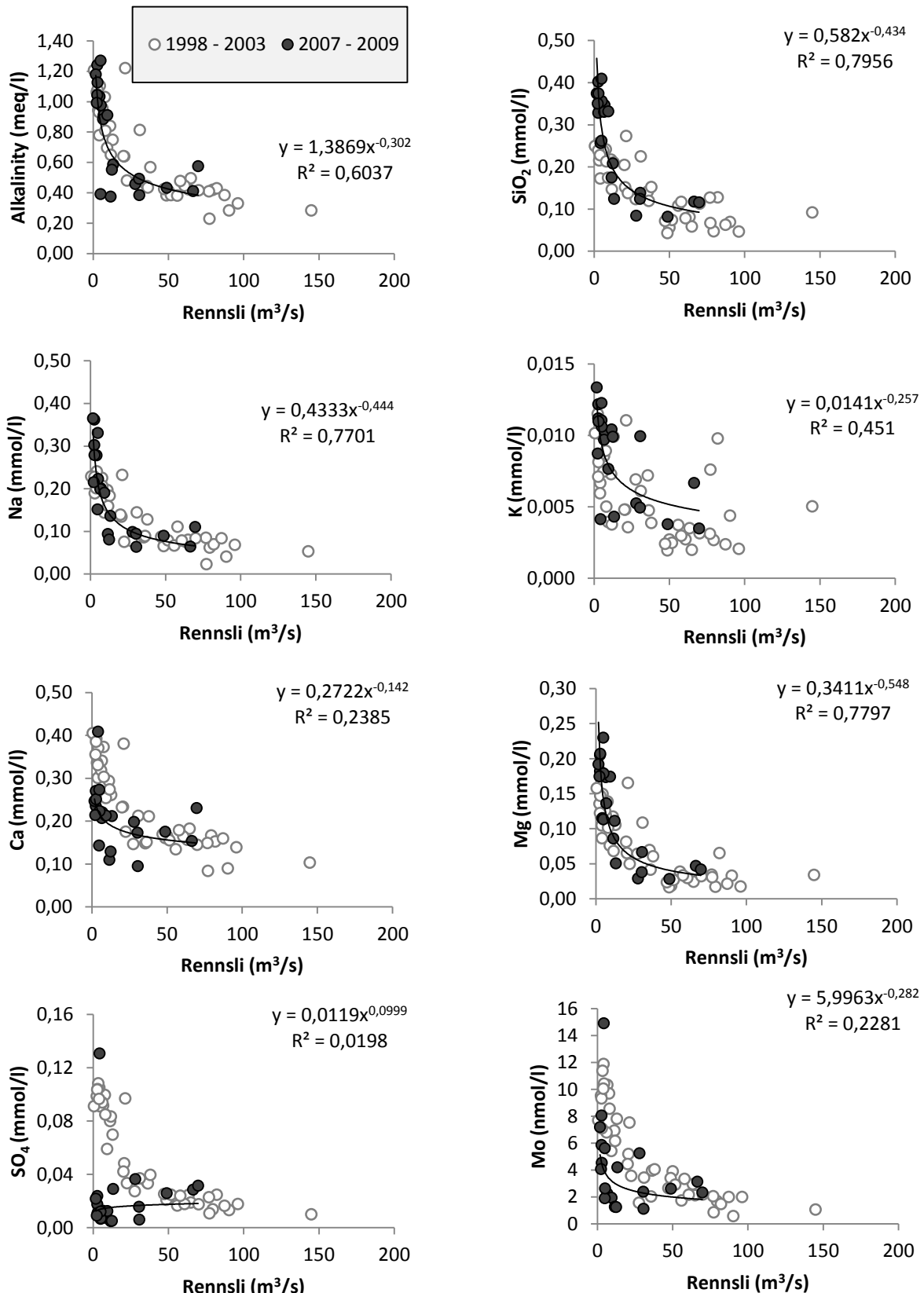
## Jökulsá í Fljótsdal við Hól



Mynd 19. Áhrif rennslis á styrk svifaurs og uppleystra efna í Jökulsá í Fljótsdal við Hól. Opnir hringir tákna sýni sem tekin voru fyrir virkjun.

## Jökulsá í Fljótsdal við Hól

Bergættuð efni (anjónir leiðréttar fyrir úrkomu)



Mynd 20. Áhrif rennslis á styrk uppleystra efna í Jökulsá í Fljótsdal við Hól. Opnir hringir tákna sýni sem tekin voru fyrir virkjun.

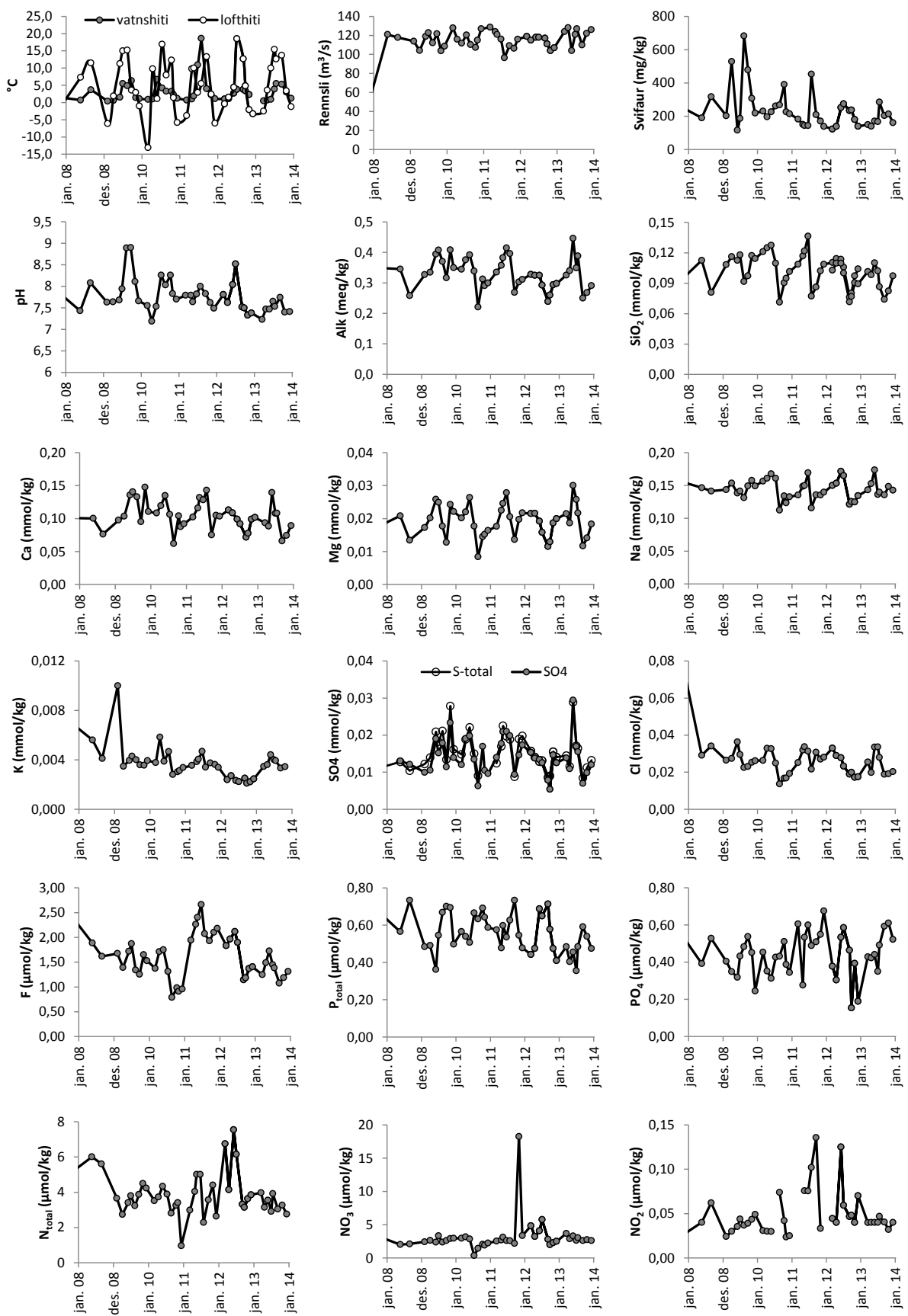


16. september 2011

Mynd E. Yfirlitsmynd af Fljótsdalsstöð og affallsskurðinum sem safnað er úr. Safnað er af bakka, beint neðan við myndatökustaðinn með því að kasta fötu út í skurðinn til að ná vatni þar sem straumurinn er mestur.

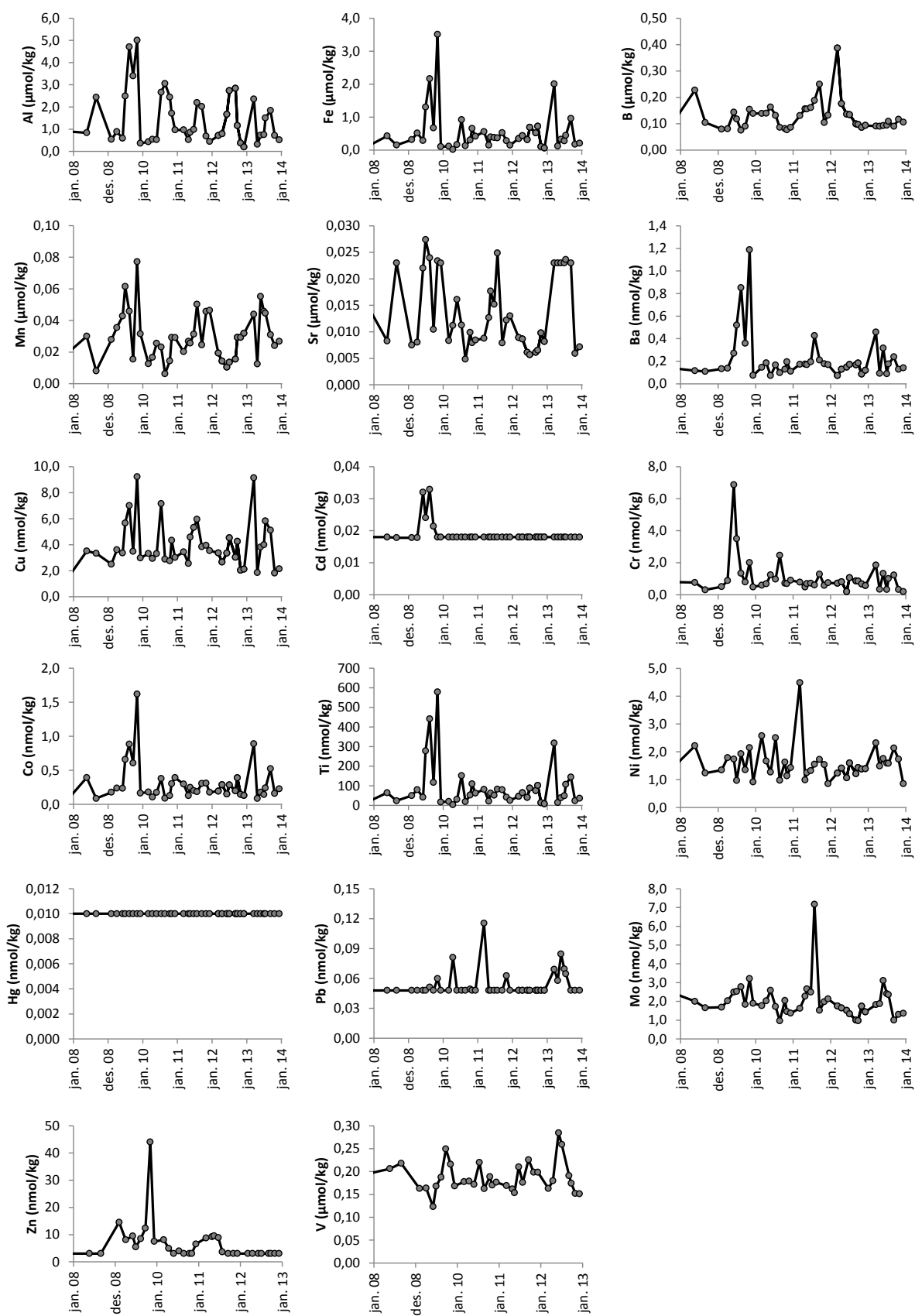


## Affallsskurður Fljótsdalsstöð

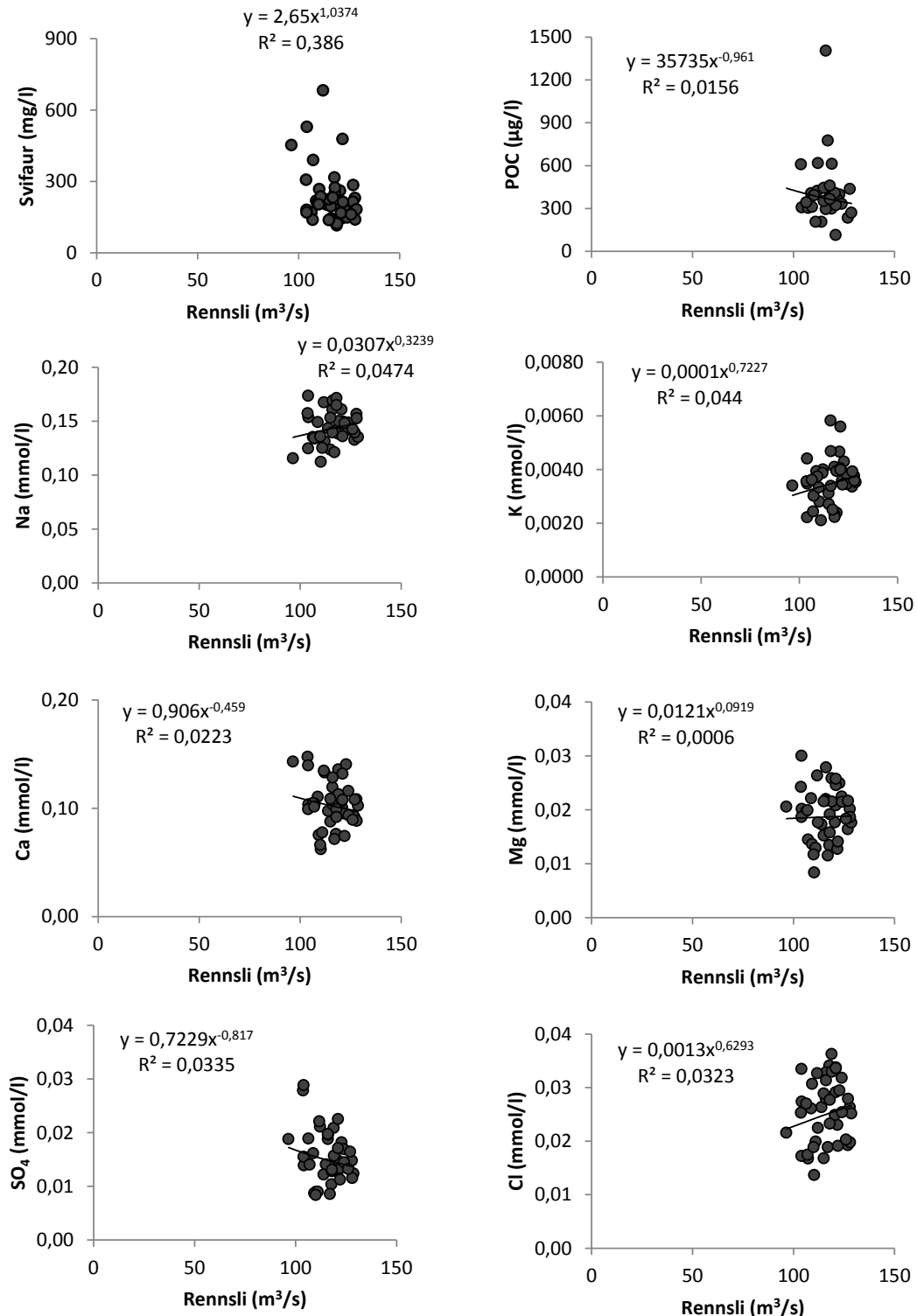


Mynd 21. Árstíðasveiflur í styrk svifaurs og uppleystra efna í affallsskurði frá Fljótsdalsvirkjun.

## Affallsskurður Fljótsdalsstöð

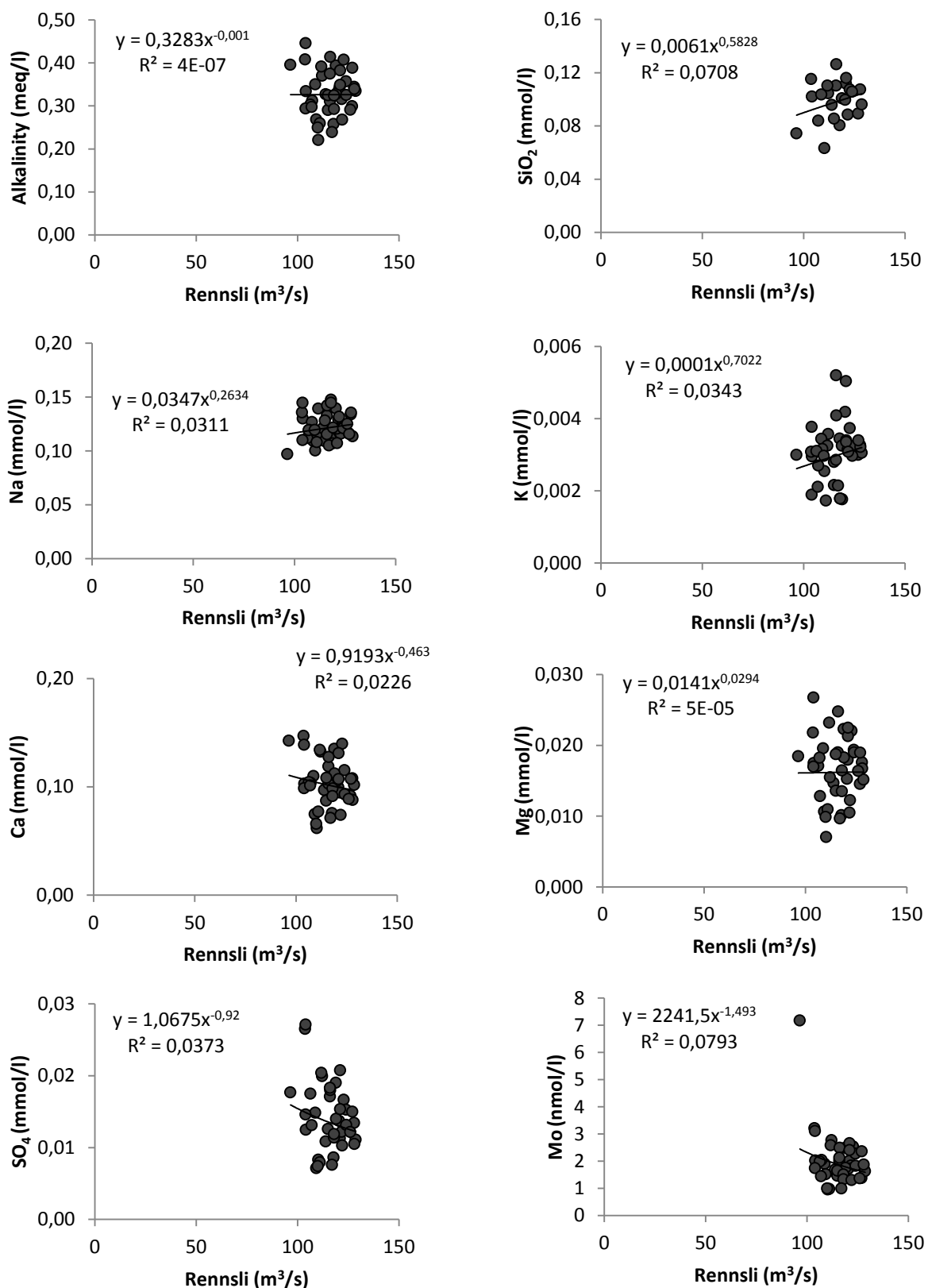


Mynd 22. Árstíðabundnar breytingar á styrk uppleystra snefilefna í affallsskurði frá Fljótsdalsvirkjun.



Mynd 23. Samband rennslis og styrks efna í affallsskurði við Fjótsdalssstöð

## Bergættuð efni (anjónir leiðréttar fyrir úrkomu)



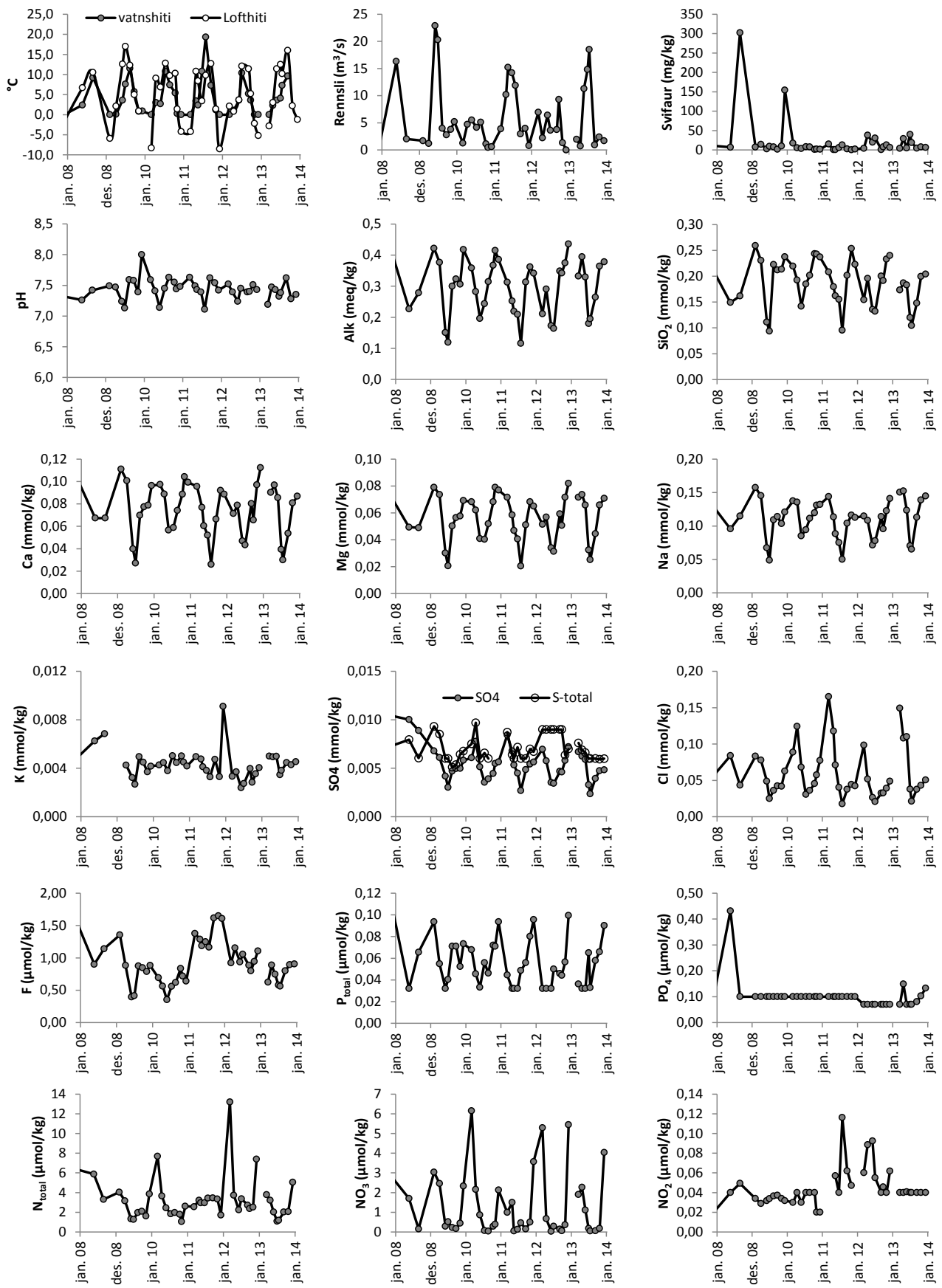
Mynd 24. Rennsli og styrkur efna í affallsskurði við Fljótsdalsstöð



Mynd F. Fellsá við Sturluflöt

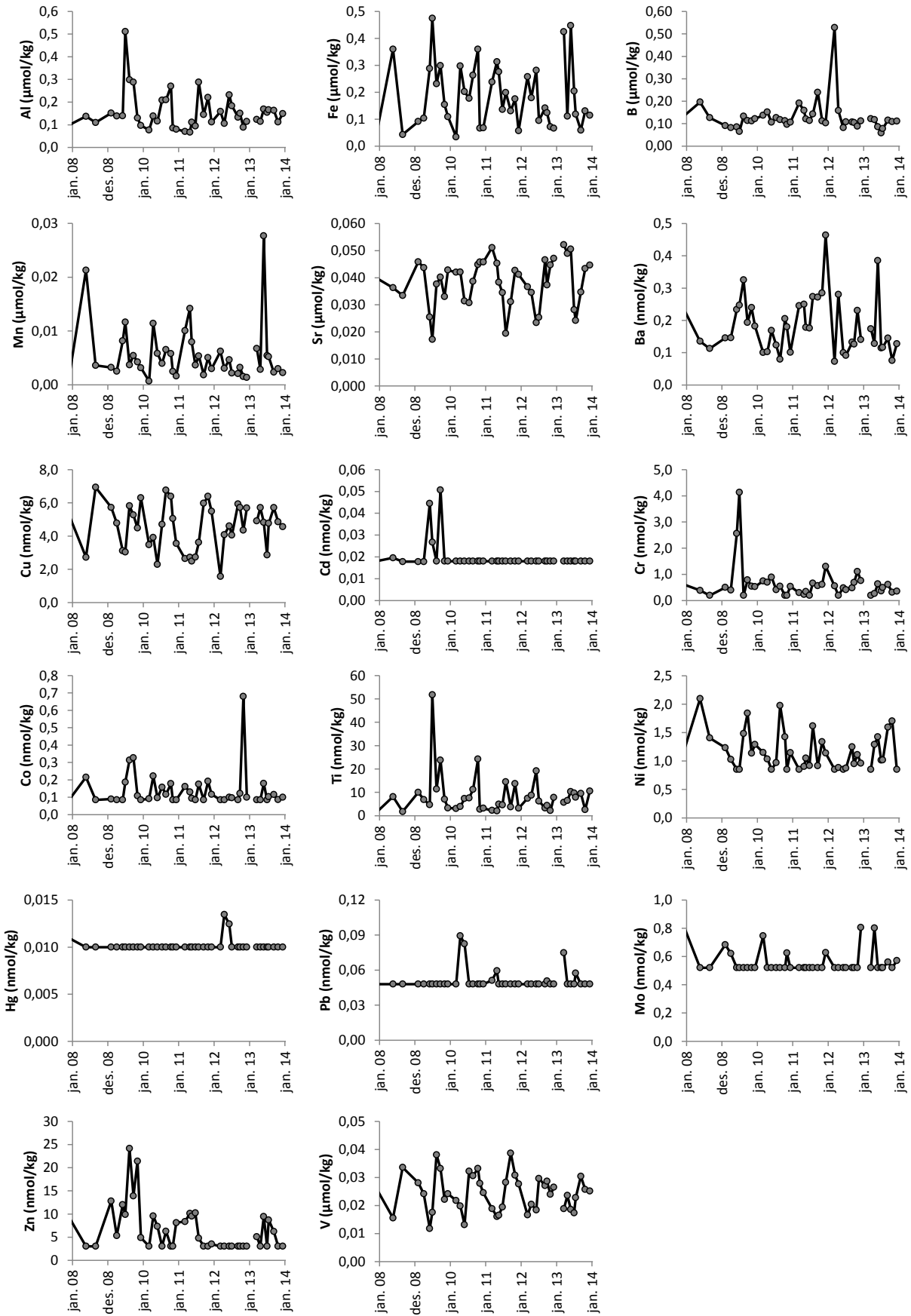


## Fellsá við Sturluflöt



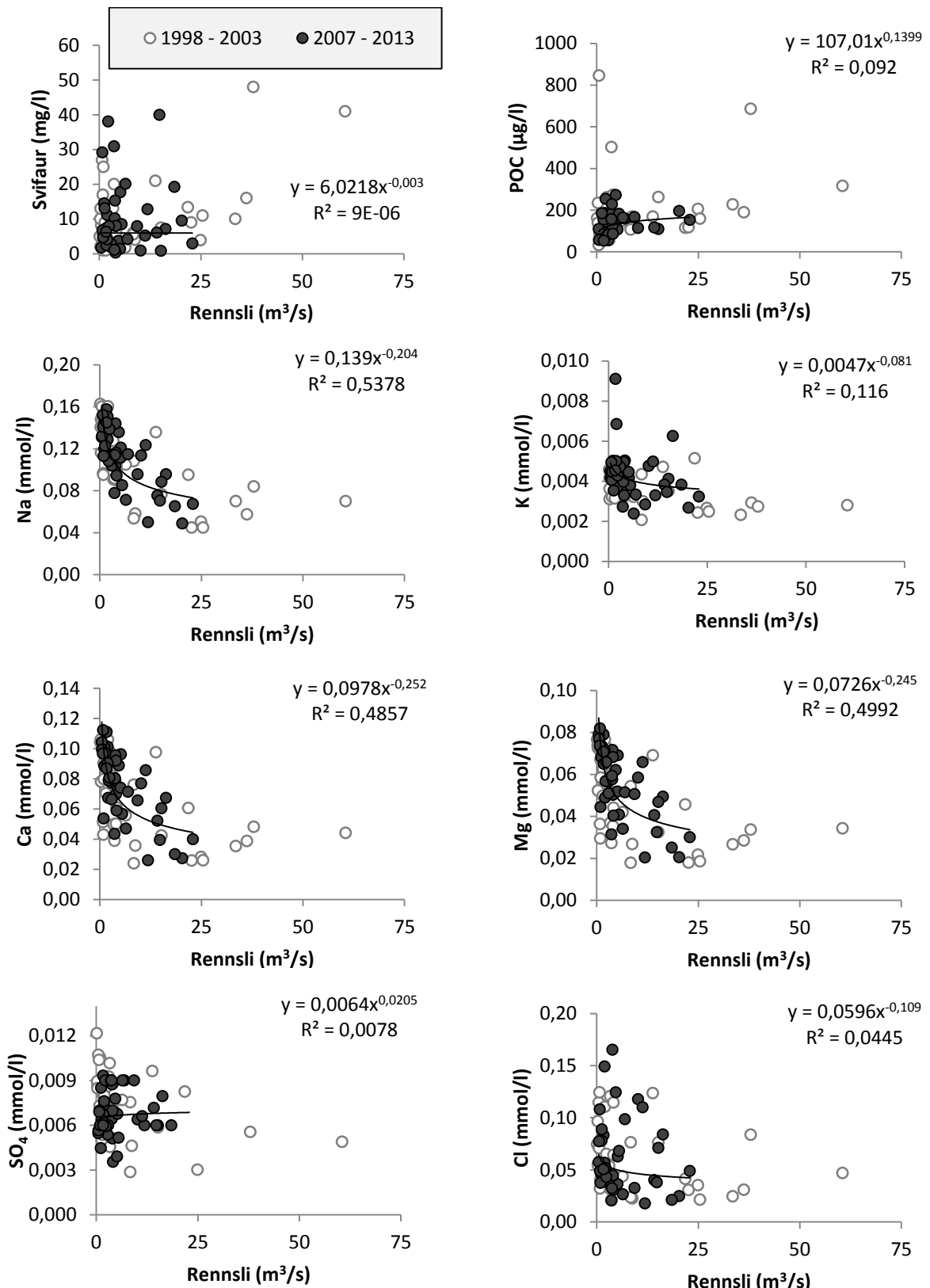
Mynd 25. Breytileiki í styrk uppleystra efna og svifaurs í Fellsá við Sturluflöt.

## Fellsá við Sturluflöt



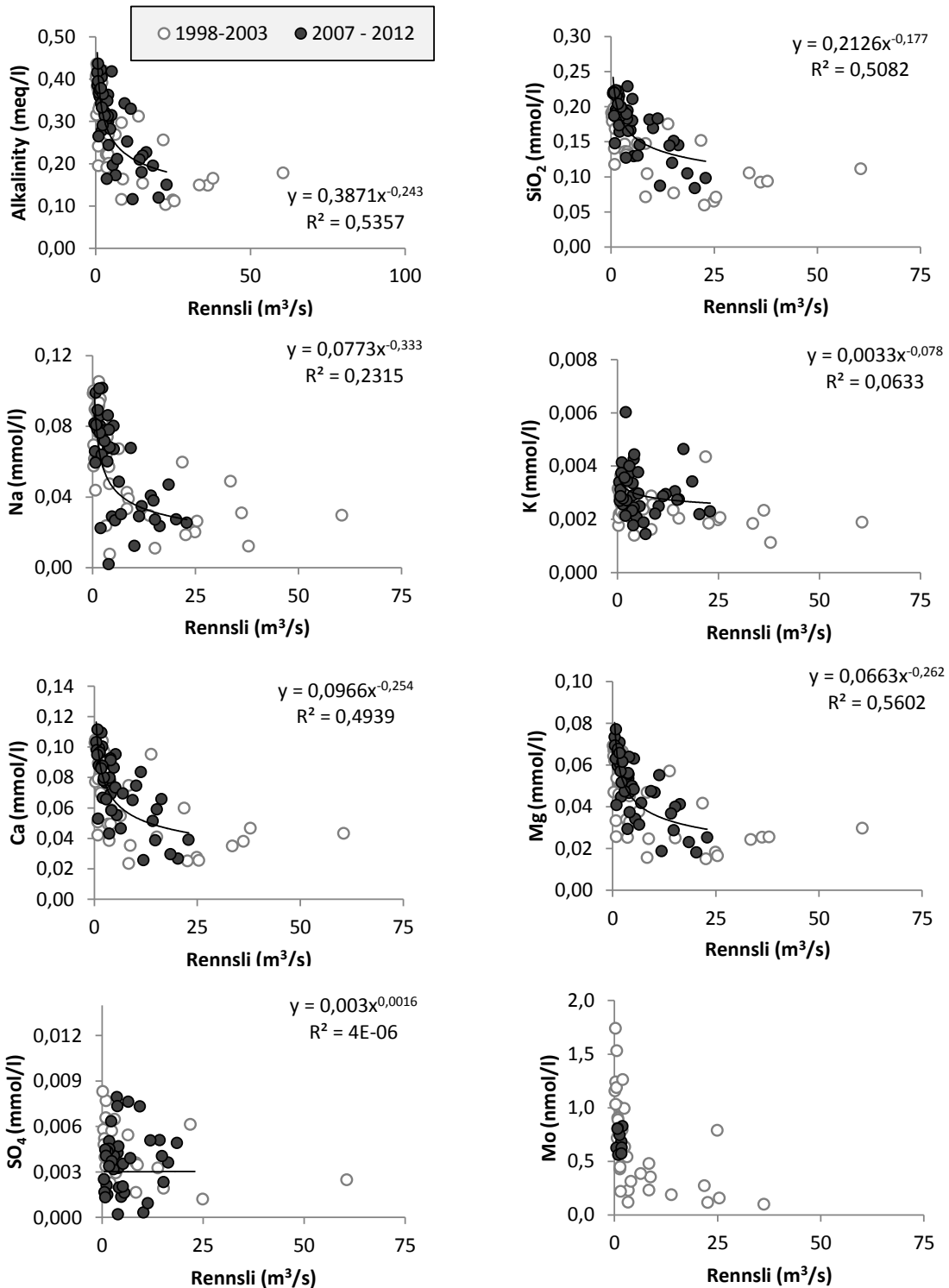
Mynd 26. Breytileiki í styrk uppleystra snefilefna í Fellsá við Sturluflöt

## Fellsá við Sturluflöt



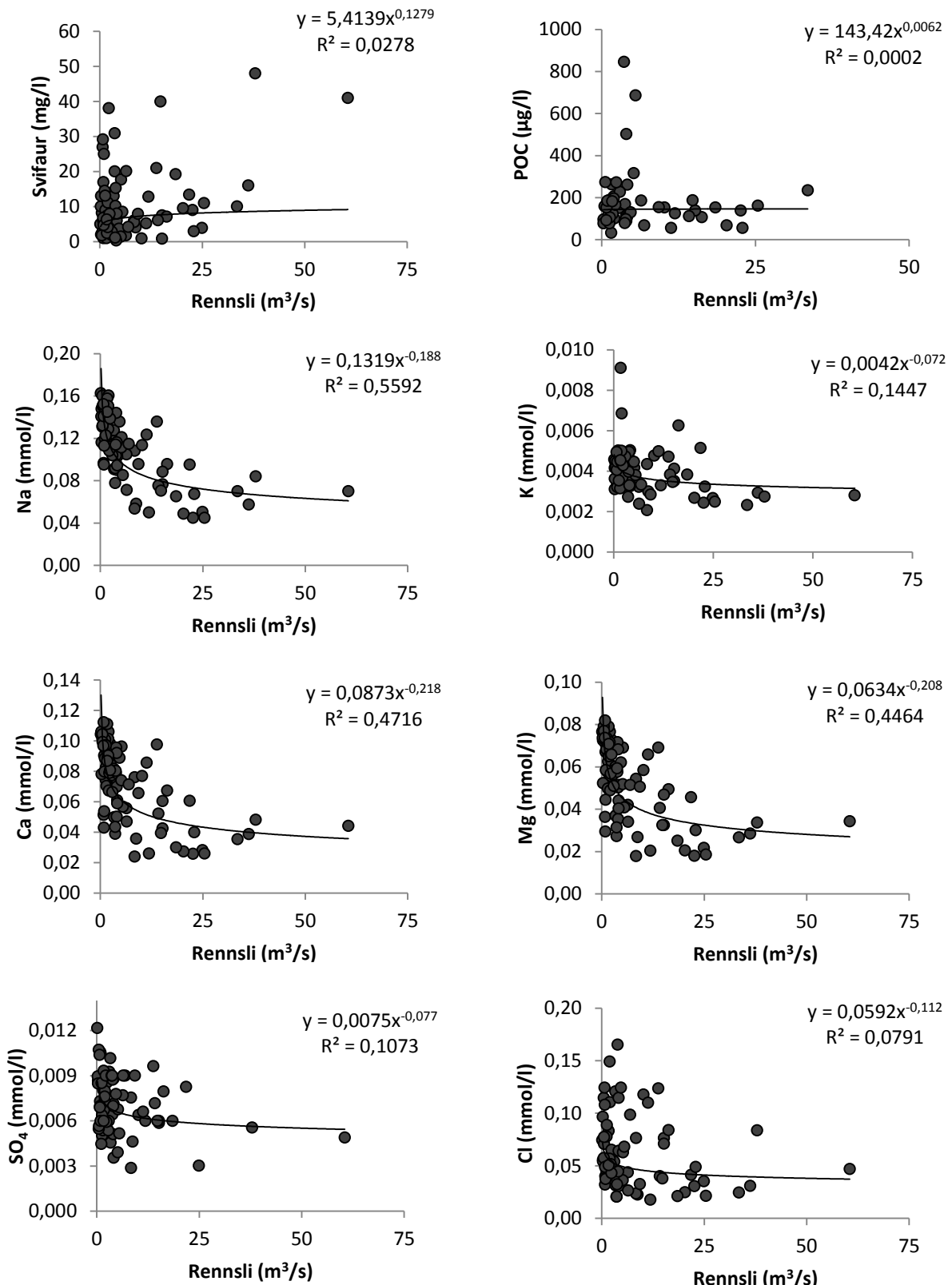
Mynd 27. Áhrif rennslis á styrk svifaurs og uppleystra efna í Fellsá við Sturluflöt. Oprir hringir tákna sýni sem tekin voru fyrir virkjun.

**Fellsá við Sturluflöt**  
**Bergættuð efni (anjónir leiðréttar fyrir úrkomu)**



Mynd 28. Áhrif rennslis á styrk uppleystra efna í Fellsá við Sturluflöt. Opnir hringir tákna sýni sem tekin voru fyrir virkjun.

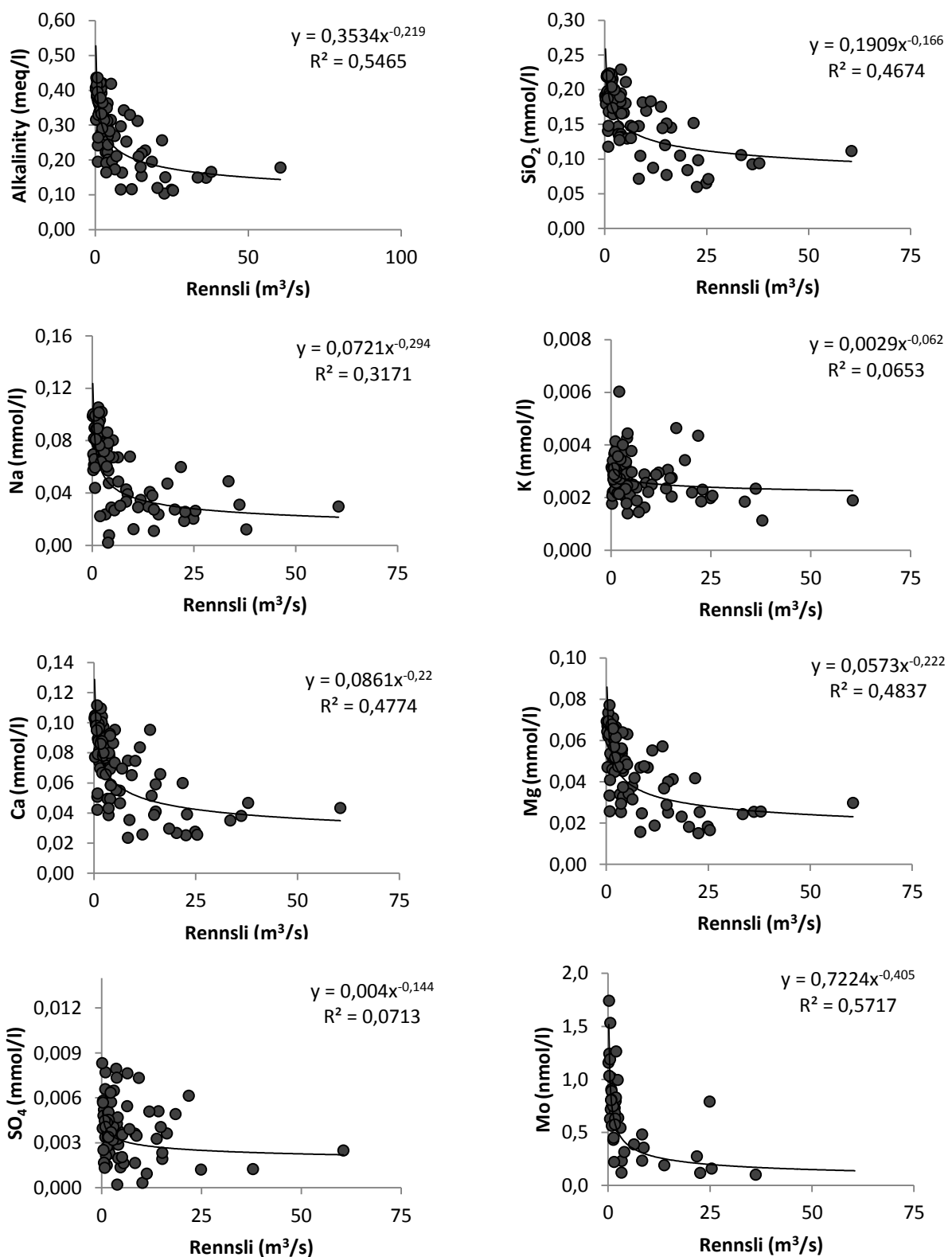
### Fellsá við Sturluflöt 1998 – 2013



Mynd 29. Áhrif rennslis á styrk uppleystra efna í Fellsá við Sturluflöt 1998 - 2003. Gögn frá upphafi mælinga sýnd saman þar sem breytingar af manna völdum hafa ekki átt sér stað á vatnasviðinu.

### Fellsá við Sturluflöt 1998 – 2013

Bergættuð efni (anjónir leiðréttar fyrir úrkomu)



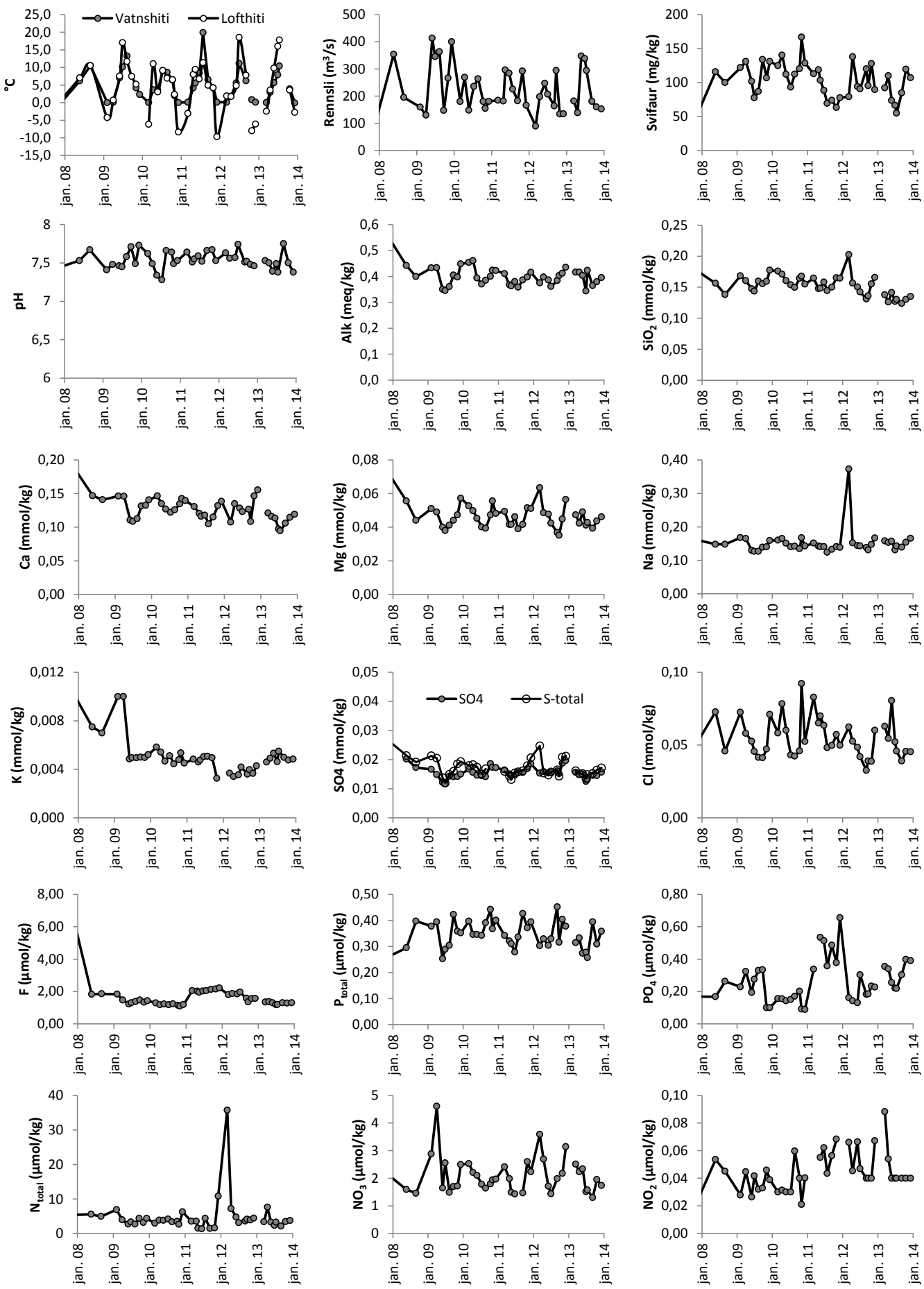
Mynd 30. Áhrif rennslis á styrk uppleystra efna í Fellsá við Sturluflöt 1998 - 2003. Gögn frá upphafi mælinga sýnd saman þar sem breytingar af manna völdum hafa ekki átt sér stað á vatnasviðinu.



G. Lagarfljót og Lagarfoss við ýmis tækifæri.

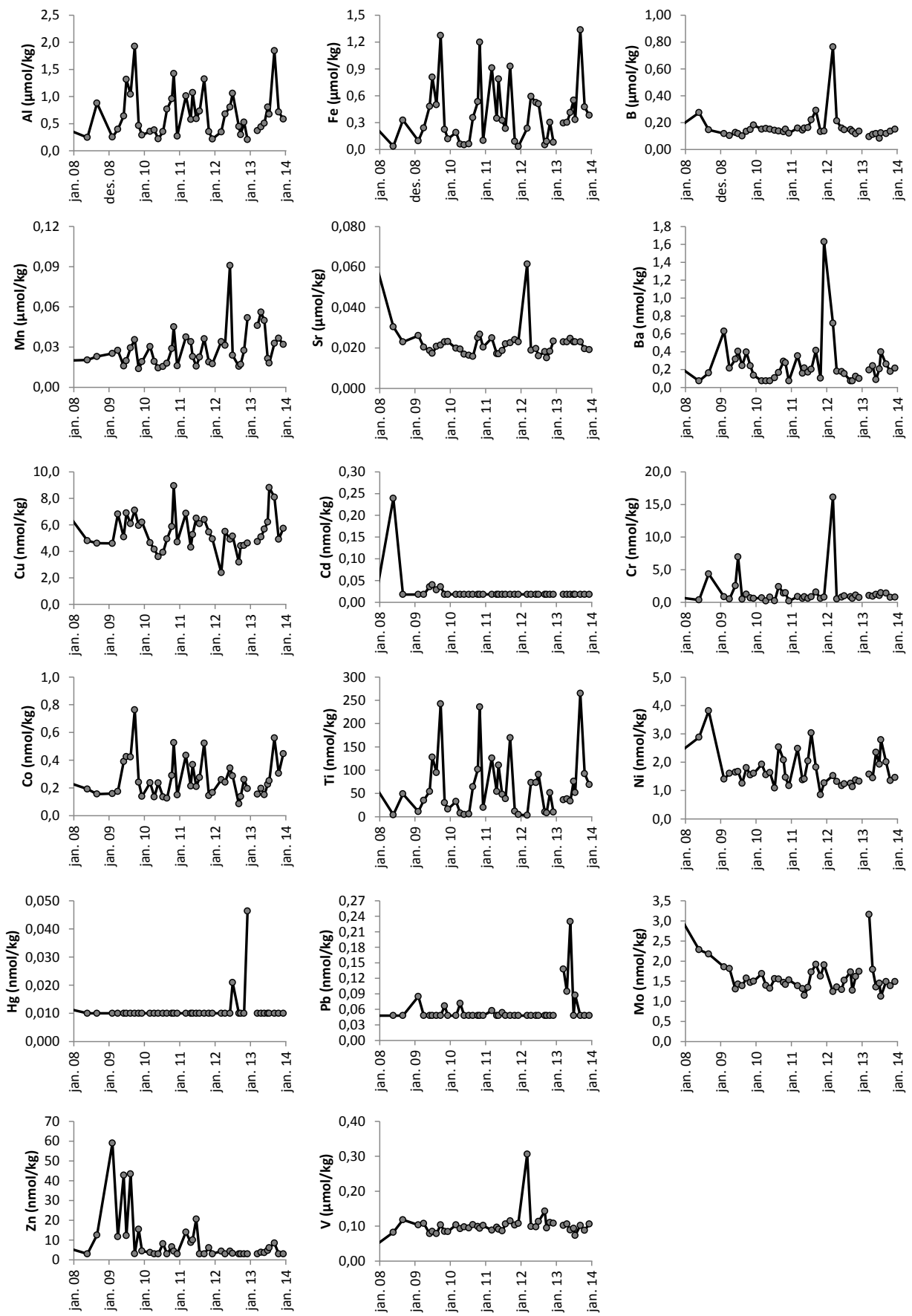


### Lagarfljót við Lagarfoss



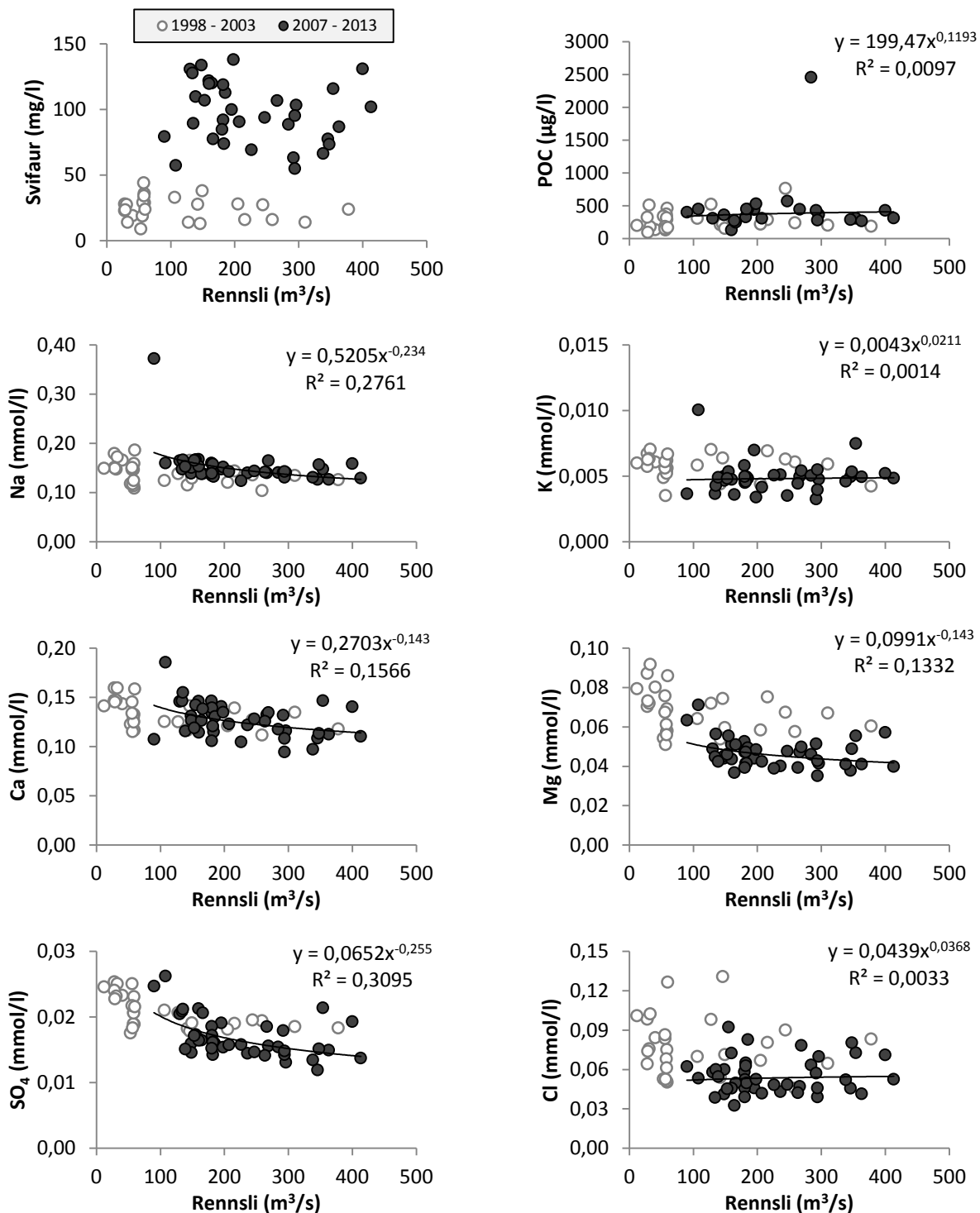
Mynd 31. Breytileiki í styrk uppleystra efna og svifaurs í Lagarfljóti við Lagarfoss.

## Lagarfljót við Lagarfoss



Mynd 32. Breytileiki í styrk uppleystra efna í Lagarfljóti við Lagarfoss

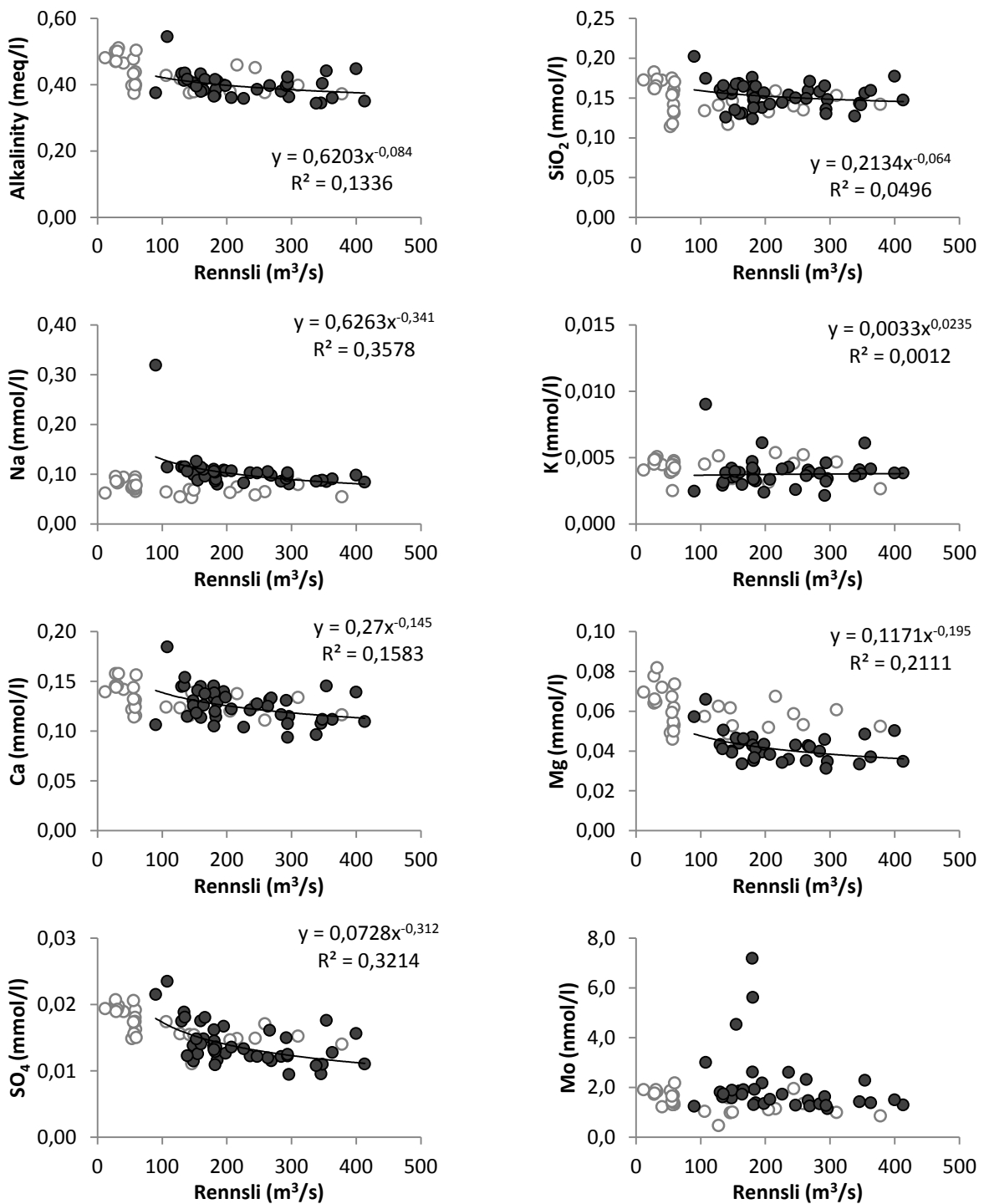
## Lagarfljót við Lagarfoss



Mynd 33. Áhrif rennslis á styrk svifaurs og uppleystra efna í Lagarfljóti við Lagarfoss. Opnir hringir tákna sýni sem tekin voru fyrir virkjun.

## Lagarfljót við Lagarfoss

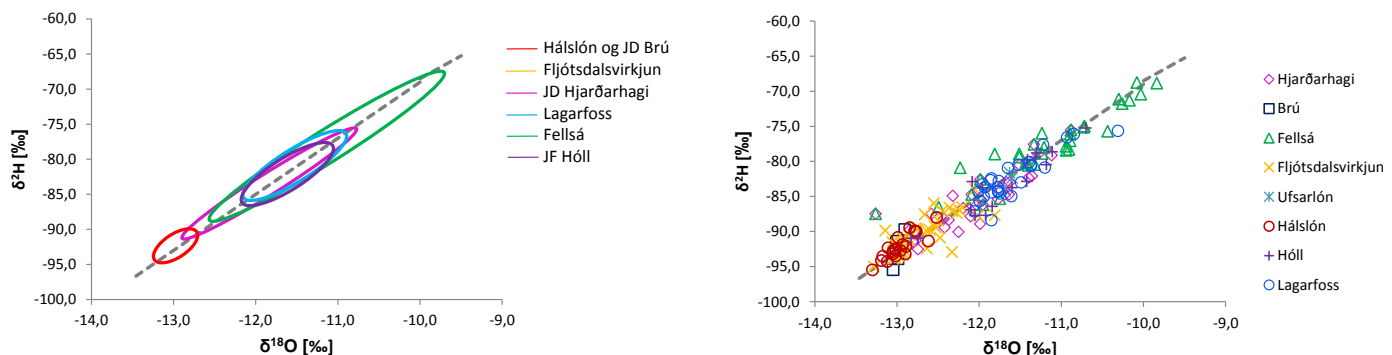
Bergættuð efni (anjónir leiðréttar fyrir úrkomu)



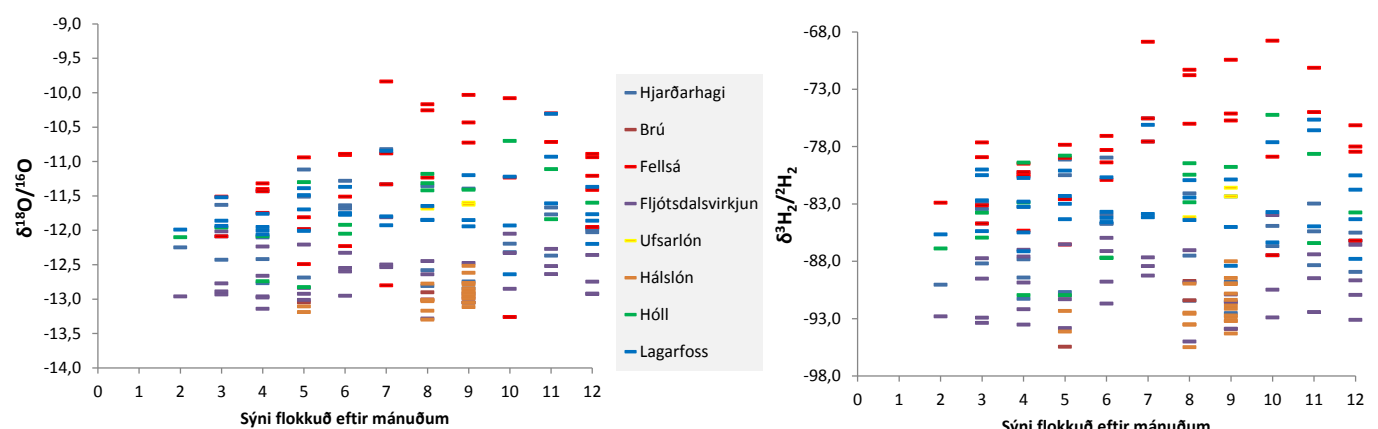
Mynd 34. Áhrif rennslis á styrk uppleystra efna í Lagarfjóti við Lagarfoss. Opnir hringir tákna sýni sem tekin voru fyrir virkjun

Tafla 11a. Súrefnis og vetrnissamsætur í sýnum frá 2013 af Austurlandi.

Sýnanr.	Staðsetn.	dags.	$\delta^{18}\text{O}/^{16}\text{O}$	Stdev	$\delta^{3}\text{H}_2/\text{H}_2$	Stdev
13A001	Útfall úr Kárahnjúkavirkjun	18.3.2013	-12,93	0,05	-93,38	0,73
13A002	Fellsá	18.3.2013	-12,09	0,02	-84,72	0,43
13A003	Jökulsá á Dal	18.3.2013	-12,43	0,04	-91,51	0,19
13A004	Lagarfljót v/ Lagarfossvirjkun	18.3.2013	-11,94	0,01	-85,37	0,49
13A005	Jökulsá á Dal	23.4.2013	-11,99	0,08	-88,50	0,34
13A006	Lagarfljót v/ Lagarfossvirjkun	23.4.2013	-12,00	0,07	-85,49	0,76
13A007	Útfall úr Kárahnjúkavirkjun	23.4.2013	-12,98	0,06	-93,53	0,37
13A008	Fellsá	23.4.2013	-11,43	0,04	-80,23	0,92
13A009	Jökulsá á Dal	28.5.2013	-12,39	0,03	-86,30	0,06
13A010	Lagarfljót v/ Lagarfossvirjkun	28.5.2013	-11,70	0,04	-82,31	0,49
13A011	Útfall úr Kárahnjúkavirkjun	28.5.2013	-12,92	0,08	-91,01	0,13
13A012	Fellsá	28.5.2013	-11,98	0,06	-82,57	0,30
13A013	Jökulsá á Dal	2.7.2013	-11,73	0,01	-83,60	0,24
13A014	Lagarfljót v/ Lagarfossvirjkun	2.7.2013	-11,93	0,06	-84,17	0,27
13A015	Útfall úr Kárahnjúkavirkjun	2.7.2013	-12,50	0,04	-88,42	0,48
13A016	Fellsá	2.7.2013	-11,33	0,01	-77,57	0,31
13A017	Jökulsá á Dal	18.7.2013	-11,63	0,07	-84,67	0,10
13A018	Lagarfljót v/ Lagarfossvirjkun	18.7.2013	-11,80	0,01	-83,88	0,92
13A019	Útfall úr Kárahnjúkavirkjun	18.7.2013	-12,54	0,01	-89,26	0,66
13A020	Fellsá	18.7.2013	-10,88	0,01	-75,54	0,15
13A025	Háslón 40 m	10.9.2013	-12,76	0,01	-90,00	0,90
13A026	Háslón 80 m	10.9.2013	-12,90	0,08	-93,20	0,79
13A027	Háslón 120 m	10.9.2013	-12,93	0,07	-91,86	0,00
13A028	Háslón 160 m	10.9.2013	-12,62	0,05	-91,37	0,90
13A030	Lagarfljót v/ Lagarfossvirjkun	24.10.2013	-12,64	0,04	-86,37	0,98
13A031	Útfall úr Kárahnjúkavirkjun	24.10.2013	-12,33	0,04	-92,91	0,97
13A032	Fellsá	24.10.2013	-13,26	0,01	-87,47	0,58
13A033	Jökulsá á Dal	10.12.2013	-24,66	0,04	-90,64	0,94
13A034	Lagarfljót v/ Lagarfossvirjkun	10.12.2013	-12,20	0,01	-87,80	0,56
13A035	Fellsá	10.12.2013	-11,95	0,08	-86,20	0,73
13A036	Útfall úr Kárahnjúkavirkjun	10.12.2013	-12,92	0,02	-93,11	0,15

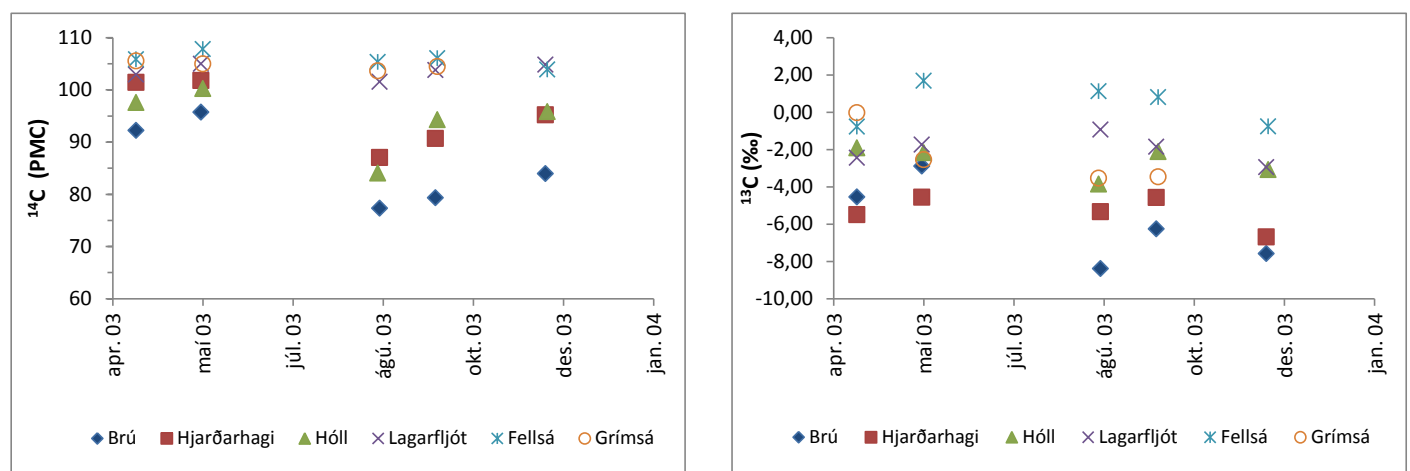


Mynd 35. Hlutföll súrefnis og vetrnis samsætna á Austurlandi 2008 – 2013.

Mynd 36. Árstíðabundnar breytingar í samsætum, súrefnis ( $^{18}\text{O}$ ) og vetrnis (Deuterium, D) sem mældar voru í sýnum frá 2008 til 2013.

Tafla 11b. Samsætur kolefnis í völdum sýnum af Austurlandi.

			14C age						14C age					
Sýni nr.	Dagsetning	dýpi	BP	14C	AAR-nr	13C		Sýni nr.	Dagsetning	BP	14C	AAR-nr	13C	
<b>Jökulsá á Brú</b>														
03-A007	14.4.2003		650	$\pm 43$	92,23	$\pm 0,49$	8691	-4,54						
03-A013	20.5.2003		352	$\pm 40$	95,71	$\pm 0,48$	8897	-2,89	03-A011	14.4.2003	-455	$\pm 40$	105,83	$\pm 0,53$
03-A034	27.8.2003		2065	$\pm 50$	77,35	$\pm 0,49$	8995	-8,39	03-A017	21.5.2003	-604	$\pm 41$	107,82	$\pm 0,55$
03-A037	27.9.2003		1860	$\pm 38$	79,33	$\pm 0,38$	8997	-6,25	03-A033	26.8.2003	-416	$\pm 35$	105,32	$\pm 0,46$
03-A043	27.11.2003		1405	$\pm 70$	83,96	$\pm 0,75$	8998	-7,58	03-A042	28.9.2003	-471	$\pm 44$	106,04	$\pm 0,58$
07-A001	27.11.2007		825	$\pm 60$	90,23	$\pm 0,66$	12719	-8,24	03-A047	28.11.2003	-310	$\pm 80$	103,88	$\pm 1,04$
08-A013	28.8.2008		1975	$\pm 45$	78,20	$\pm 0,45$	12729	-8,92	07A003	28.11.2007	-25	$\pm 55$	100,32	$\pm 0,66$
<b>Jökulsá á Dal</b>														
03-A008	14.4.2003		-113	$\pm 44$	101,42	$\pm 0,56$	8692	-5,50	03-A012	14.4.2003	-434	$\pm 46$	105,56	$\pm 0,61$
03-A014	20.5.2003		-141	$\pm 35$	101,77	$\pm 0,44$	8898	-4,56	03-A018	21.5.2003	-388	$\pm 47$	104,95	$\pm 0,62$
03-A035	27.8.2003		1116	$\pm 46$	87,03	$\pm 0,5$	8904	-5,34	03-A032	26.8.2003	-286	$\pm 38$	103,62	$\pm 0,49$
03-A038	27.9.2003		785	$\pm 47$	90,69	$\pm 0,54$	8905	-4,57	03-A040	28.9.2003	-349	$\pm 35$	104,44	$\pm 0,45$
03-A044	27.11.2003		395	$\pm 44$	95,20	$\pm 0,52$	8999	-6,69	03-A048	28.11.2003				
07-A002	28.11.2007		105	$\pm 50$	98,68	$\pm 0,64$	12720	-8,21						
08-A014	28.8.2008		485	$\pm 35$	94,14	$\pm 0,41$	12730	-6,59						
<b>Jökulsá í Fljótsdal</b>														
03-A010	14.4.2003		199	$\pm 47$	97,56	$\pm 0,57$	8694	-1,91	03-A009	14.4.2003	-230	$\pm 50$	102,93	$\pm 0,66$
03-A016	21.5.2003		-20	$\pm 50$	100,27	$\pm 0,65$	8900	-2,17	03-A015	20.5.2003	-390	$\pm 46$	104,97	$\pm 0,6$
03-A031	26.8.2003		1393	$\pm 50$	84,08	$\pm 0,52$	8910	-3,86	03-A036	27.8.2003	-122	$\pm 47$	101,53	$\pm 0,59$
03-A041	28.9.2003		474	$\pm 43$	94,27	$\pm 0,5$	8908	-2,11	03-A039	27.9.2003	-298	$\pm 41$	103,78	$\pm 0,53$
03-A046	28.11.2003		-341	$\pm 43$	95,85	$\pm 0,51$	9001	-3,07	03-A045	27.11.2003	-380	$\pm 55$	104,83	$\pm 0,75$
07A004	28.11.2007		850	$\pm 60$	89,98	$\pm 0,67$	12722	-4,96	07A006	28.11.2007	19	$\pm 30$	99,76	$\pm 0,38$
<b>Hálslon</b>														
08A011	27.8.2008	20	239	$\pm 39$	97,07	$\pm 0,47$	12727	-8,68	07A005	28.11.2007	1201	$\pm 35$	86,12	$\pm 0,38$
08A012	27.8.2008	40	1304	$\pm 36$	85,01	$\pm 0,38$	12728	-7,94	08A015	28.8.2008	-130	$\pm 33$	101,63	$\pm 0,42$
08A009	27.8.2008	70	1593	$\pm 50$	82,02	$\pm 0,51$	12725	-7,78						
08A010	27.8.2008	130	796	$\pm 34$	90,56	$\pm 0,39$	12726	-8,60						
<b>Fellsá</b>														
<b>Grímsá</b>														
<b>Lagarfljót</b>														
<b>Útfallsskurður</b>														
<b>Hálslon</b>														
<b>Útfallsskurður</b>														

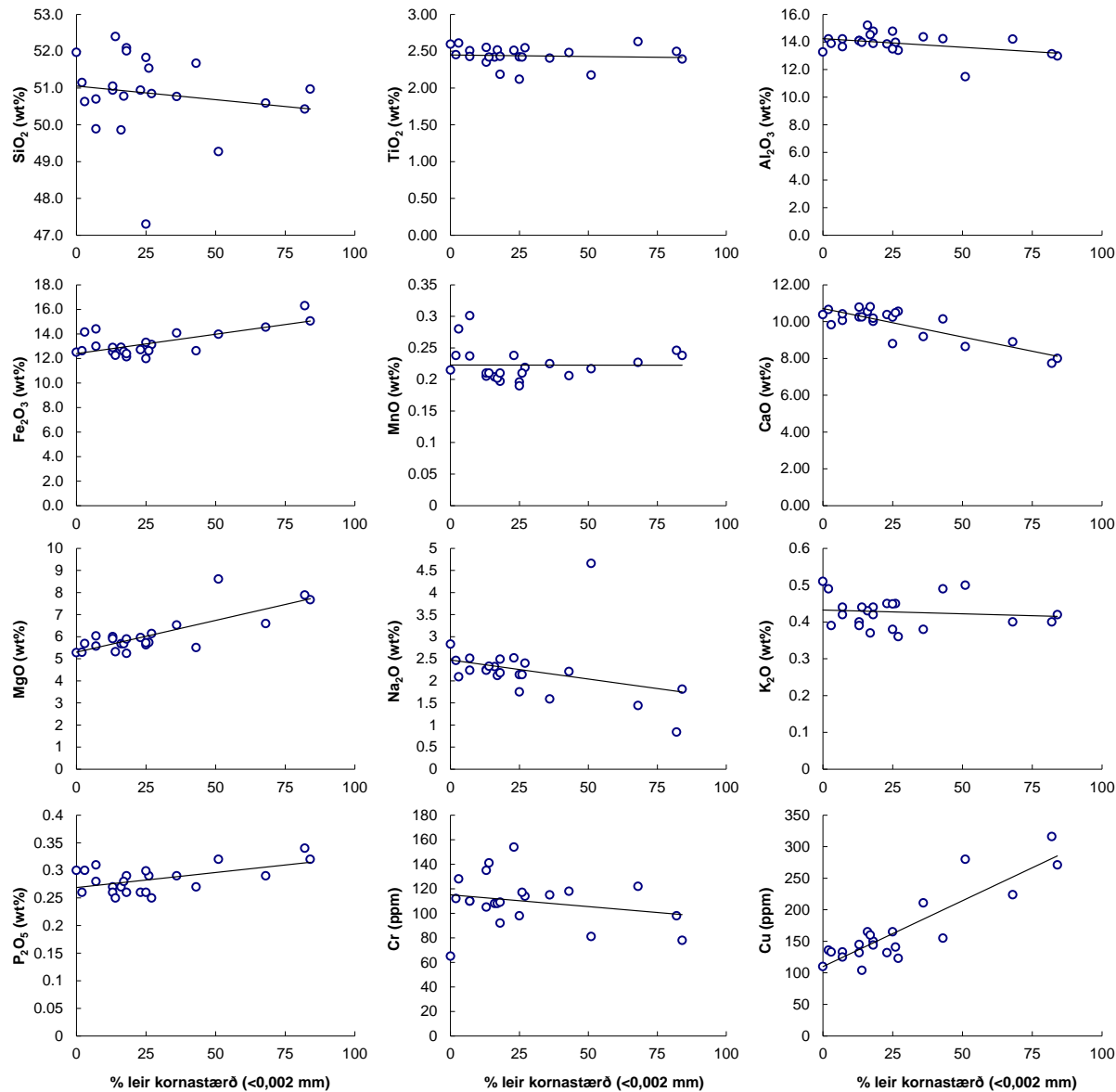
Mynd 37. Samsætur kolefnis ( $^{14}\text{C}$  og  $^{13}\text{C}$ ) sem mældar voru í sýnum frá 2003.





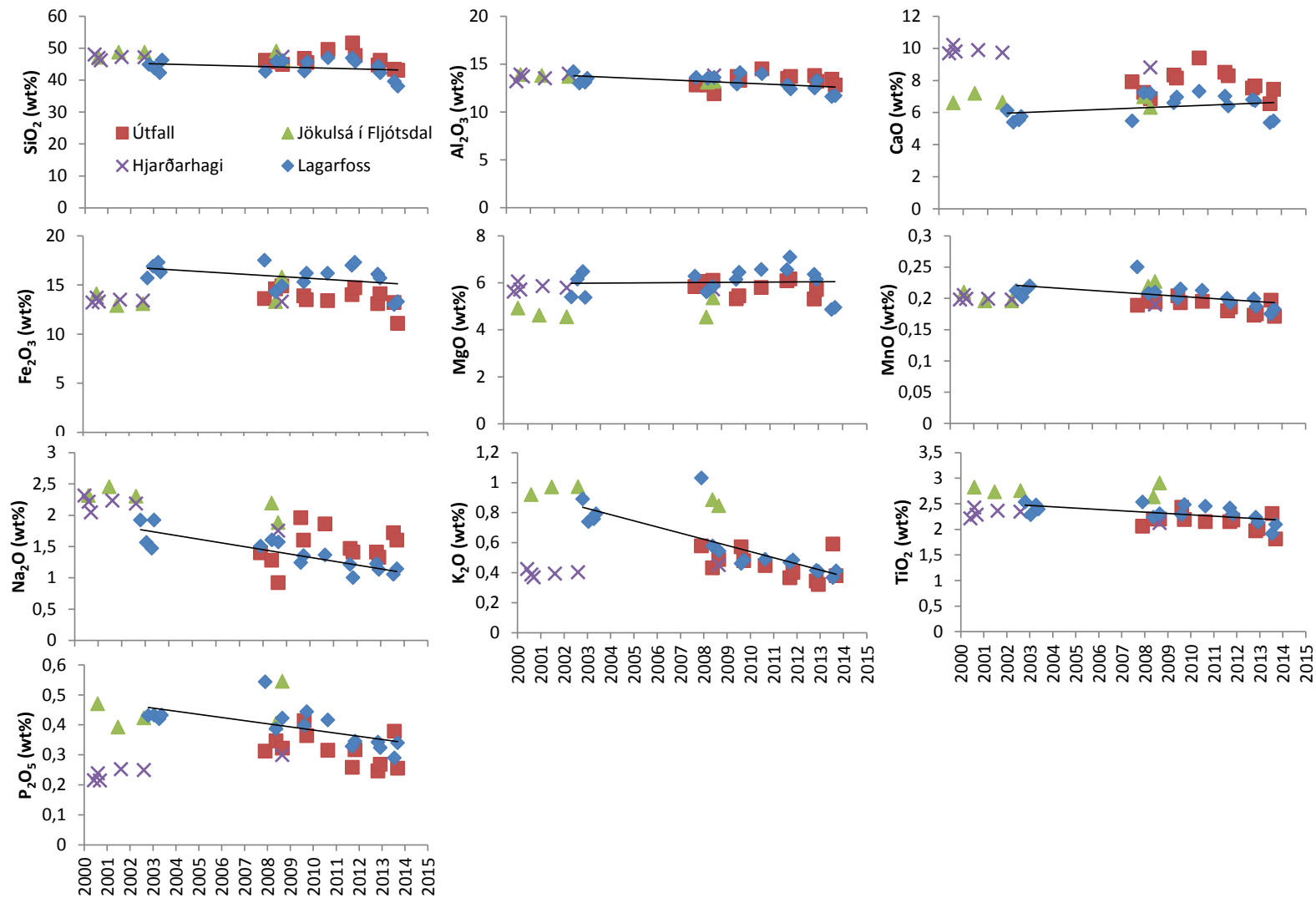






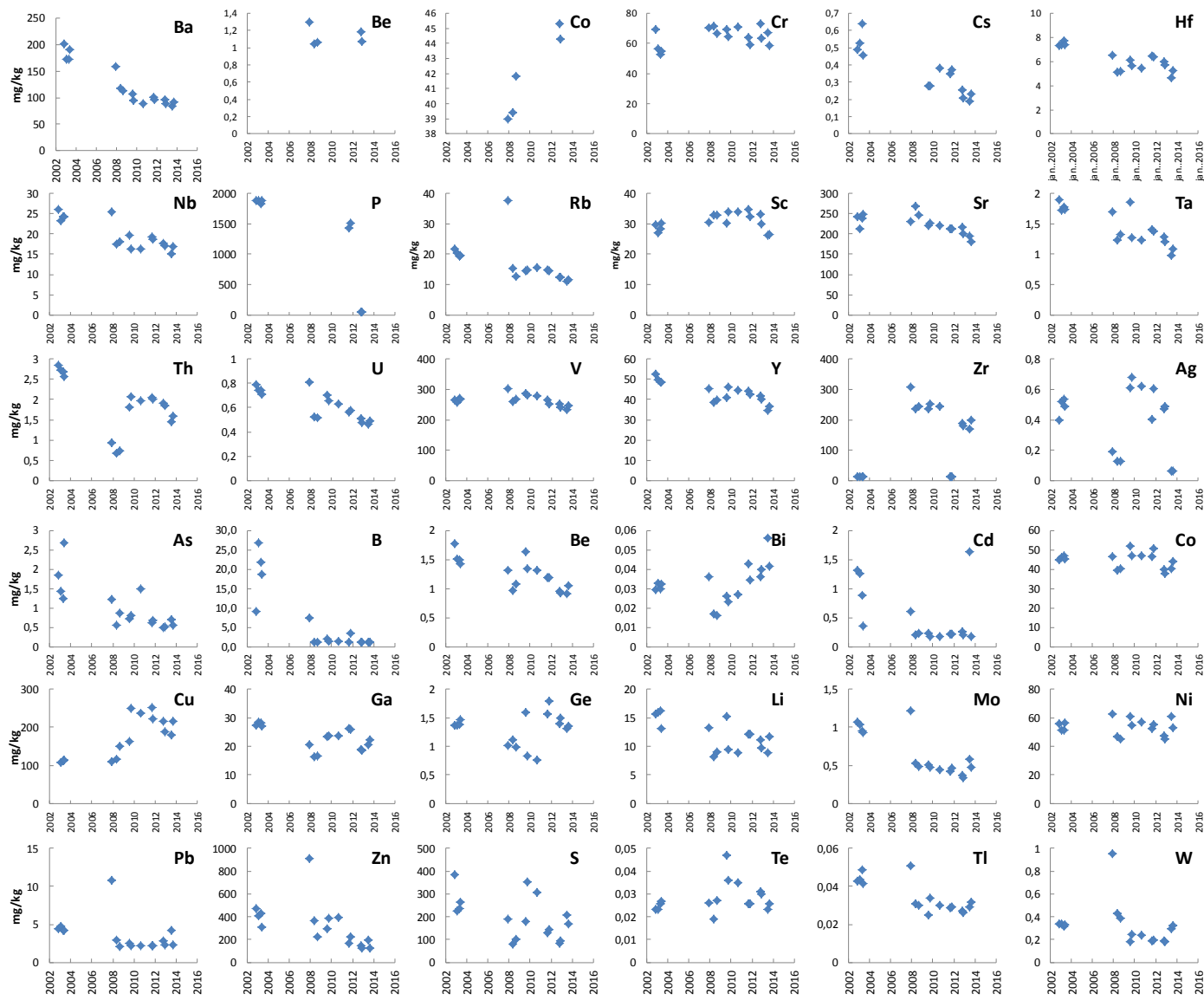
Mynd 38. Efnastyrkur valdra efna í svifausr úr Jökulsá á Dal við Hjarðarhaga sem fall af hlutfallslegu magni leirs (kornastærð < 0,002 mm) í svifaursýninu. Leir er fíngerðasti hluti svifaursýnanna og hefur mesta yfirborðsflatarmálið. Styrkur auðleystu efnanna Na og Ca lækkaði með auknum hluta leirkorna í svifaurnum á meðan styrkur torleystu efnanna Fe og P hækkaði. Styrkur Cu hækkar mjög mikil eftir því sem svifaursýnin verða fíngerðari, en málmar eins og Cu hafa þá tilhneigingu til að sogast á yfirborð leirkorna vegna rafhleðslna. Ásoguð efni geta svo skolast af yfirborði kornanna þegar umhverfisaðstæður breytast, t.d við sjávarblöndun.

### Straumvötn á Austurlandi



Mynd 39. Efnasamsetning svifaurs í Jökulsá á Dal við Hjarðarhaga, Jökulsá í Fljótsdal við Hól, Útfallsskurðinum við Fljótsdalsvirkjun og Lagarfljóti við Lagarfoss. Aðfallslínurnar eru að gögnunum úr Lagarfossi til að undirstrika þær breytingar sem orðið hafa á efnasamsetningu svifaursins sem nú fellur til sjávar frá Lagarfossi.

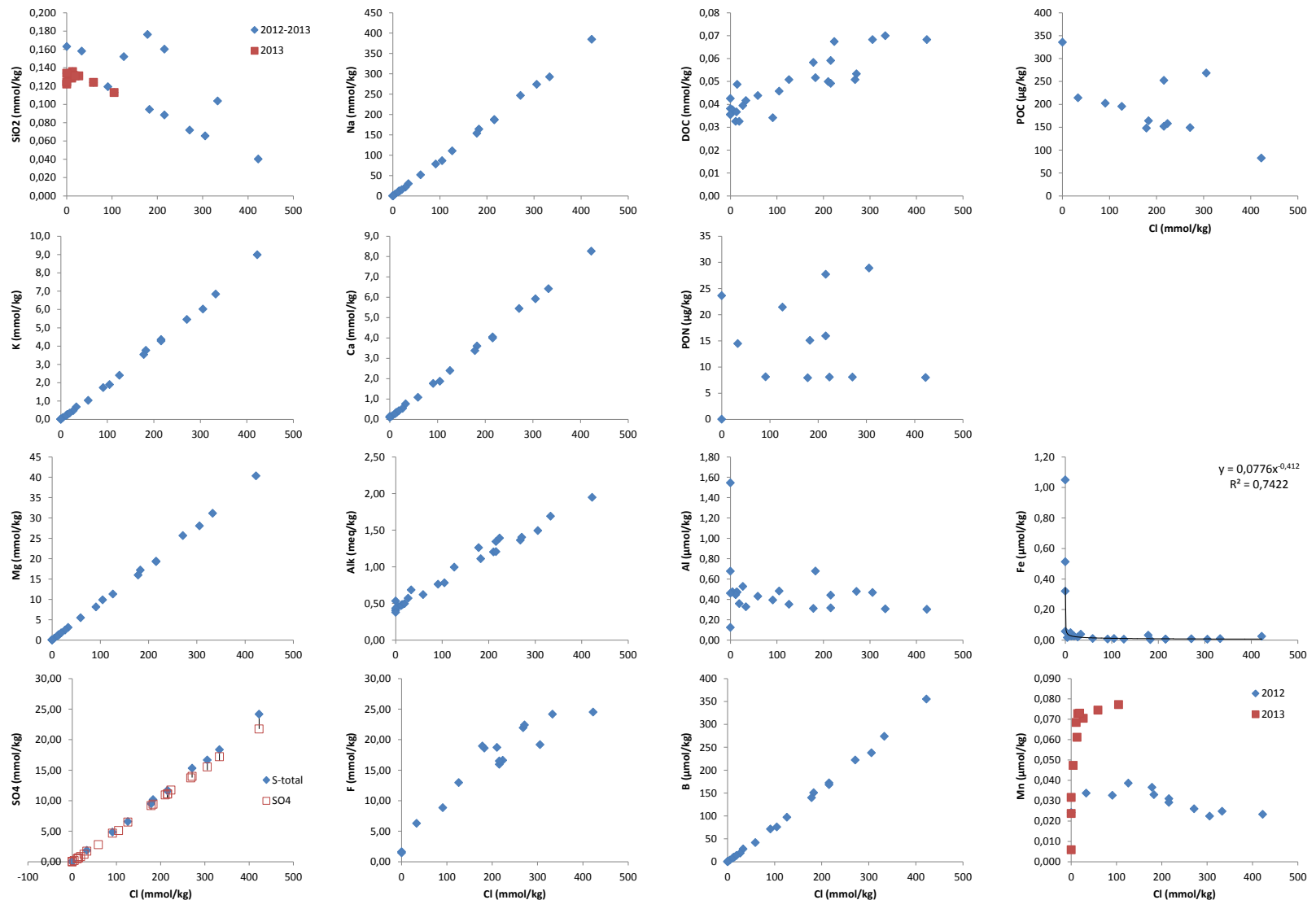
### Straumvötn á Austurlandi



Mynd 40. Styrkur  
snefilefna í svifaur  
sem safnað var í  
Lagarfljóti við  
Lagarfoss á árunum  
2002 – 2013

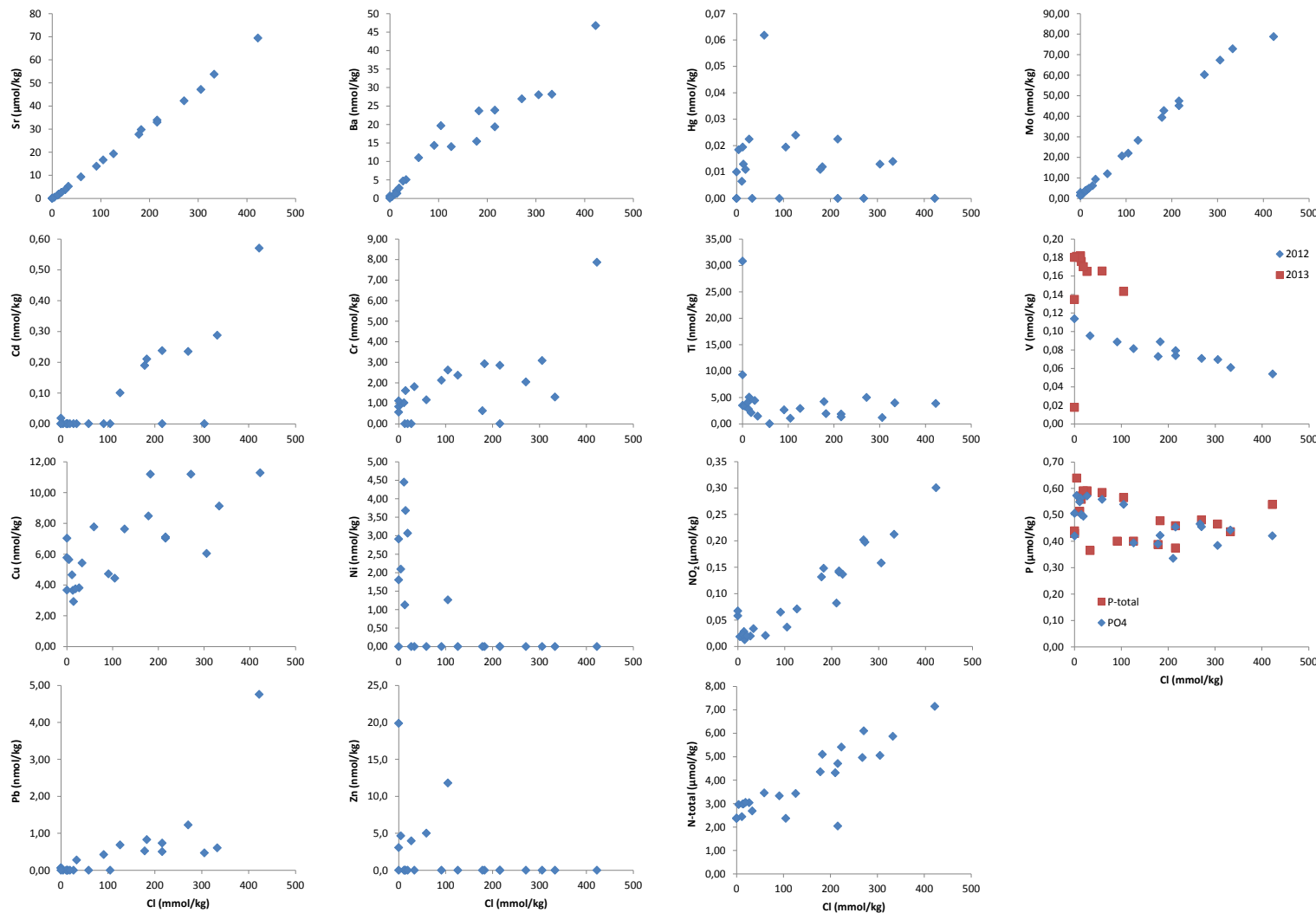


## Héraðsflói



Mynd 41. Niðurstöður mælinga á sýnum úr Héraðsflóa við mismunandi seltu (Cl styrk).

# Héraðsflói



Mynd 42. Niðurstöður mælinga á sýnum úr Héraðsflóa við mismunandi seltu (Cl styrk).

Tafla 14. Næmi efnagreininga á uppleystum eftum og hlutfallsleg skekkja.

Measured element	Detection limit µmol/l	Error proportional error	Std. dev.
Conductivity		± 1.0	
T °C		± 0.1	
pH		± 0.05	
SiO <sub>2</sub> ICP-AES (RH)	1.66	2%	1.8
SiO <sub>2</sub> ICP-AES (SGAB)	1.00	4%	
Na ICP-AES (RH)	0.435	3.3%	2.8
Na ICP-AES (SGAB)	4.35	4%	
K Ion Chromatograph (RH)	1.28	3%	
K ICP-AES (RH)	12.8		
K ICP-AES (SGAB)	10.2	4%	
K AA	1.10	4%	
Ca ICP-AES (RH)	0.025	2.6%	1.6
Ca ICP-AES (SGAB)	2.50	4%	
Mg ICP-AES (RH)	0.206	1.6%	1.6
Mg ICP-AES (SGAB)	3.70	4%	
Alk.		3%	
CO <sub>2</sub>		3%	
SO <sub>4</sub> ICP-AES (RH)	10.4	10%	8.2
SO <sub>4</sub> HPLC	0.520	5%	
SO <sub>4</sub> ICP-AES (SGAB)	1.67	15%	
Cl	28.2	5%	
F	1.05	1.05-1.58 µmol/l ±10% >1.58 µmol/l ±3%	
P ICP-MS (SGAB)	0.032	3%	
P-PO <sub>4</sub>	0.065	0.065-0.484 µmol/l ±1 µmol/l >0.484 µmol/l ±5%	
N-NO <sub>2</sub>	0.040	0.040-0.214 µmol/l ±0.014 µmol/l >0.214 µmol/l ±5%	
N-NO <sub>3</sub>	0.143	0.142-0.714 µmol/l ±0.071 µmol/l >0.714 µmol/l ±10%	
N-NH <sub>4</sub>	0.200	10%	
Al ICP-AES (RH)	0.371	3.8%	3.2
B ICP-AES (SGAB)	0.925		
B ICP-MS (SGAB)	0.037		
Sr ICP-AES (RH)	0.023	15%	
Sr ICP-MS (SGAB)	0.023	4%	
Ti ICP-MS (SGAB)	0.002	4%	
Fe ICP-AES (RH)	0.358	12%	15
Fe ICP-AES (SAGB)	0.143	10%	
Mn ICP-AES (RH)	0.109	26%	24
nmol/l			
Mn ICP-MS (SGAB)	0.546	8%	
Al ICP-MS (SGAB)	7.412	12%	
As ICP-MS (SGAB)	a.m.k 0.667 (a)	9%	
Cr ICP-MS (SGAB)	0.192	9%	
Ba ICP-MS (SGAB)	0.073	6%	
Fe ICP-MS (SAGB)	7.162	4%	
Co ICP-MS (SGAB)	0.058	8%	
Ni ICP-MS (SGAB)	0.852	8%	
Cu ICP-MS (SGAB)	1.574	8%	
Zn ICP-MS (SGAB)	3.059	12%	
Mo ICP-MS (SGAB)	0.521	12%	
Cd ICP-MS (SGAB)	0.018	9%	
Hg ICP-AF (SGAB)	0.010	4%	
Pb ICP-MS (SGAB)	0.048	8%	
V ICP-MS (SGAB)	0.098	5%	
Th ICP-MS (SGAB)	0.039		
U ICP-MS (SGAB)	0.002	12%	
Sn ICP-MS (SGAB)	0.421	10%	
Sb ICP-MS (SGAB)	0.082	15%	

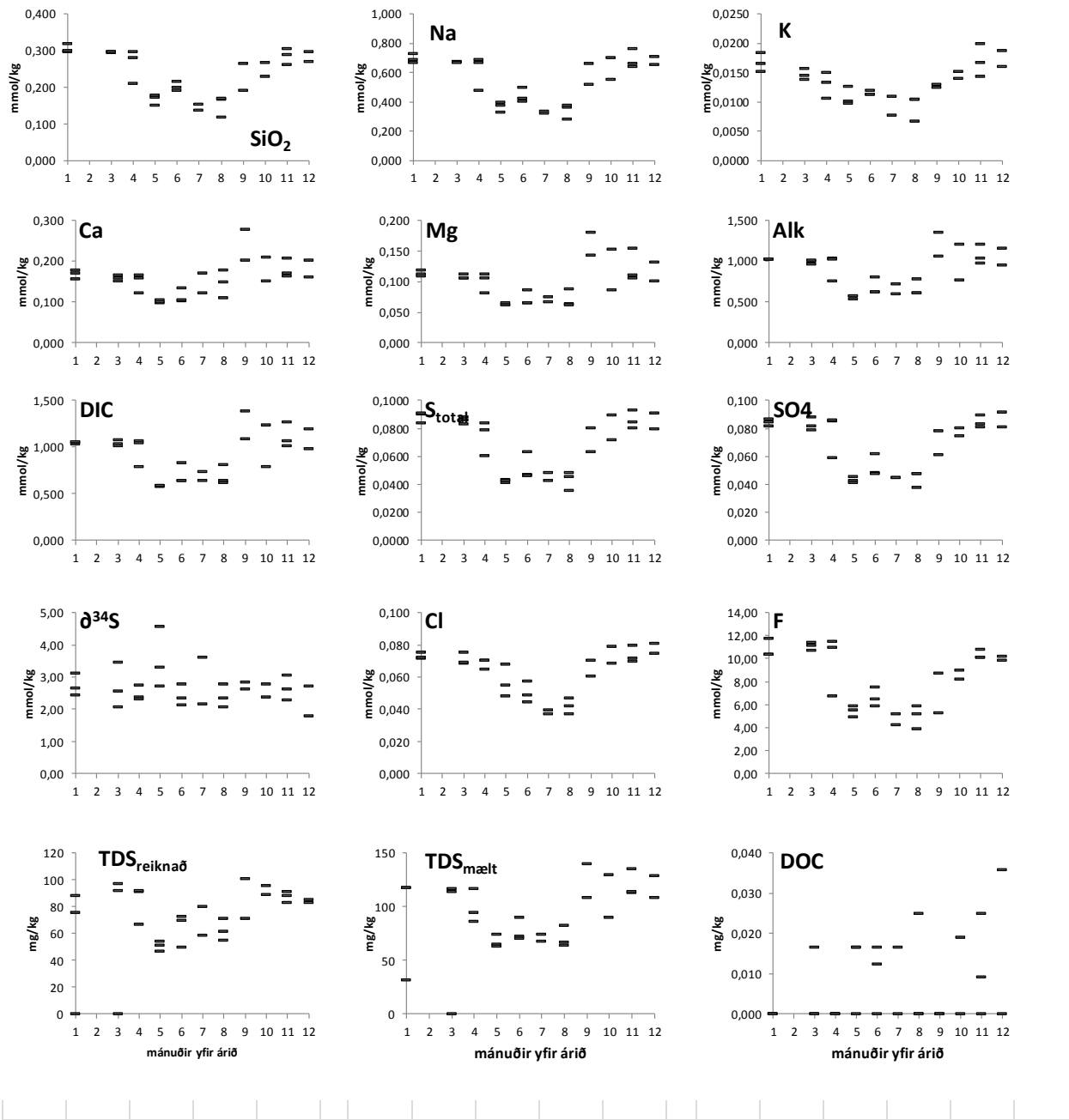
(a) Klóríð hefur áhrif á efnagreiningu arsens og getur hækkað greiningarmörk.

## Viðauki

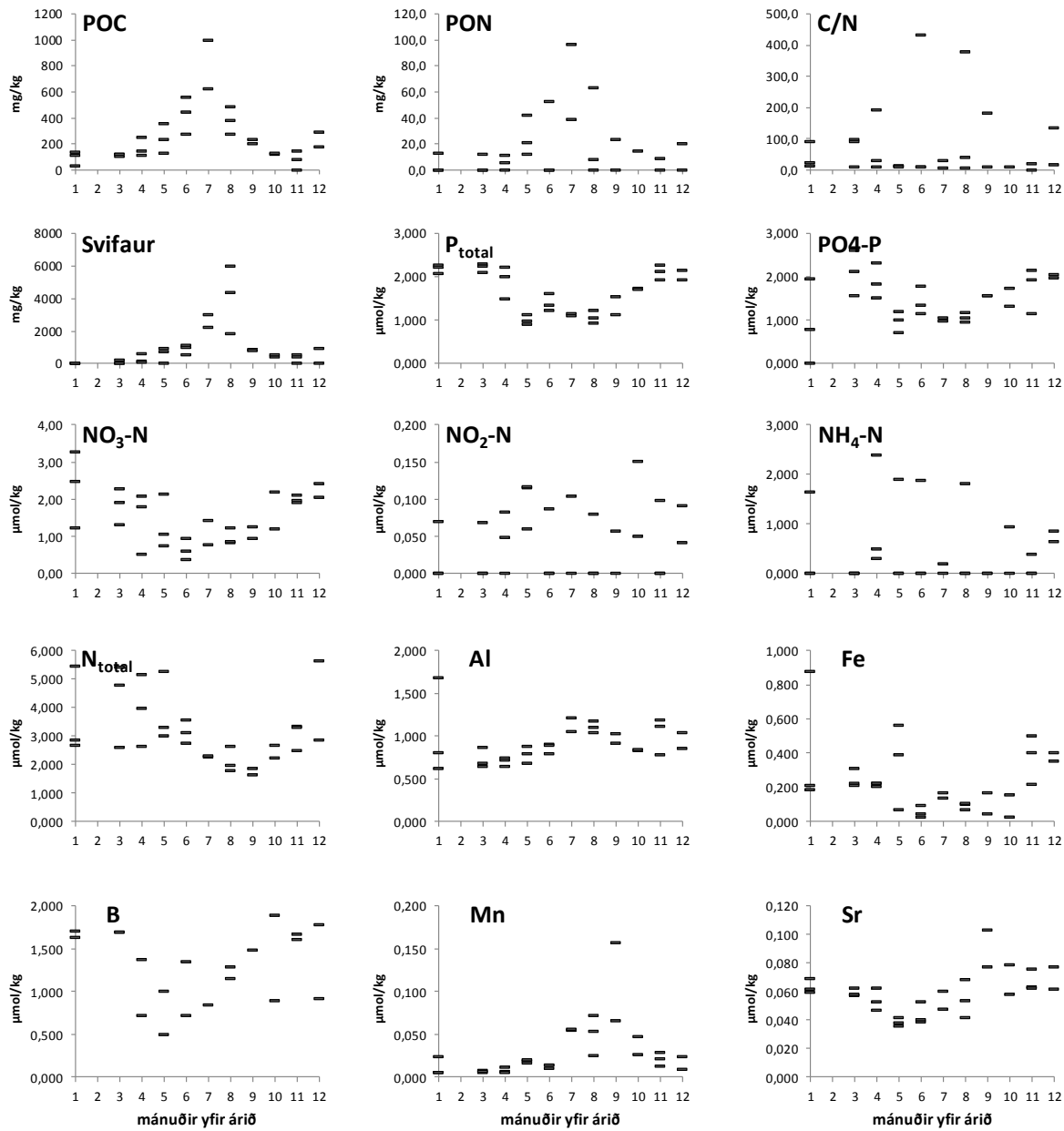
### **Árstíðabundinn styrkur eftir mánuðum í:**

1. Jökulsá á Fjöllum við Grímsstaði 1998-2000
2. Jökulsá á Dal við Brú 2000 - 2003
3. Jökulsá á Dal við Hjarðarhaga 1998 – 2003 og 2007- 2012
4. Jökulsá í Fljótsdal við Hól 1998 – 2003 og 2007 - 2011
5. Útfallsskurður við Fljótsdalsstöð 2007 - 2012
6. Fellsá við Sturluflöt 1998 – 2003 og 2007 - 2012
7. Grímsá neðan Grímsárvirkjunar 1998 - 2003
8. Lagarfljót við Lagarfoss 1998 – 2003 og 2007 - 2012
9. Fjarðará við Fjarðarselsvirkjun 1998 - 2000

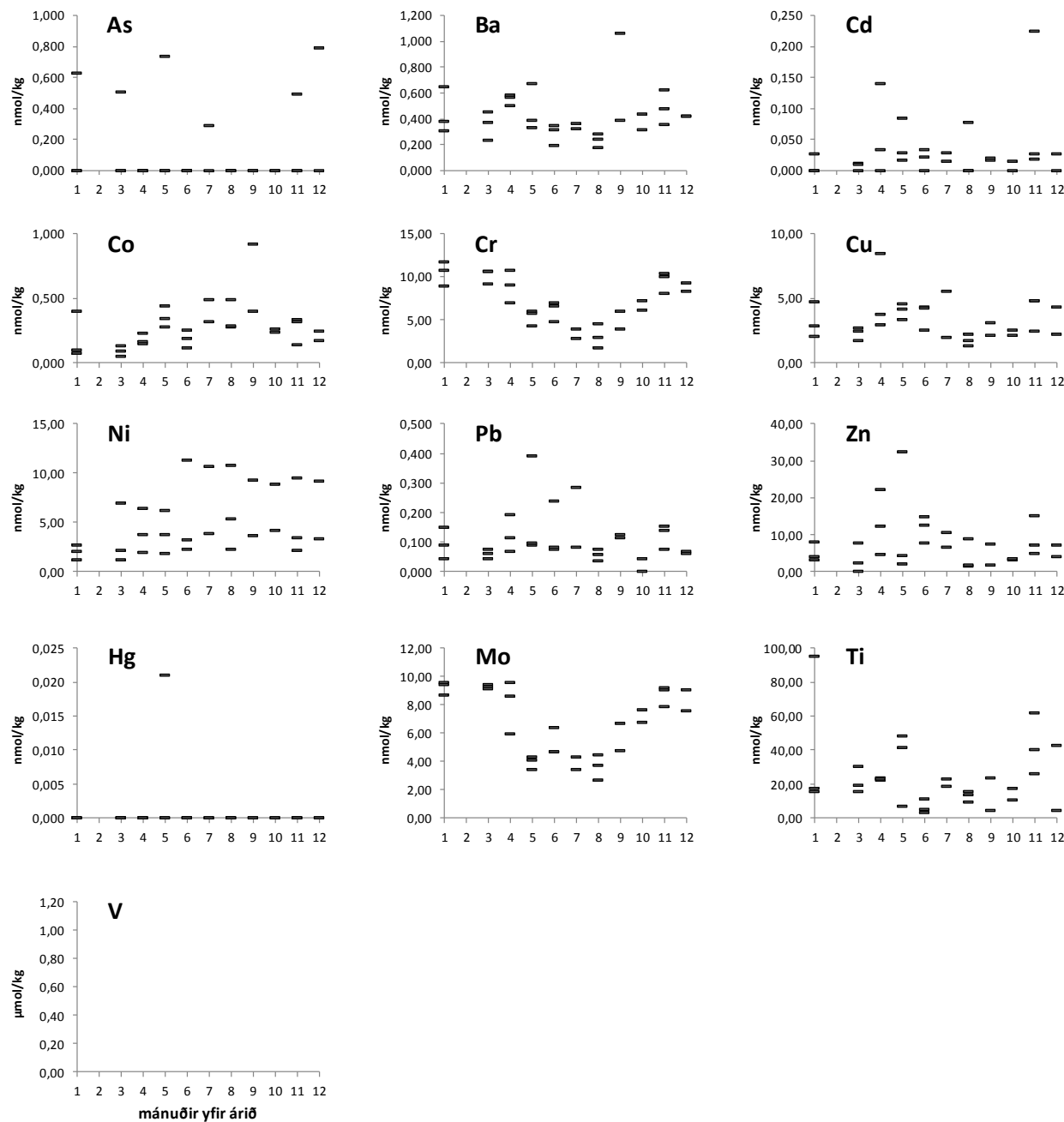
## Jökulsá á Fjöllum við Grímsstaði 1998 - 2001

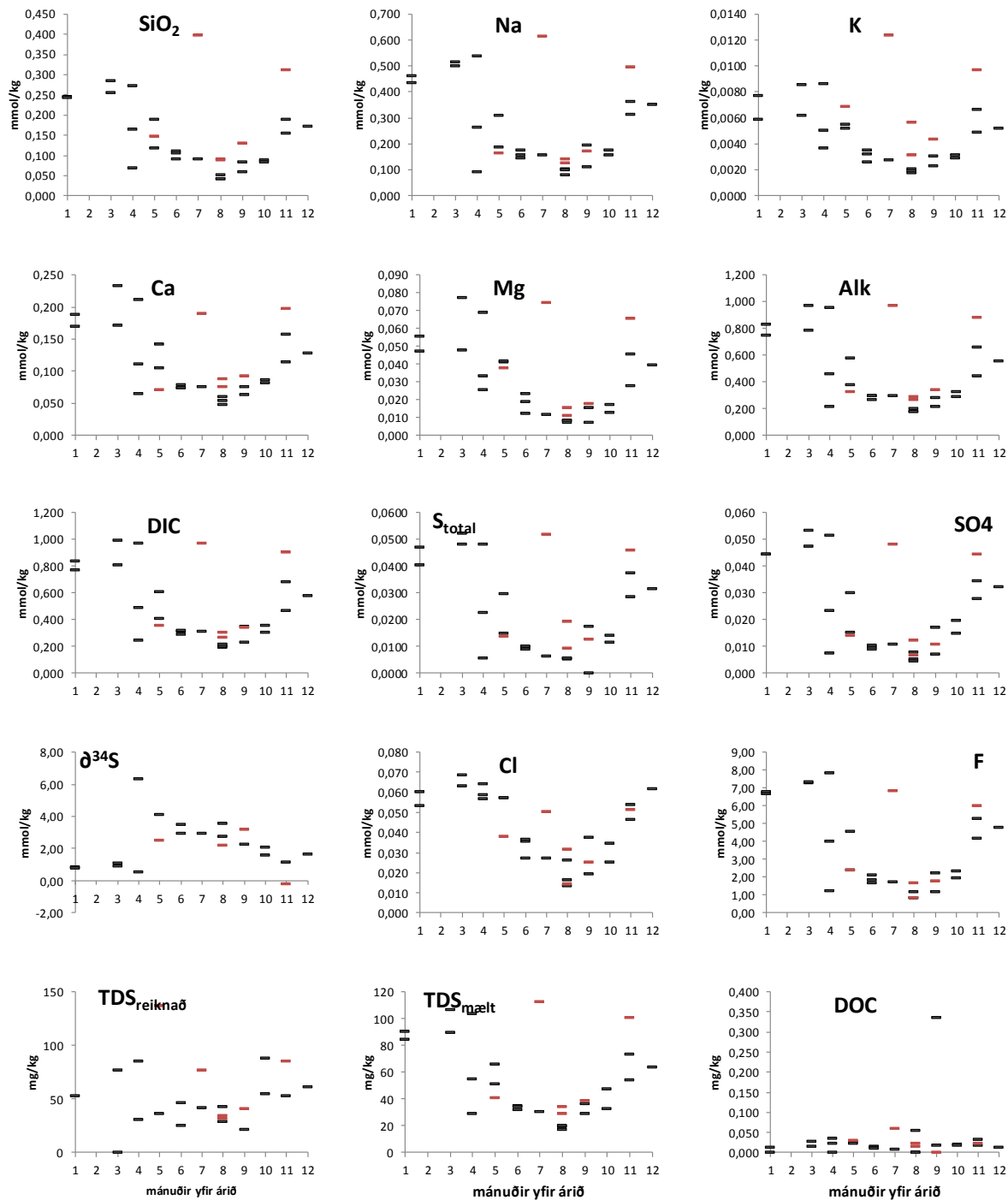


## Jökulsá á Fjöllum við Grímsstaði 1998 - 2001

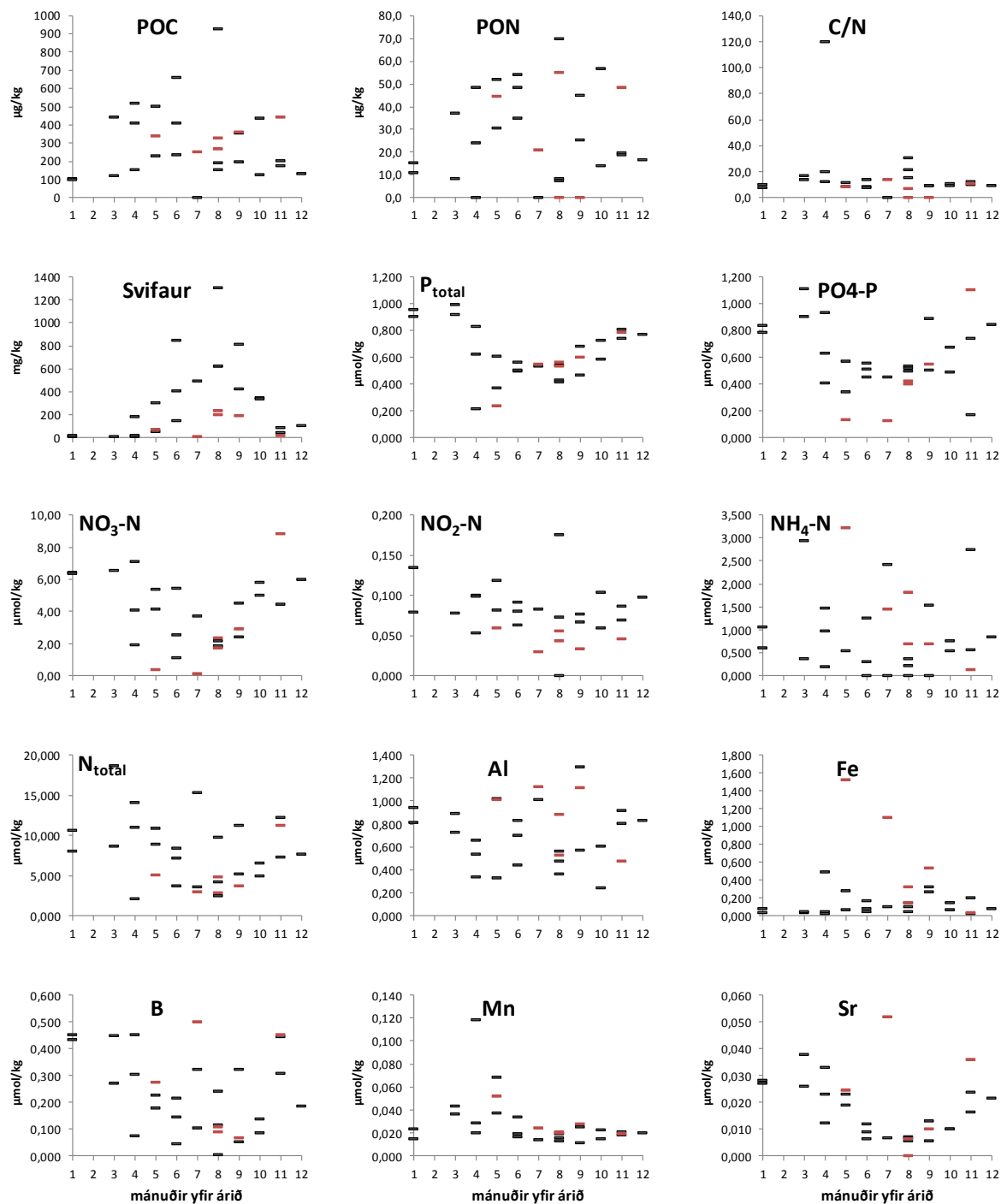


## Jökulsá á Fjöllum við Grímsstaði 1998 - 2001



**Jökulsá á Dal við Brú****2000 – 2003 svart****2007 – 2010 rauðt**

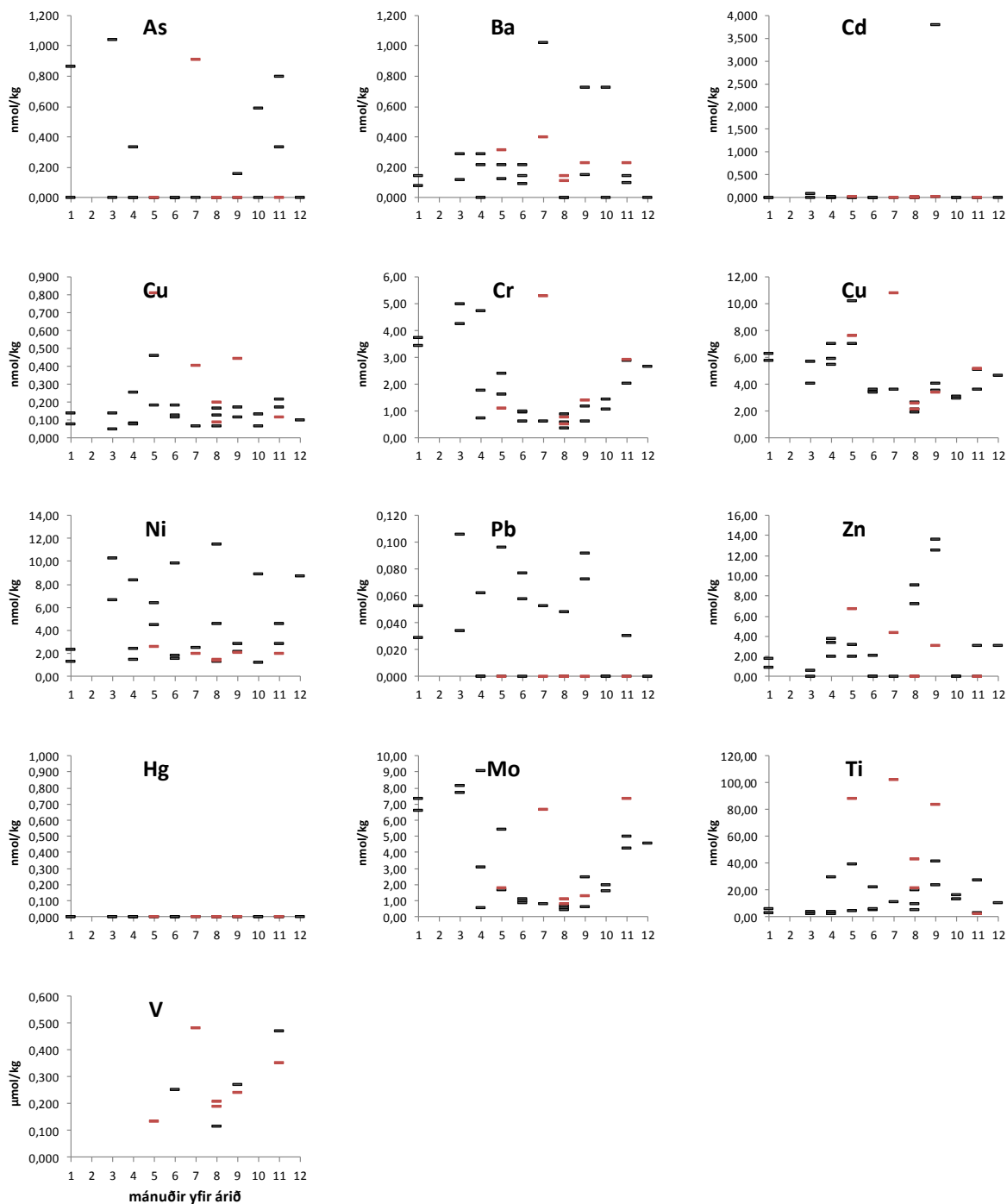
**Jökulsá á Dal við Brú**  
**2000 – 2003 svart**  
**2007 – 2010 rauðt**



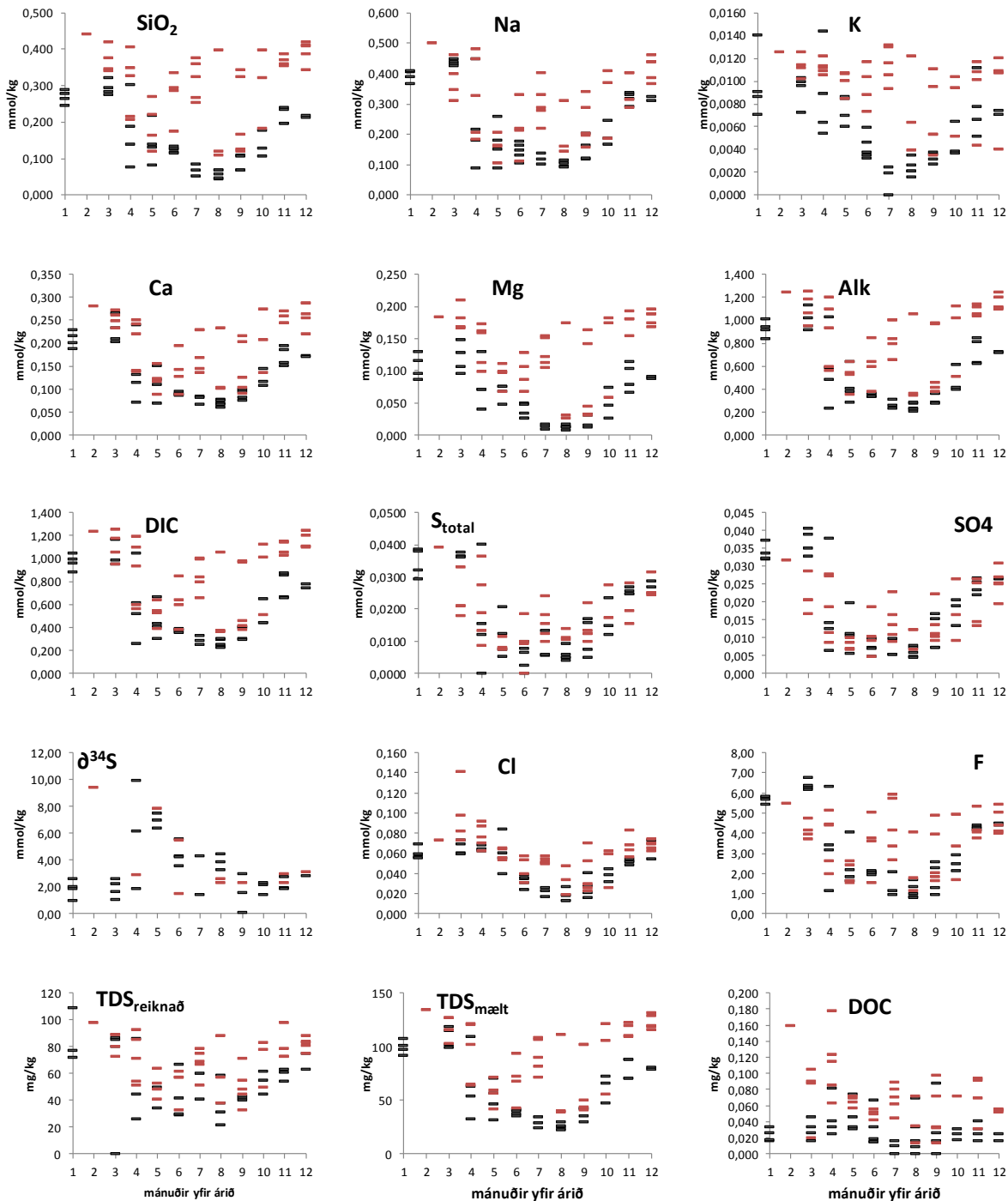
### Jökulsá á Dal við Brú

2000 – 2003 svart

2007 – 2010 rauðt



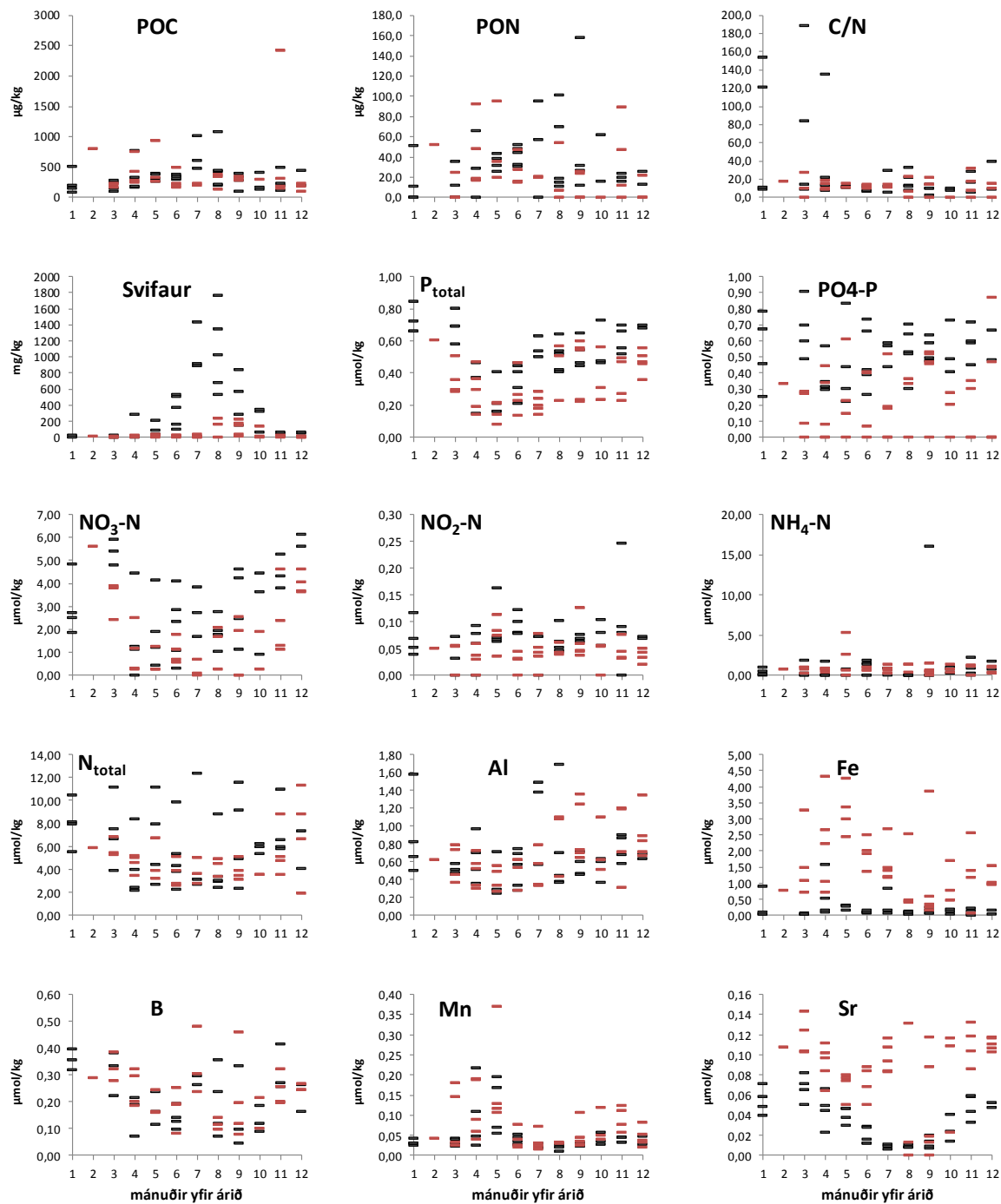
**Jökulsá á Dal við Hjarðarhaga**  
**1998- 2003 svart**  
**2007 – 2013 rauðt**



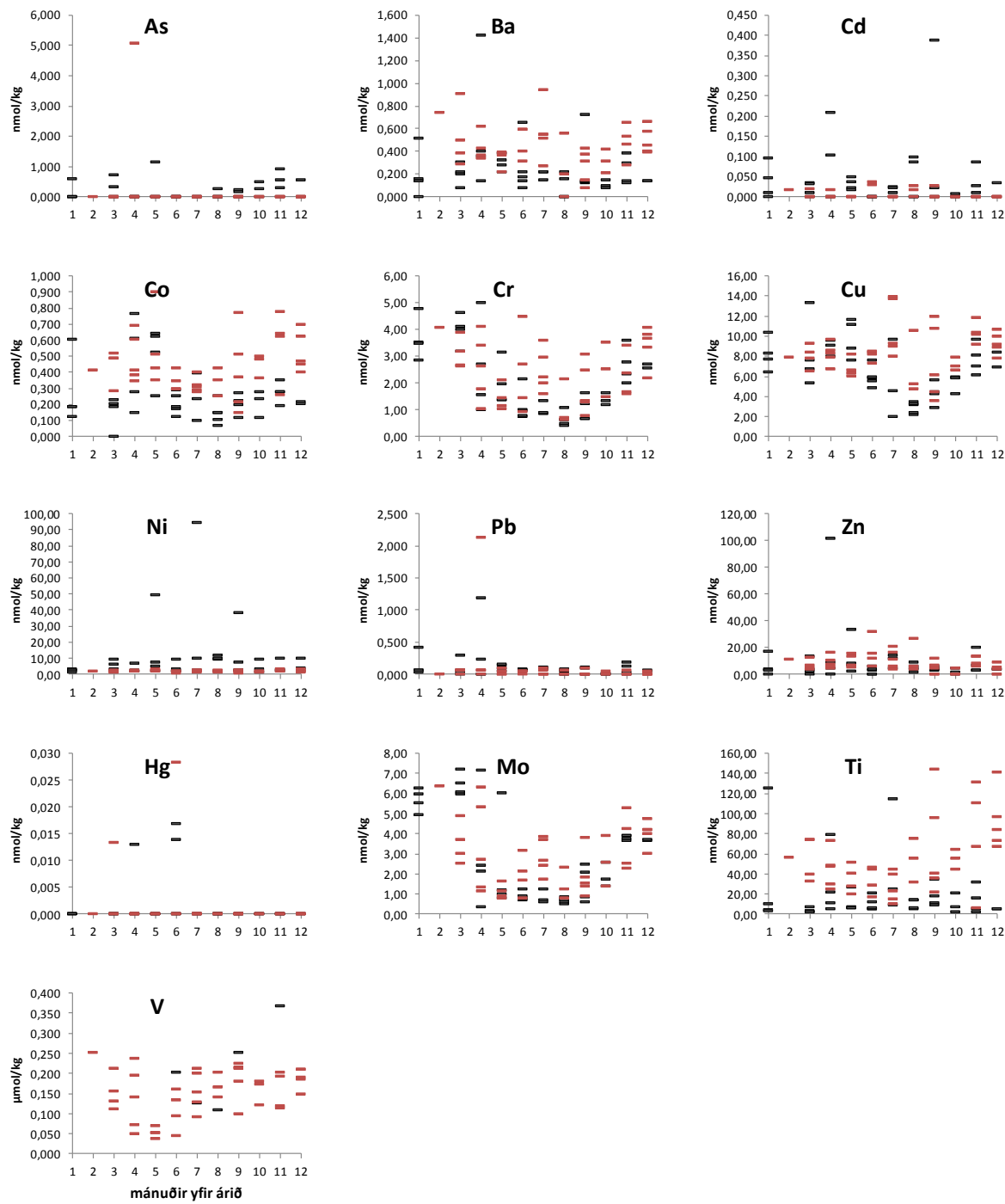
## Jökulsá á Dal við Hjarðarhaga

1998- 2003 svart

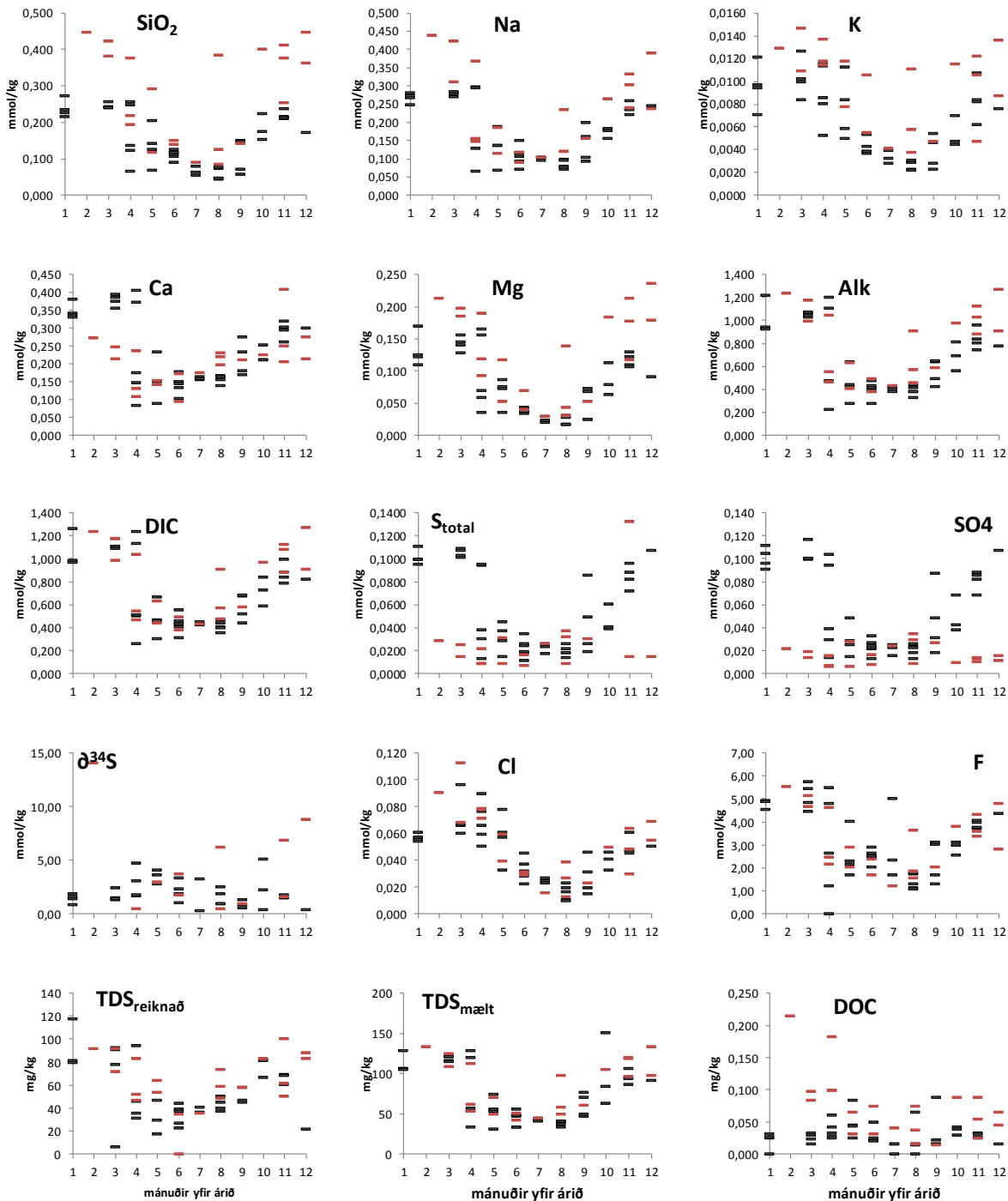
2007 – 2013 rauðt



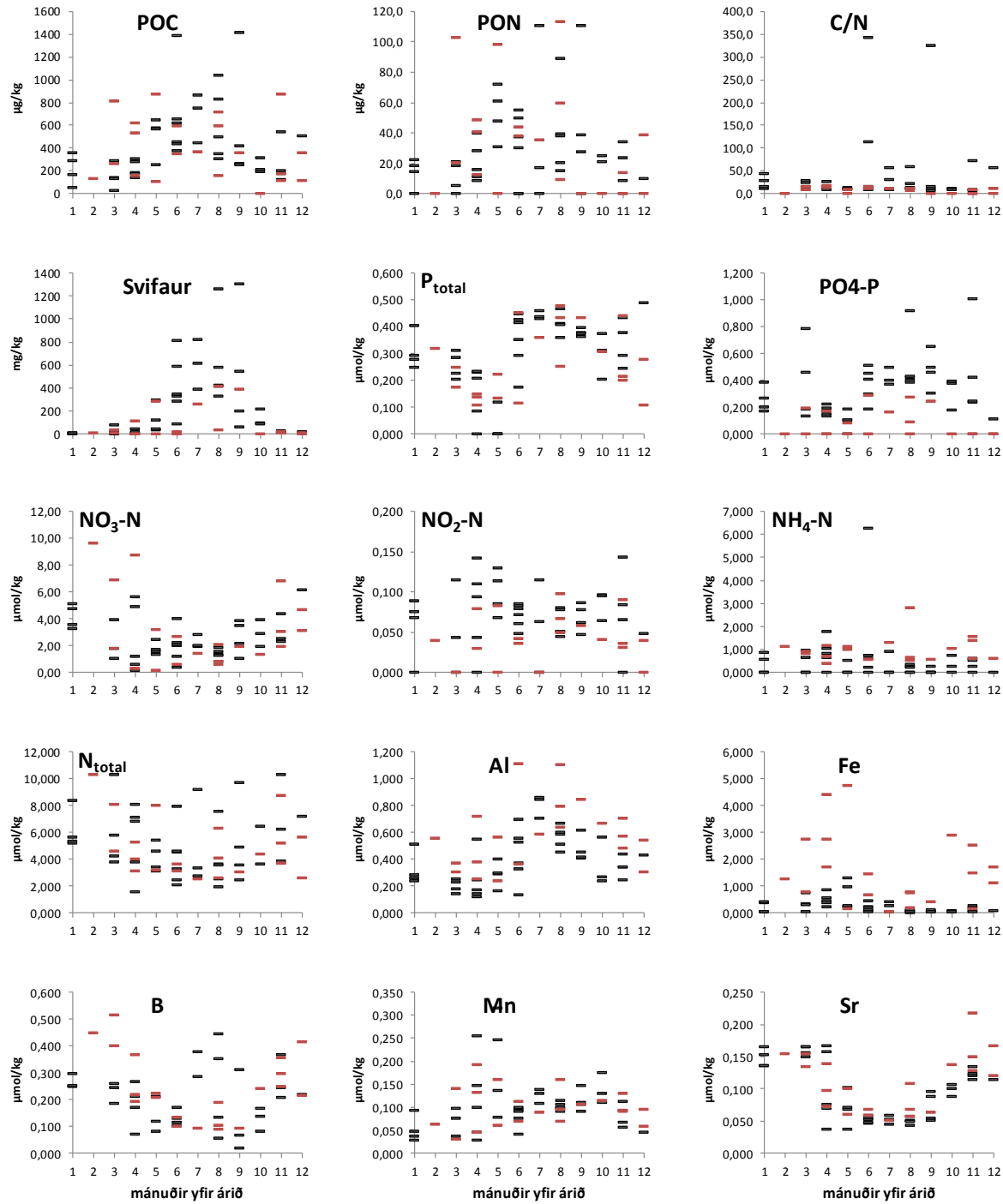
**Jökulsá á Dal við Hjarðarhaga**  
**1998- 2003 svart**  
**2007 – 2013 rauðt**



**Jökulsá í Fljótsdal við Hól**  
**1998- 2003 svart**  
**2007 – 2011 rauðt**



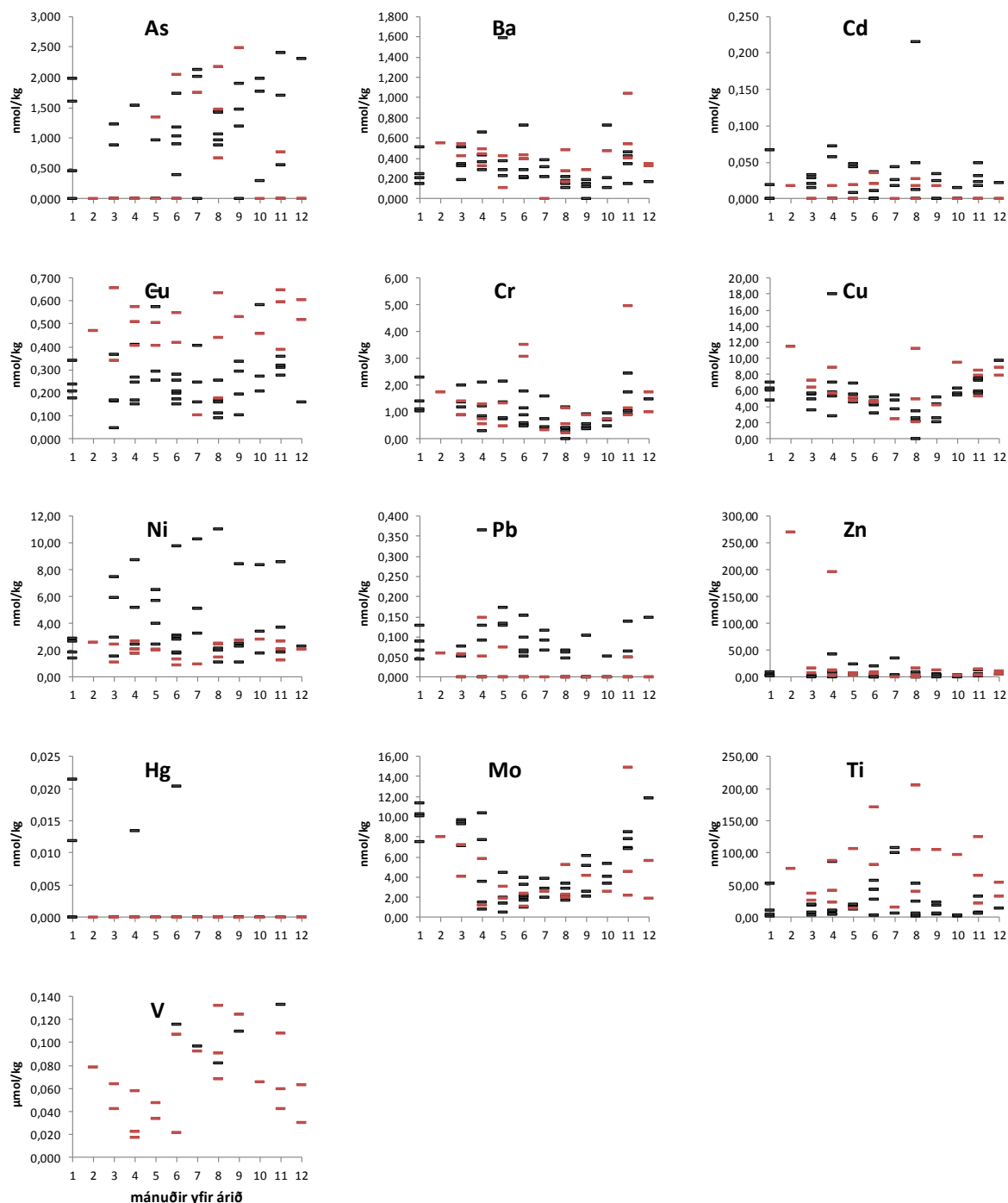
**Jökulsá í Fljótsdal við Hól**  
**1998- 2003 svart**  
**2007 – 2011 rauðt**



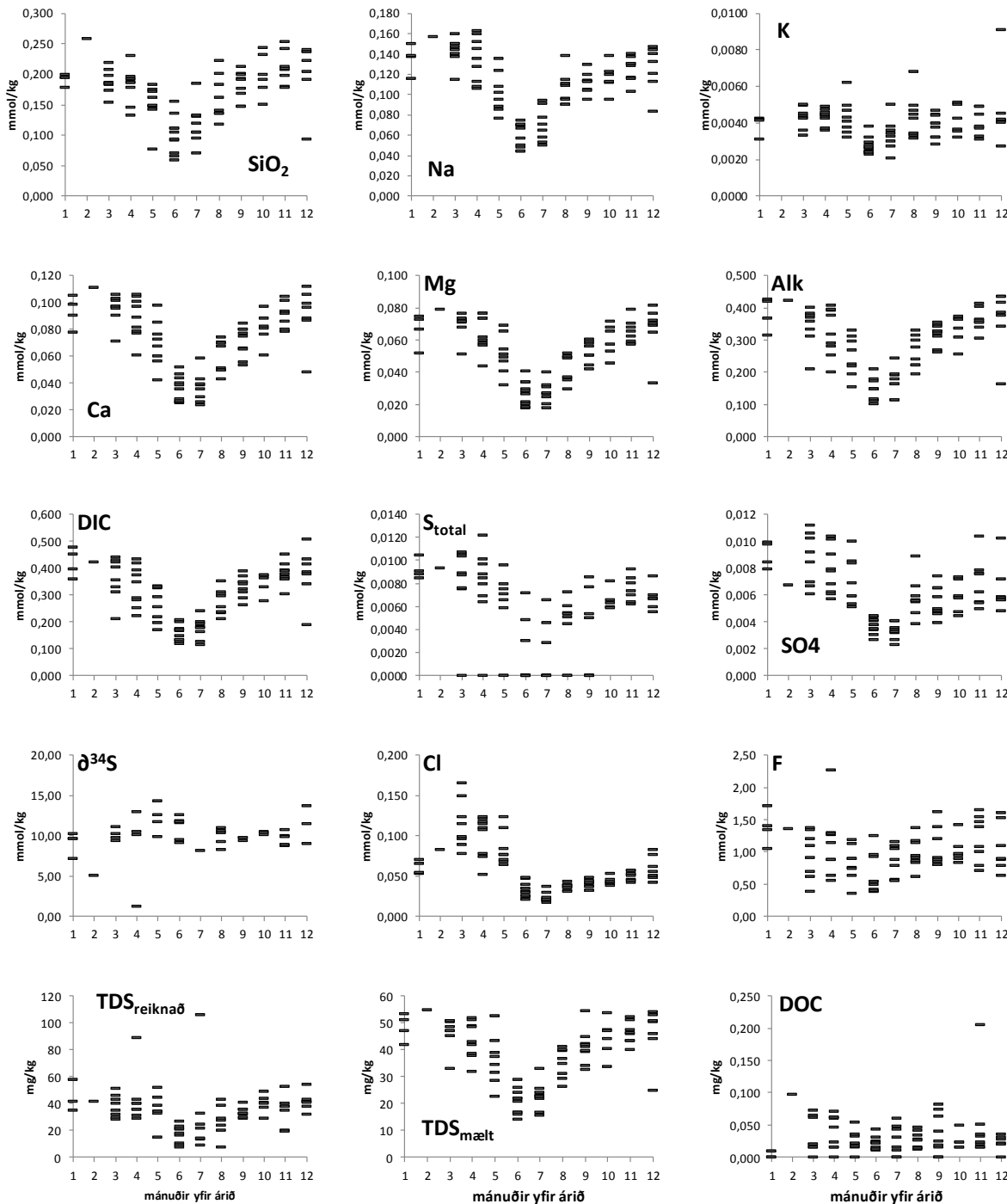
## Jökulsá í Fljótsdal við Hól

1998- 2003 svart

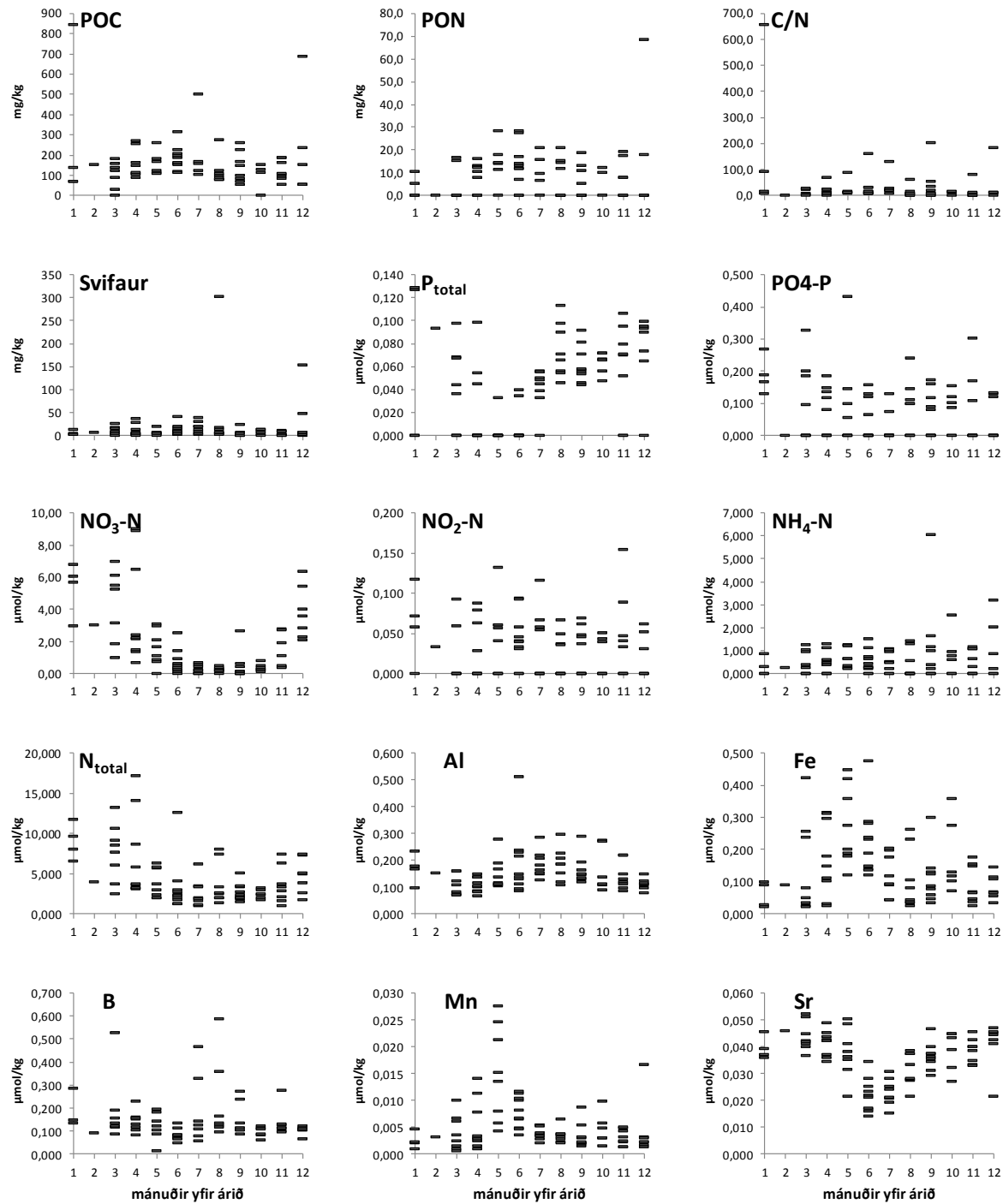
2007 – 2011 rauitt



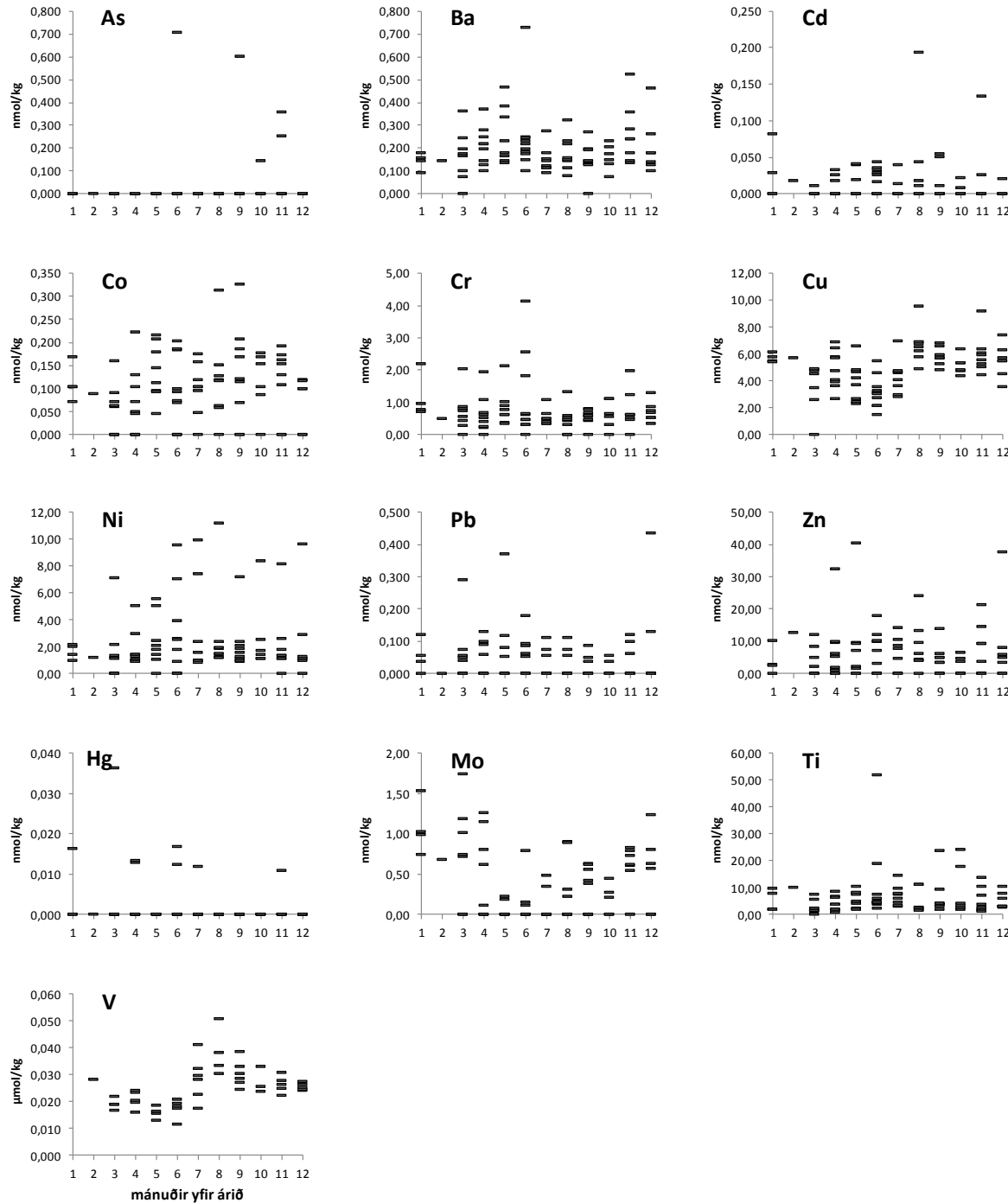
## Fellsá við Sturluflöt 1998- 2003 og 2007 – 2013



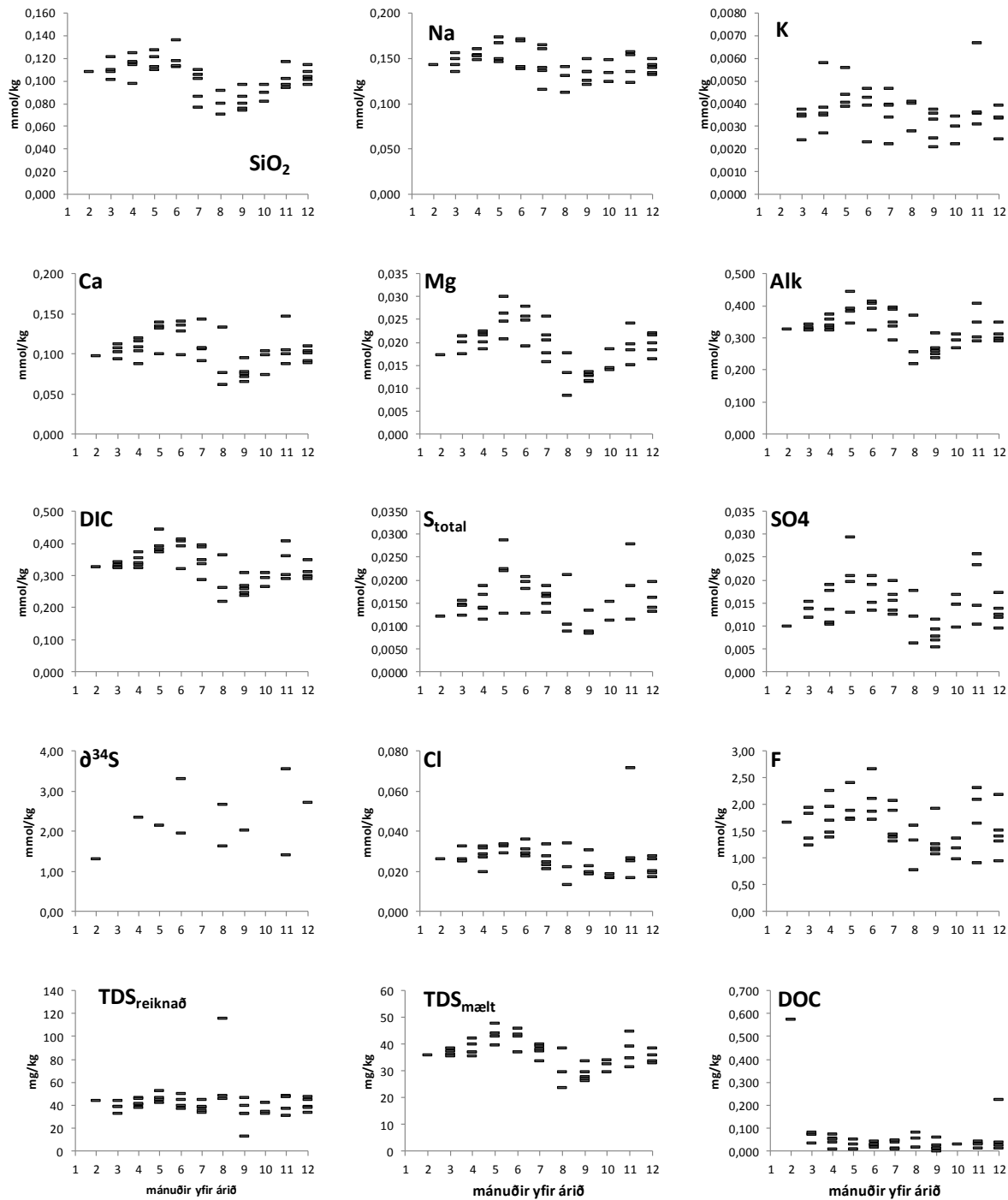
## Fellsá við Sturluflöt 1998- 2003 og 2007 – 2013



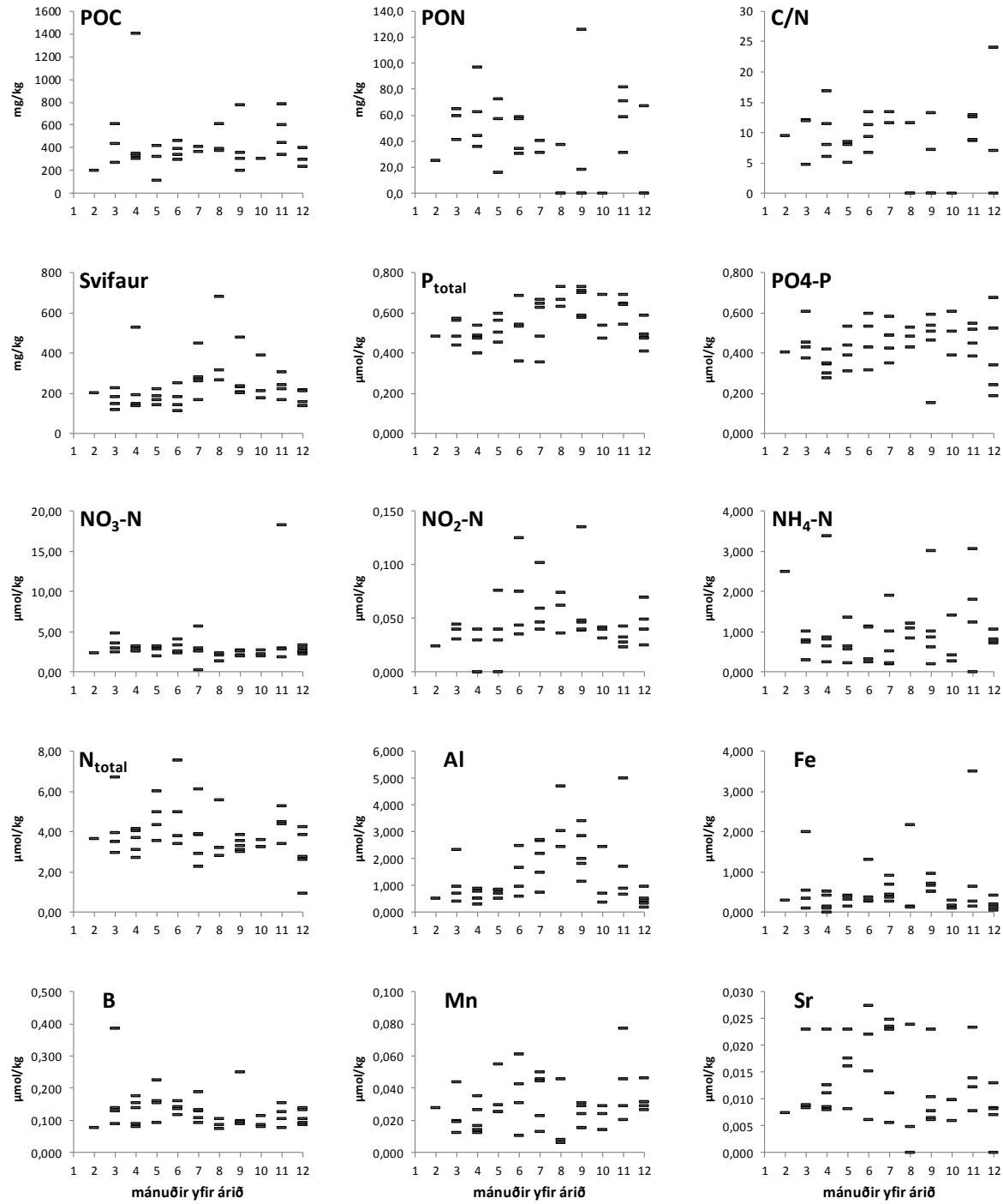
**Fellsá við Sturluflöt**  
**1998- 2003 og 2007 – 2013**



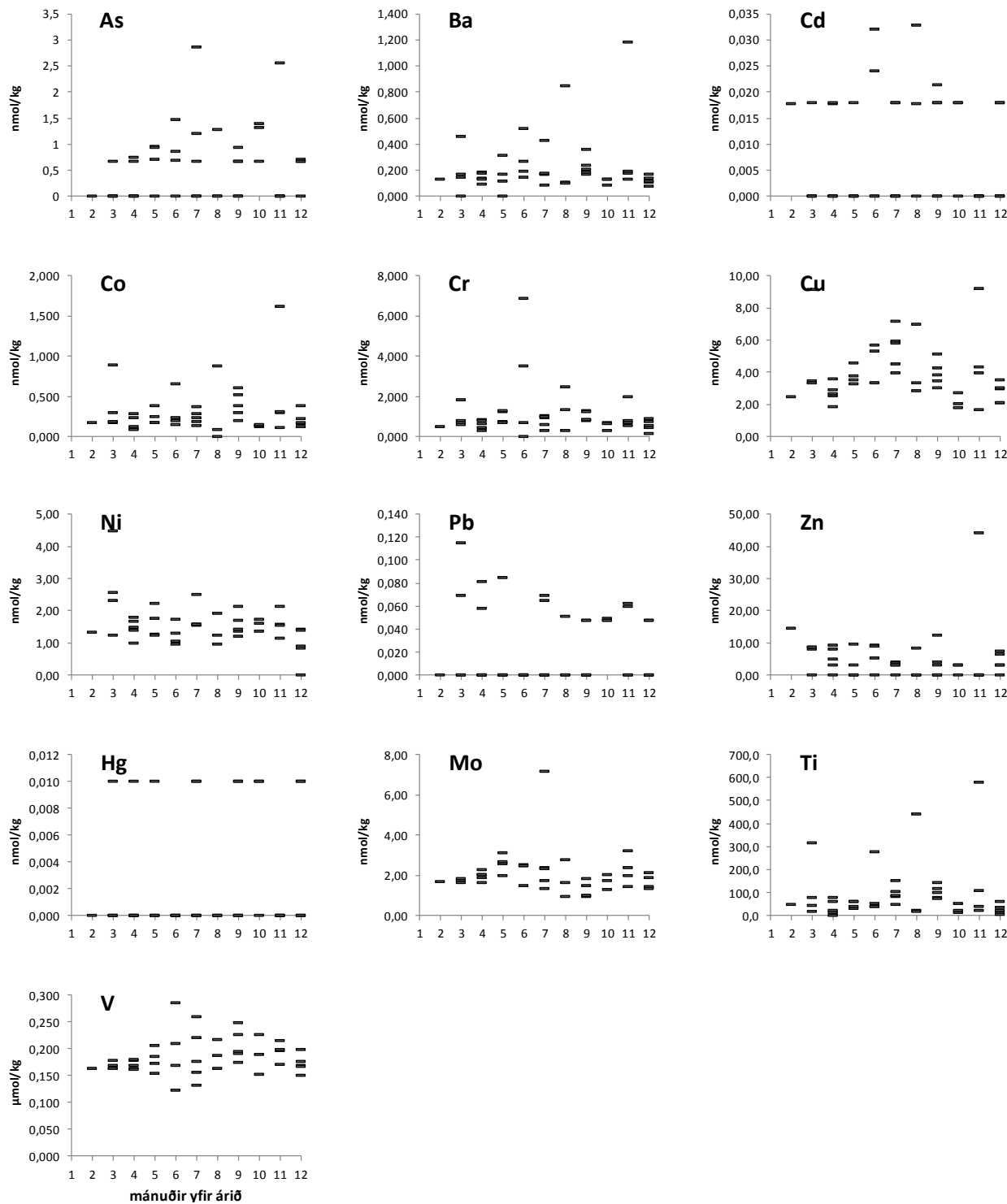
## Útfall úr Kárahnjúkavirkjun, 2007 – 2013



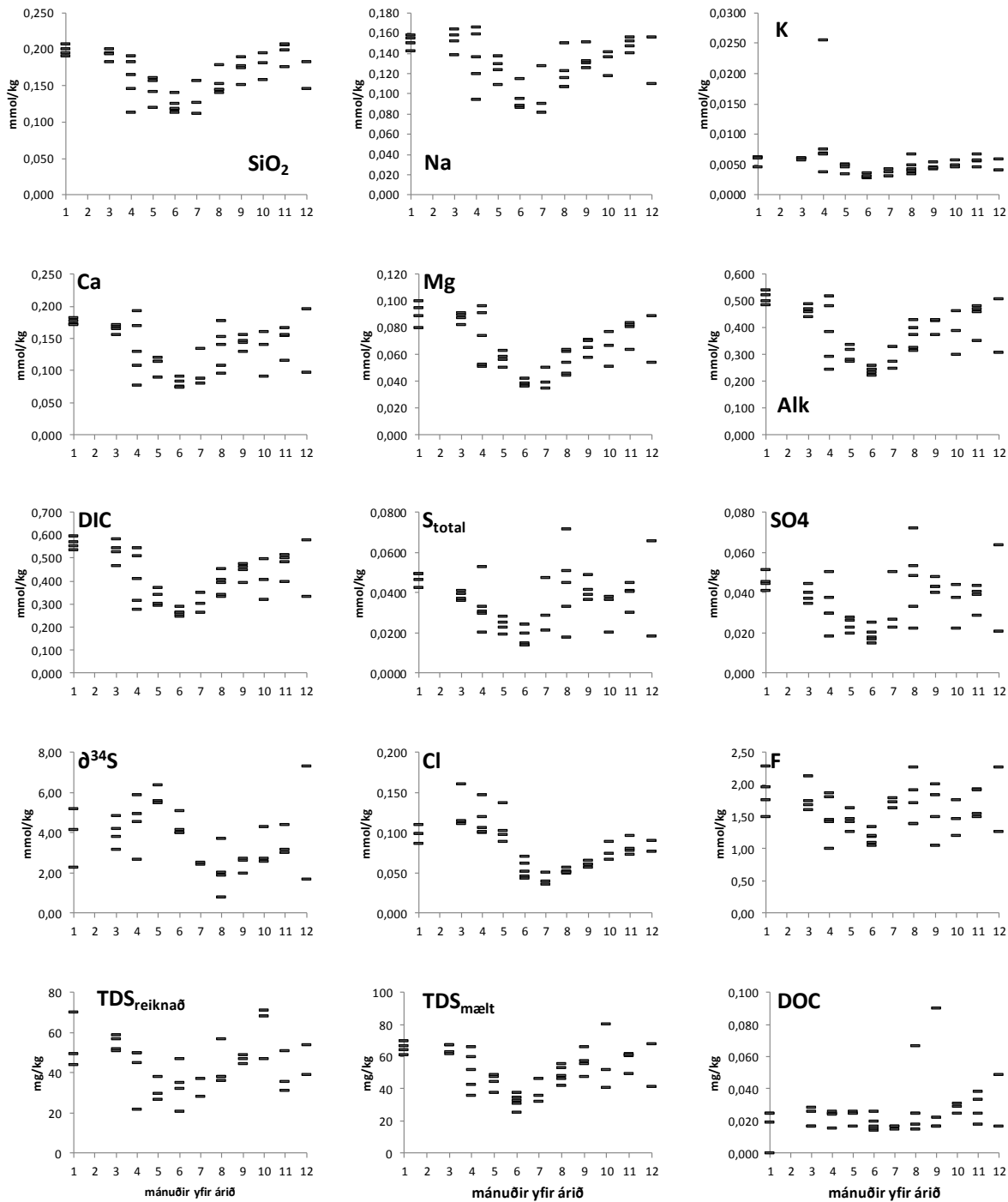
## Útfall úr Kárahnjúkavirkjun, 2007 – 2013



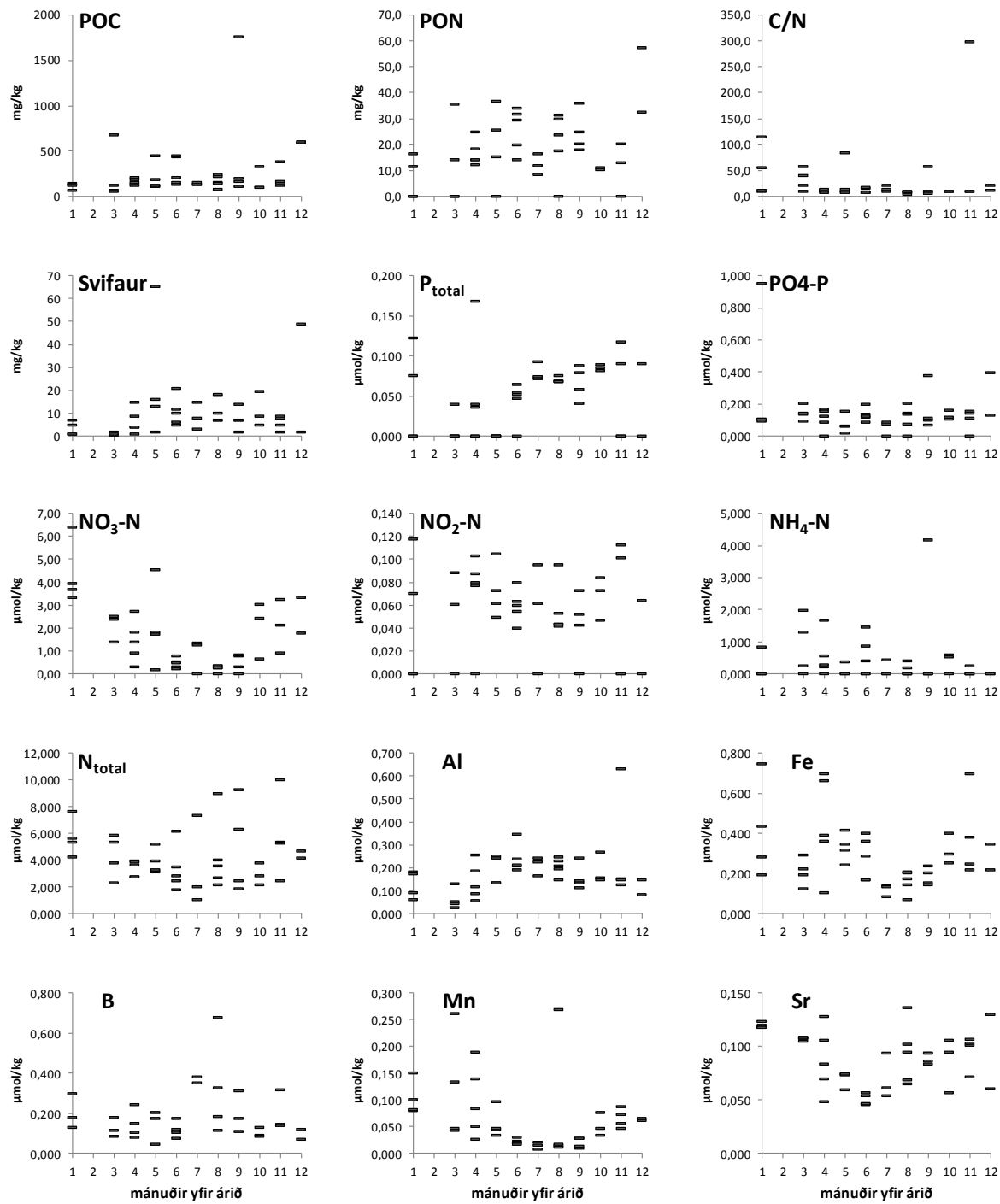
## Útfall úr Kárahnjúkavirkjun, 2007 – 2013



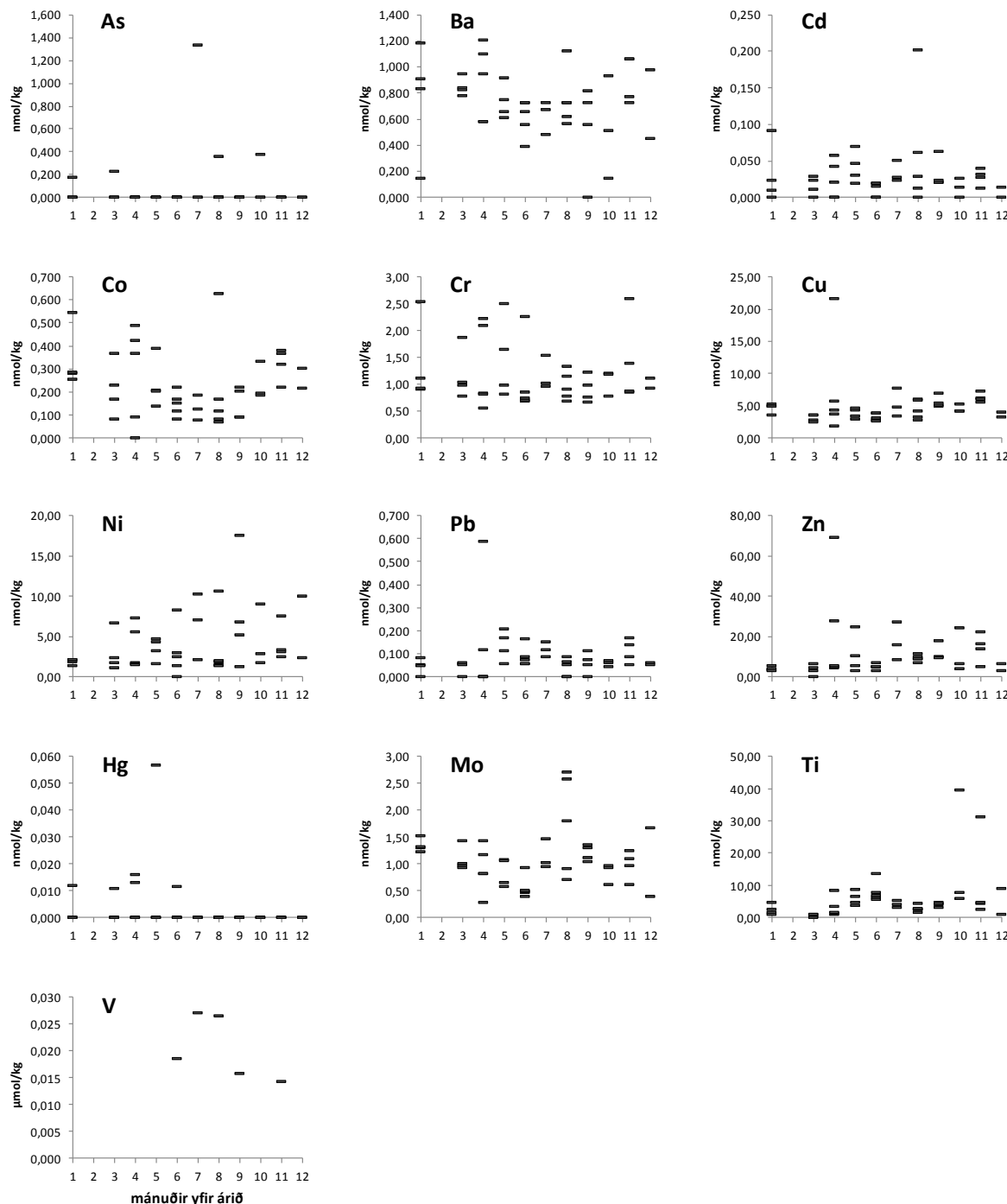
## Grímsá neðan Grímsárvirkjunar, 1998 – 2003



## Grímsá neðan Grímsárvirkjunar, 1998 – 2003



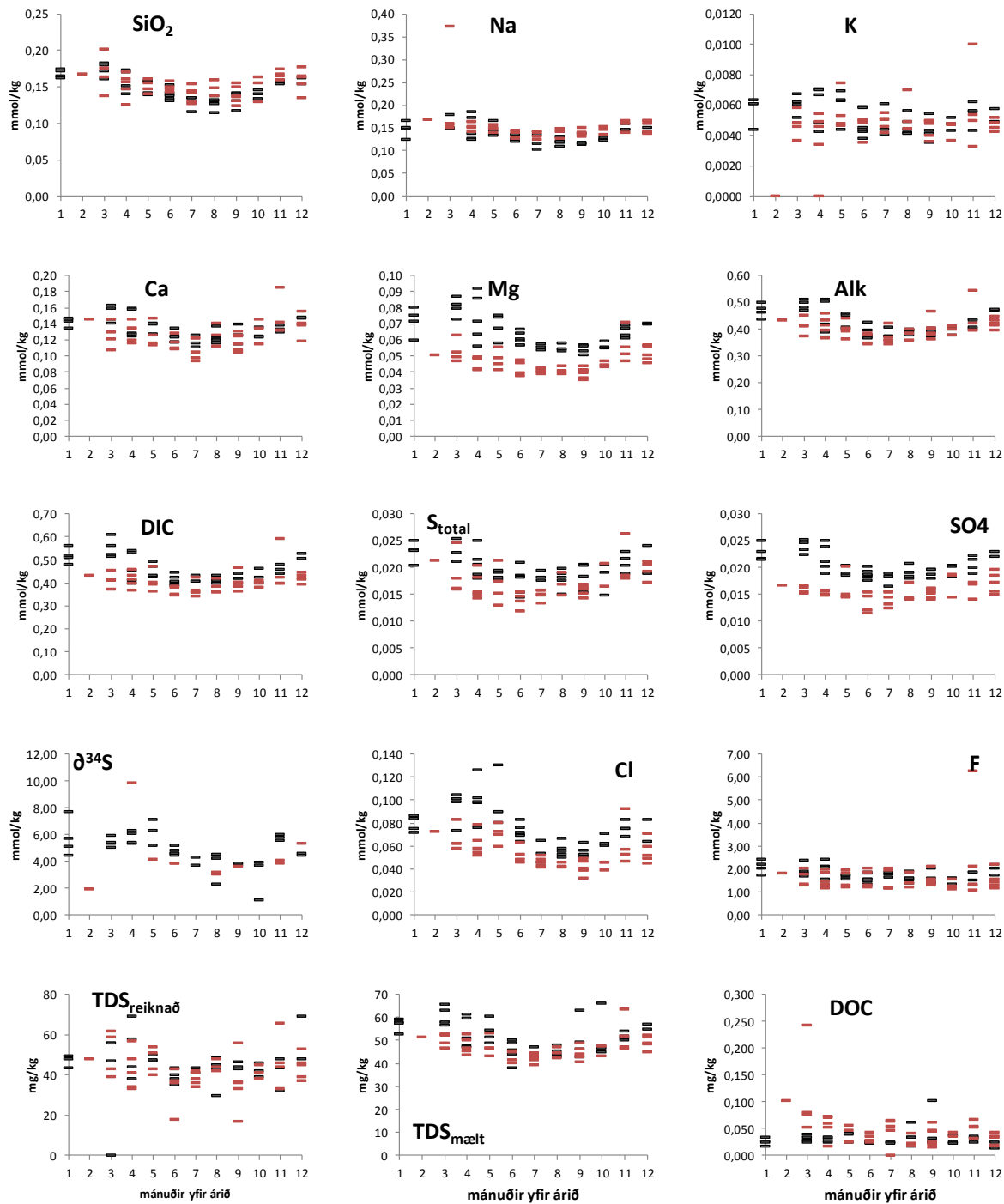
## Grímsá neðan Grímsárvirkjunar, 1998 – 2003



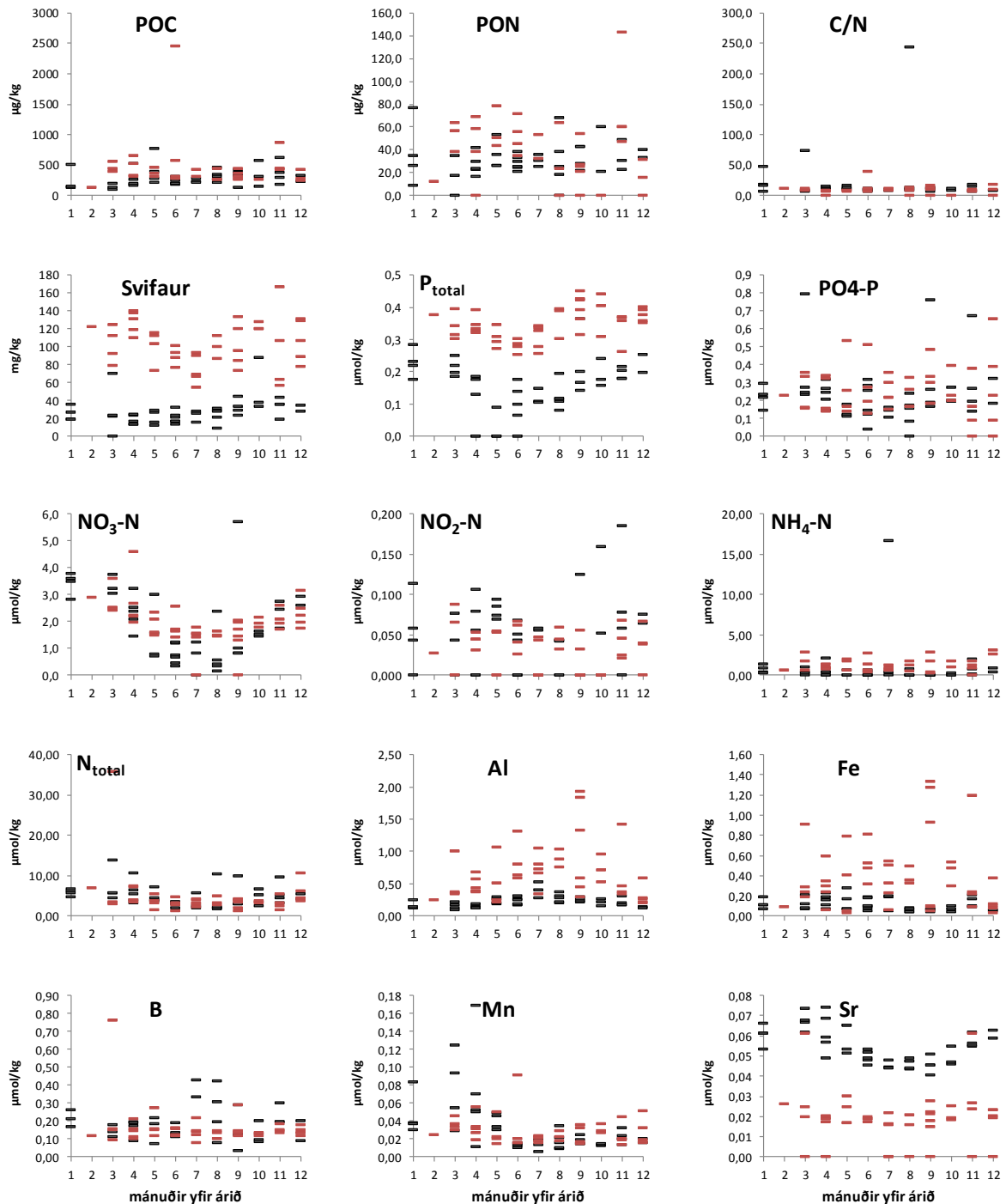
## Lagarfljót við Lagarfoss

1998 – 2003 svart

2007 – 2012 rauðt



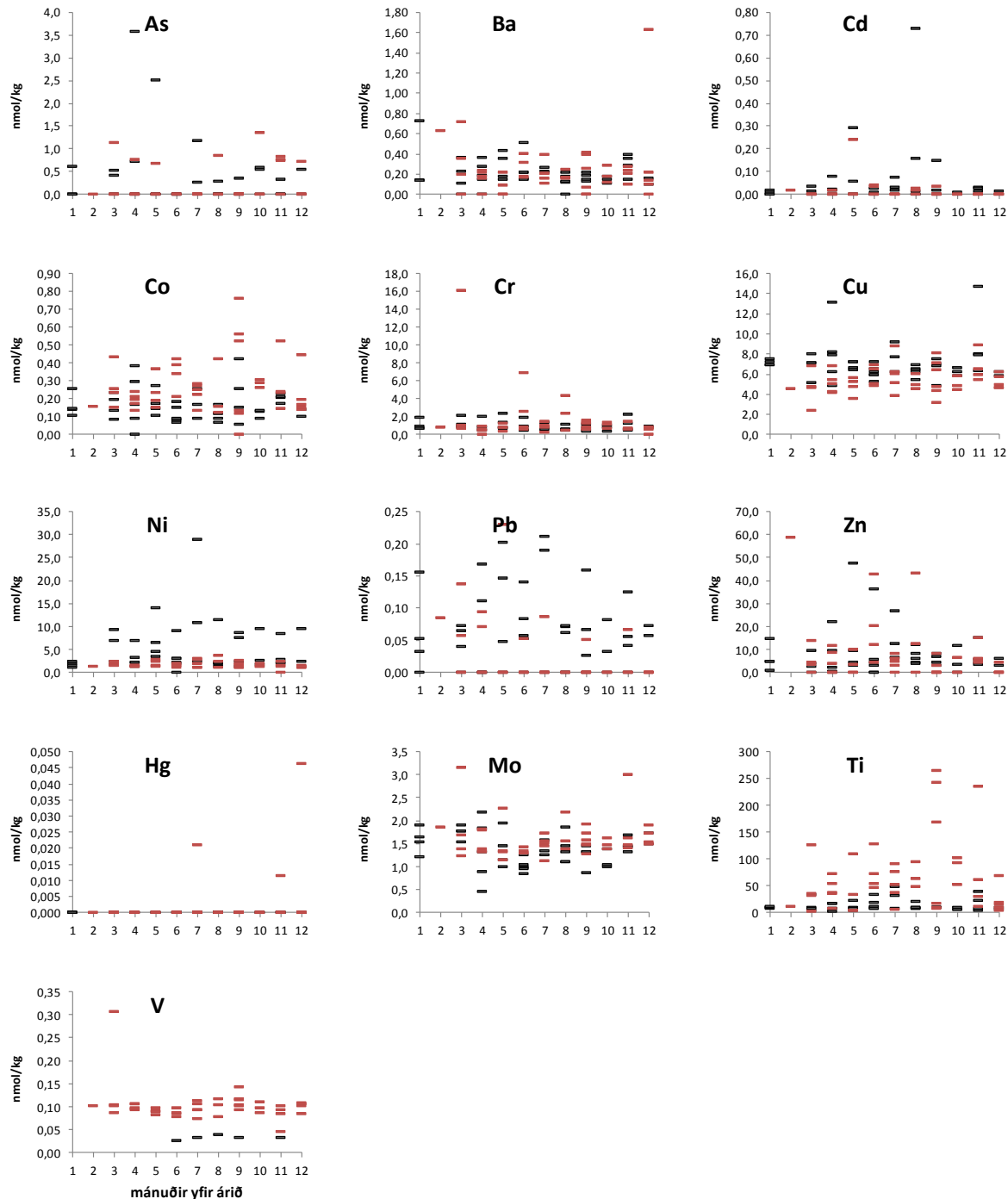
## Lagarfljót við Lagarfoss 1998 – 2003 svart 2007 – 2012 rauðt



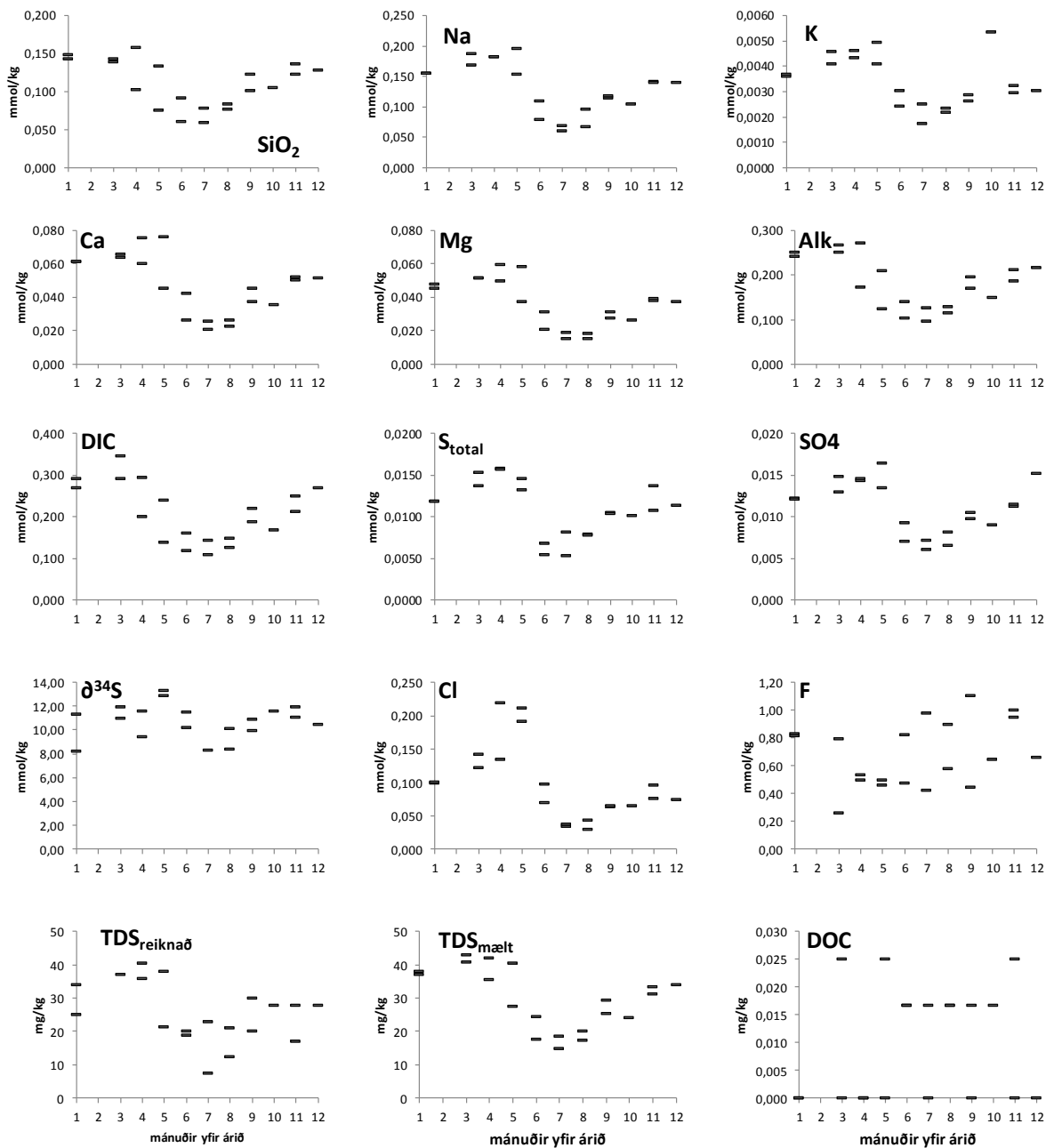
## Lagarfljót við Lagarfoss

1998 – 2003 svart

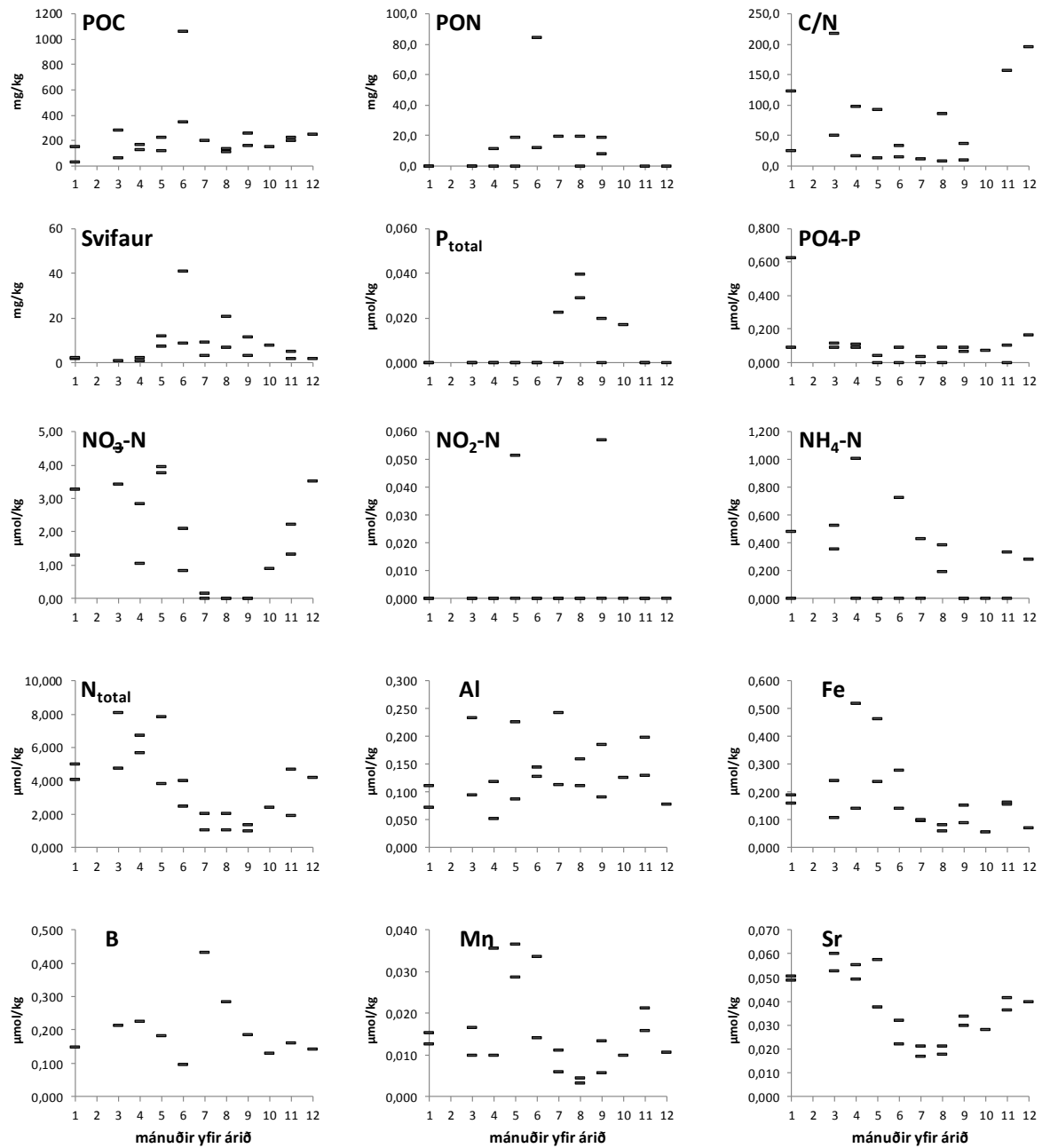
2007 – 2013 rauðt



## Fjarðará við Fjarðarselsvirkjun, 1998 - 2000



## Fjarðará við Fjarðarselsvirkjun, 1998 - 2000



## Fjarðará við Fjarðarselsvirkjun, 1998 - 2000

